

Tehniium

REVISTĂ LUNARĂ EDITATĂ DE C.C. AL U.T.C.

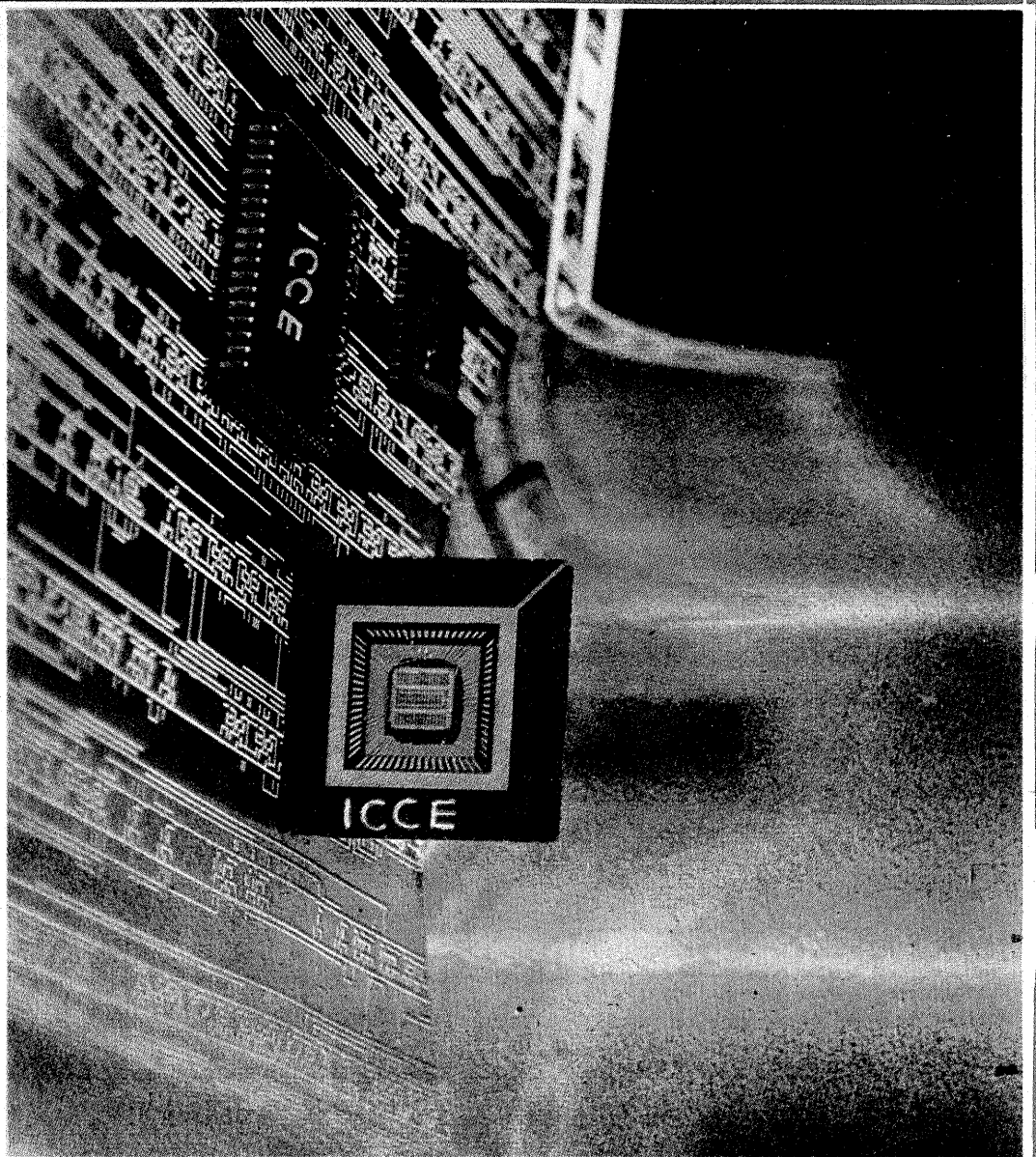
ANUL XV - NR. 177

8/85

CONSTRUCȚII PENTRU AMATORI

SUMAR

- AUTODOTAREA LABORATOARELOR ȘCOLARE** pag. 2—3
Robot electronic start-stop
- INIȚIERE ÎN RADIOELECTRONICĂ** pag. 4—5
Aplicații AO
Divertisment
„Neon”... portabil
- CQ-YO** pag. 6—7
Transceiver pentru banda de 144,0—146,0 MHz
Extensie de bandă uniformă
- ATELIER** pag. 8—9
Stație de telecomandă
- HI—FI** pag. 10—11
Distorsiunile neliniare în amplificatoarele de audiofrecvență
- LA CEREREA CITITORILOR** pag. 12—13
Videocasetofonul
- AUTO—MOTO** pag. 14—15
Autoturismele „OLTCIT”:
Service
- CITITORII RECOMANDĂ** pag. 16—17
Lentilă adițională
Preamplificatoare
Supraveghetor electronic
Confecționarea abajurilorilor
- FOTOTEHNICĂ** pag. 18—19
Alegerea orei
Variația expunerii
Un exemplu de echilibrare a iluminării
Revelatoare pentru reproducere
- TEHNICĂ MODERNĂ** pag. 20—21
Sisteme cu microprocesoare
Televiziunea în culori
- REVISTA REVISTELOR** pag. 22
Avertizor
Verificator
Receptor
50 Hz
- PUBLICITATE** pag. 23
I.A.E.I. — Titu
- SERVICE** pag. 24
SANKYO STR 500 FL



ROBOT ELECTRONIC START-STOP

(CITIȚI ÎN PAG. 2-3)

Montajul electronic prezentat este construit în scopul semnalizării automate a începutului și sfârșitului perioadelor orare de desfășurare a procesului de învățămînt, deci cu o aplicabilitate directă în școli și institutele de învățămînt.

Posibilitatea de modificare a programului de comenzi face din acest robot și un instrument cu aplicabilități în alte domenii de activitate; în același timp, modul de prezentare și realizare îl recomandă a fi abordat și ca subiect pentru lucrarea practică de bacalaureat.

ROBOT ELECTRONIC START-STOP

Prof. MIHAI CORUȚIU,
Liceul „C. A. Rosetti”-București

Pentru realizarea acestei funcții s-a pornit de la o schemă de ceas electronic care utilizează un oscilator cu cristal de cuarț, necesar obținerii unei stabilități ridicate a frecvenței.

Semnalul dat de oscilator este aplicat unui circuit divizor de frecvență (a se vedea schema-bloc arătată în figura 1), care are rolul de a divide frecvența oscilatorului, ajungîndu-se în final la 1 Hz.

Frecvența de 1 Hz este divizată în continuare prin 10 și apoi prin 6, obținîndu-se o frecvență de $1/(10 \cdot 6) = 1/60$ Hz, corespunzătoare unei perioade de 1 minut.

Urmează apoi o nouă divizare prin 10 și alta prin 6, obținîndu-se o frecvență de $1/3600$ Hz, corespunzătoare unei perioade de o oră.

În final urmează un circuit divizor de frecvență prin 24, obținîndu-se perioada de o zi.

La sfîrșitul acestui ciclu, divizoarele de frecvență revin în poziția „0”, astfel ca în ziua următoare ciclul să se poată repeta în mod similar.

Circuitele „reglare minute” și „reglare ore” permit fixarea minutelor, respectiv orelor, la valoarea exactă.

Circuitele decodare transformă informația binară, conținută în număratoarele, într-o informație „ze-cimală-șapte segmente”. Dispozitivele de afișare sînt niște traducătoare electro-optice care permit citirea informației.

Circuitul combinațional pentru acționarea sistemului de alarmă stabilește o corespondență între ora exactă și ora dorită pentru acționarea soneriei; în cazul cînd

Montajul se compune dintr-un amplificator echipat cu tranzistoarele T_1 și T_2 , un lanț de reacție negativă globală realizat cu divizorul R-P și un lanț de reacție pozitivă globală realizat cu grupul serie cuarț-trimer.

Etajul formator are rolul de a transforma semnalul sinusoidal într-un semnal dreptunghiular cu amplitudinea de 5 V (semnal TTL).

Cristalul de cuarț determină o stabilitate ridicată a frecvenței. Valoarea de 32 678 Hz = 2^{15} Hz este un multiplu de 2, ceea ce permite obținerea frecvenței de 1 Hz prin divizare, folosind un număr mai mic de circuite integrate.

DIVIZORUL PRIN 2^{15}

Acest divizor se compune din 15 celule de divizare prin 2 (bistabile de tip JK master-slave). Există circuite integrate care conțin patru astfel de celule. Un asemenea cir-

divizor prin $2^4 = 16$. Pentru aceasta se leagă A cu \overline{CP}_1 și se introduce frecvența de divizat pe \overline{CP}_0 . În acest caz pe ieșirea D se obține $f/16$.

Cînd pe ambele intrări ale porții MR (MASTER RESET) aplicăm nivelul „1” logic, circuitul este forțat să prezinte la ieșirile D, C, B, A secvența 0000, ceea ce reprezintă corespondentul binar al cifrei 0. Dacă una cel puțin dintre intrările MR₁, MR₂ este „0” logic, circuitul își urmează funcția de numărare.

Realizarea unui divizor prin 2^4 cu circuitul integrat CDB493 este prezentată în figura 5.

Divizorul prin 2^{15} se obține legînd în cascadă patru circuite de tipul CDB493, după cum se poate observa în figura 6 ($2^4 \cdot 2^4 \cdot 2^4 \cdot 2^3 = 2^{15}$).

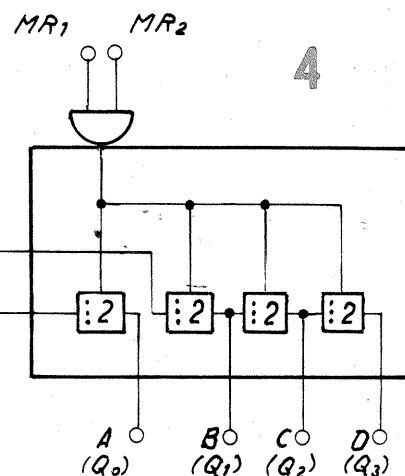
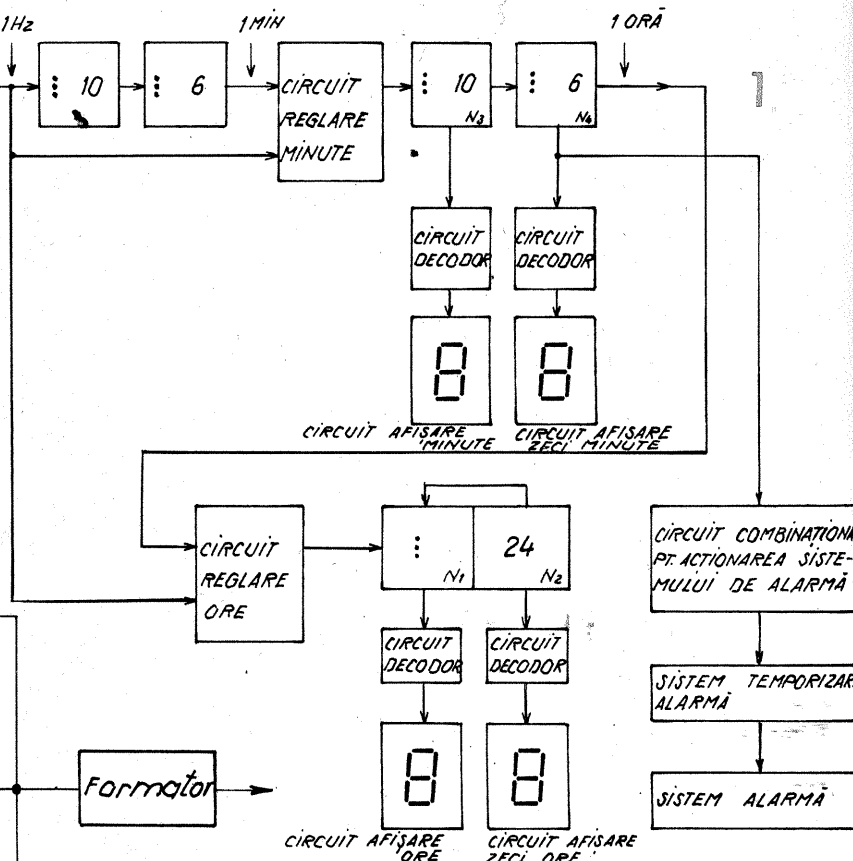
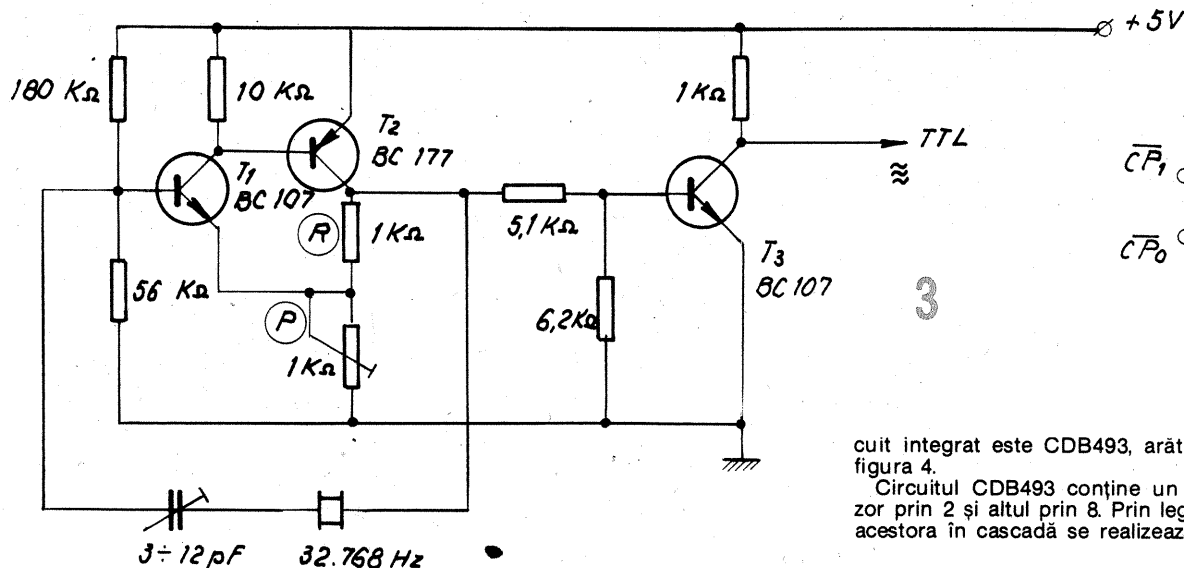
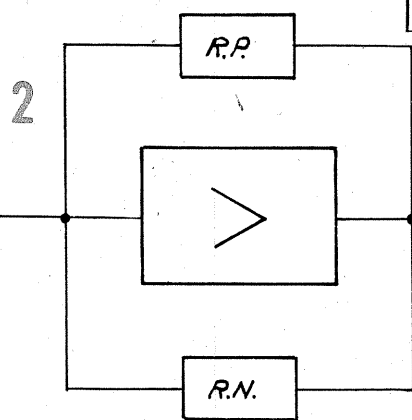
Există circuite logice de tipul I²L fabricate la I.P.R.S.-Băneasa care utilizează un nou concept denumit arie de porți logice neconectate. În acest caz, realizarea circuitului se

cele două ore coincid, este acționat sistemul de alarmă.

Sistemul de temporizare permite reglarea timpului cît acționează soneria. El se compune dintr-un circuit de temporizare și un releu Reed. Acest releu stabilește și alimentarea circuitului de alarmă, compus dintr-un traductor electroacustic.

OSCILATORUL

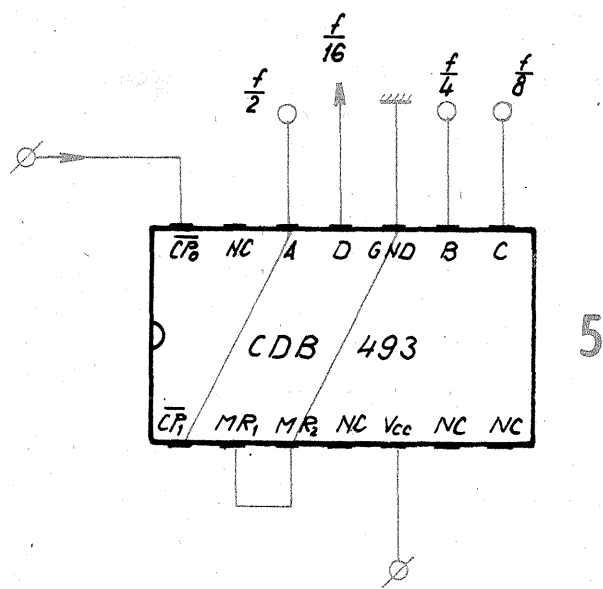
Schema-bloc a oscilatorului este arătată în figura 2, iar schema electrică a acestuia în figura 3.



cuit integrat este CDB493, arătat în figura 4.

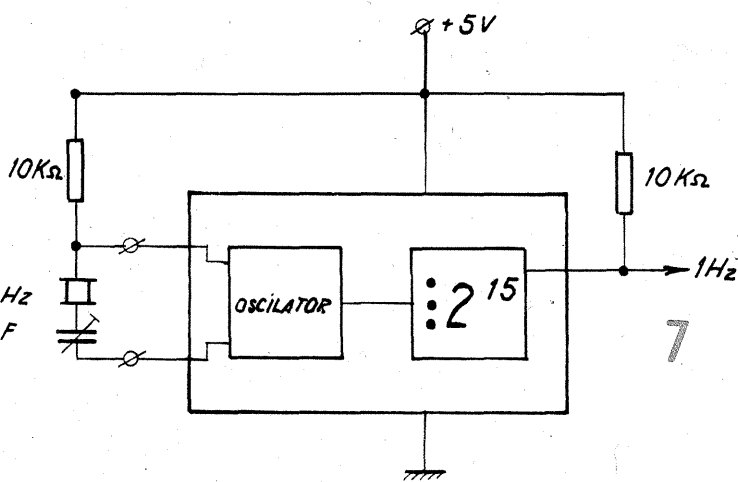
Circuitul CDB493 conține un divizor prin 2 și altul prin 8. Prin legarea acestora în cascadă se realizează un

bazează pe un cip standard, a căru configurație „geometrică” rămîne aceeași, indiferent de circuitul logic căruia îi este destinat. Această „arie logică” a fost numită $\beta P1000$, iar



5

32.768 Hz
3 ÷ 12 pF



7

$$\frac{f}{8 \times 4096} = \frac{f}{32768} = 1 \text{ Hz}$$

MASĂ

circuitele particulare realizate în acest sistem au codurile $\beta P1001$, $\beta P1002$ etc. Astfel, circuitul integrat $\beta P1002$ conține un oscilator urmat de un divizor prin 2¹⁵.

În cazul în care posedăm un astfel de circuit, obținerea frecvenței standard de 1 Hz se realizează foarte simplu, cu un număr mic de componente (figura 7).

DIVIZOARELE PRIN 10, 6 ȘI 24

Divizorul prin 10 este un circuit integrat de tipul CDB490 care prin construcție este destinat acestui scop. Figura 8 prezintă acest circuit care conține un divizor prin 2 și altul prin 5. Prin legarea acestora în cascadă se realizează un divizor prin 10. Pentru aceasta se leagă \overline{CP}_1 cu A și se introduce frecvența de divizat pe \overline{CP}_0 , ca urmare, pe ieșirea D se obține $f/10$.

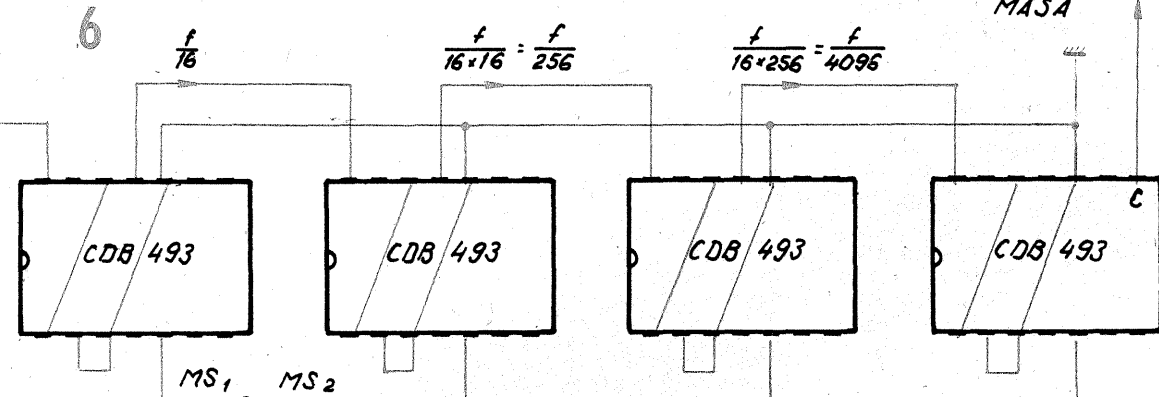
Când pe ambele intrări ale porții MS (MS = MASTER SET) aplicăm nivelul „1” logic, circuitul este forțat să prezinte la ieșirile D, C, B, A secvența 1001, ceea ce reprezintă corespondentul binar al cifrei 9.

Când pe ambele intrări ale porții MR (MR = MASTER RESET) aplicăm nivelul „1” logic, circuitul este forțat să prezinte la ieșirile D, C, B, A secvența 0000, ceea ce reprezintă corespondentul binar al cifrei 0.

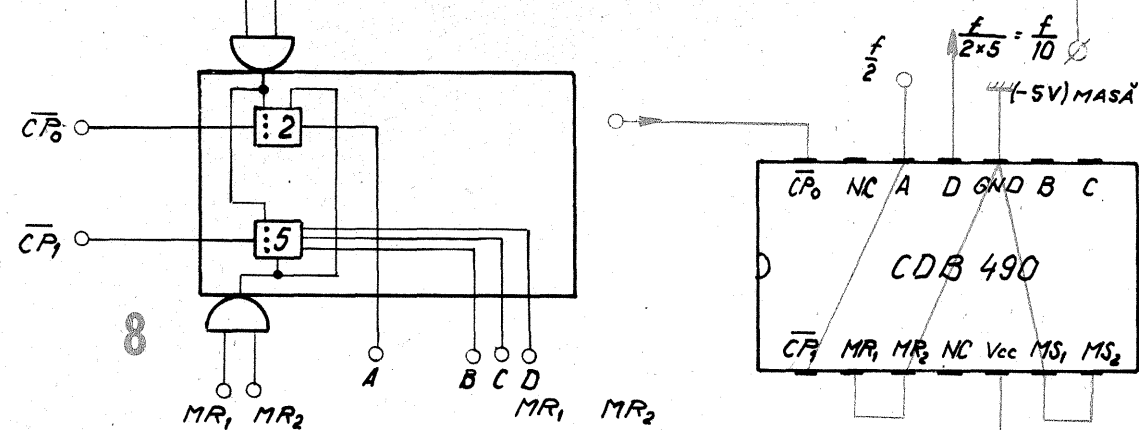
Realizarea unui circuit divizor prin 10 cu ajutorul circuitului integrat CDB490 este prezentată în figura 9.

Divizarea prin 6 se realizează cu ajutorul circuitului integrat de tipul CDB492. Acest circuit, arătat în figura 10, este asemănător celui cu indicativul CDB493; în acest caz însă, bistabilele B și C sînt conectate împreună, formînd un divizor cu 3. Bistabilele A și D formează divizoare prin 2. Legînd \overline{CP}_1 la A și introducînd frecvența de divizat pe \overline{CP}_0 , la ieșirea C se obține $f/(2 \cdot 3) = f/6$, iar la ieșirea D se obține $f/(2 \cdot 3 \cdot 2) = f/12$.

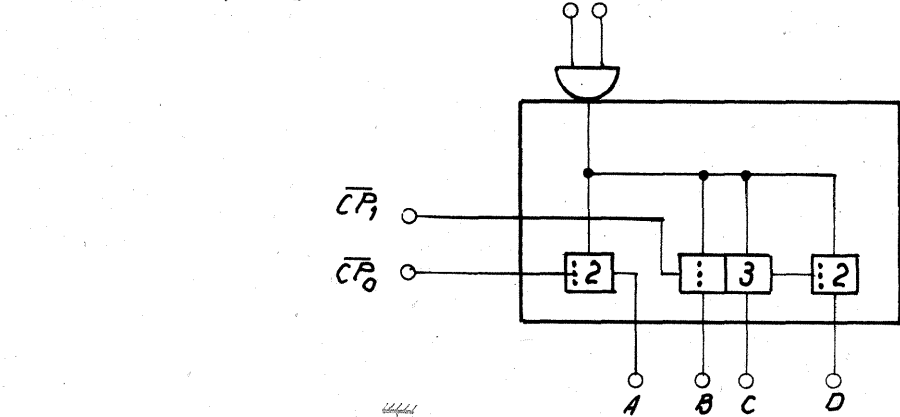
(CONTINUARE ÎN NR. VIITOR)



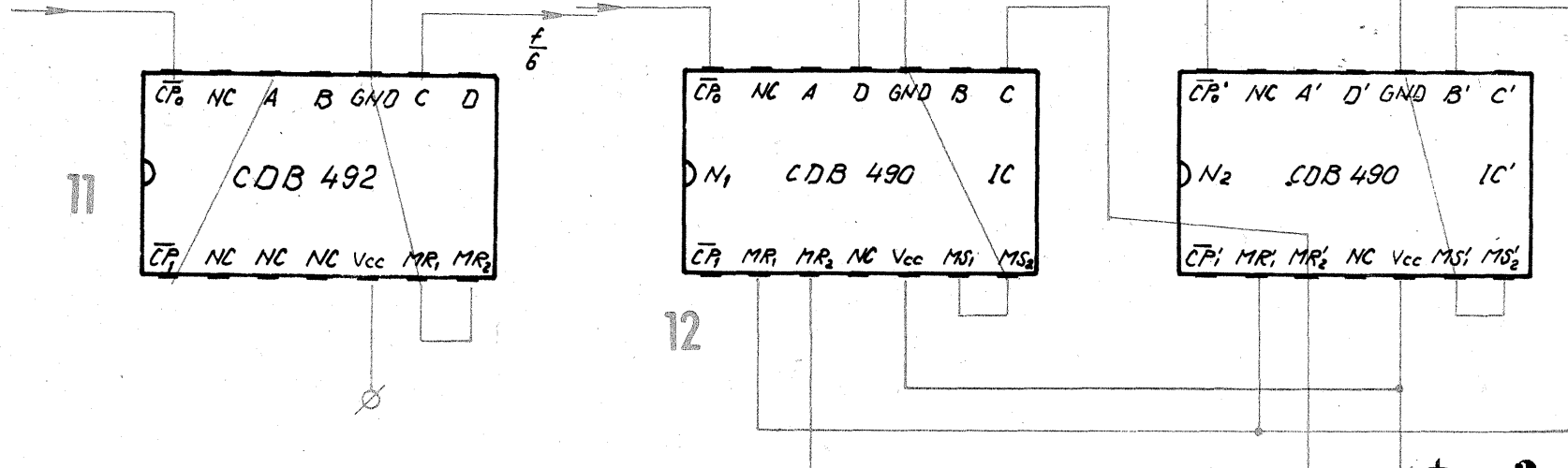
6



9



10



11

12



INIȚIERE ÎN RADIOELECTRONICĂ

APLICAȚII AO

(URMARE DIN NR. TRECUT)

Pagini realizate de fiz.

A. MĂRCULESCU

Din trimerul R_3 se stabilește o durată „rotundă” a temporizării maxime (60 min etc.), după care este bine să se refacă divizorul $R_2-R_3-R_4$ cu două rezistoare fixe, de precizie.

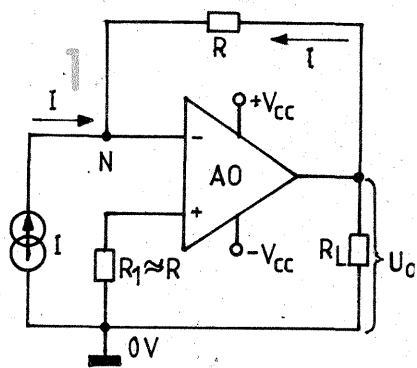
După dorință, se pot introduce mai multe domenii de temporizare (rezistențe de încărcare sau condensatoare diferite), selectabile printr-un comutator adecvat.

În partea de comandă se remarcă înlocuirea tranzistorului unic printr-un circuit trigler-Schmitt, care asigură o acționare mai fermă a releului.

Valorile rezistențelor pot fi optimizate experimental, în funcție de factorul de amplificare al tranzistoarelor folosite. Dacă se lucrează cu un releu mai puțin sensibil, este posibil ca R_8 să trebuiască micșorată (releul să anclanșeze ferm la conectarea alimentării).

Pentru asigurarea reproductibilității de temporizare, este bine ca sursa de alimentare să fie stabilizată (12 V la minimum 0,3 A).

Se va utiliza un releu miniatură (12 V/30—100 mA) care dispune de cel puțin două perechi de contacte normal deschise (K_1, K_2), dintre care contactele K_2 trebuie să admită tensiunea de rețea la curentul de rupere solicitat de consumatorul dorit.



La montajul practic din figura 11 mai remarcăm introducerea celui de filtrare R_{11}, C_3, C_4 , precum și a condensatoarelor de antiparazitare de pe cele două intrări ale operaționalului, C_1 și C_2 . În fine, subliniem încă o dată necesitatea utilizării unor condensatoare C^* de calitate bună, sortate pentru pierderi cât mai mici în dielectric.

CONVERTOARE CURENT-TENSIUNE

În laboratorul constructorului electronist, amplificatoarele operaționale pot da un ajutor pretios și în domeniul măsurătorilor mai pretențioase, pentru care amatorii nu dețin, de regulă, aparatură adecvată, capabilă să le asigure o precizie satisfăcătoare.

Un astfel de exemplu îl constituie măsurarea (eventual înregistrarea) curenților mici debitați de unele generatoare sau transductoare electrice care prezintă o rezistență internă foarte mare (de pildă, variația curentului cu iluminarea pentru o fotodiadă cu siliciu polarizată invers). O soluție convenabilă a problemei ar consta în realizarea unui adaptor de impedanță, mai precis, a unui convertor curent-tensiune, care să debiteze la ieșire, sub o impedanță joasă, o tensiune U_i direct proporțională cu valoarea curentului de măsurat, I . Amatorului nu-i mai rămâne astfel decât să măsoare această tensiune cu un voltmetru obișnuit, a cărui scală poate fi etalonată direct în unități de intensitate.

Schema de principiu a convertorului este dată în figura 1, unde generatorul/transductorul a fost simbolizat printr-o sursă de curent, I . Neglijând curentul absorbit de intrarea inversoare a AO, observăm că prin rezistența de reacție R va circula același curent I debitat de sursă. Potențialul nodului N este însă nu

(masa virtuală), deci, aplicând legea lui Ohm rezistenței de reacție, obținem $E_o = -RI$. Evident, semnul minus indică inversarea de polaritate a tensiunii de ieșire.

Intrarea neinversoare a AO a fost conectată la masă (borna 0V a sursei diferențiale $\pm V_o$) nu direct, ci prin intermediul rezistenței $R_1 \approx R$, care are rolul de a compensa curentul de polarizare de intrare. La alegerea acestei valori s-a neglijat efectul rezistenței interne a sursei, aceasta fiind de regulă mult mai mare ca R (mai precis, rezistența de reacție R se ia mult mai mică decât rezistența internă a sursei de curent).

Un exemplu de utilizare practică a montajului este dat în figura 2, pentru cazul cînd se urmărește determinarea sensibilității unei fotodiode cu siliciu. Conectînd la ieșire un voltmetru de tensiune continuă cu 3 V la cap de scală și alegînd $R = R_1 = 100 \text{ k}\Omega$, vom putea măsura liniar pe scala instrumentului intensitatea curentului prin fotodiadă în plaja 0—30 μA . Atunci cînd lucrăm cu iluminări foarte slabe ale fotodiodei, respectiv cînd curentul prin aceasta are valori mai mici, putem lua valori mai mari pentru R și R_1 sau, echivalent (conform relațiilor menționate), putem mări sensibilitatea voltmetrului, lăsînd neschimbate pe R și R_1 . De exemplu, domeniul 0—3 μA se obține cu același voltmetru de 3 V luînd $R = R_1 = 1 \text{ M}\Omega$, dar se mai poate obține și păstrînd $R = R_1 = 100 \text{ k}\Omega$ și mărînd sensibilitatea voltmetrului la 0,3 V.

În cazul montajului din figura 2, tensiunea inversă de polarizare a fotodiodei a fost luată chiar tensiunea negativă de alimentare, $-V_{cc}$. Remarcăm faptul că diferența de potențial aplicată elementului fotosensibil rămîne constantă, oricare ar fi gradul de iluminare (reamintim, nodul N este masă virtuală). Desigur, fotodiada poate fi polarizată (față de masă) și de la o sursă independentă de tensiune, atunci cînd determinările impun să fie avut în vedere și acest parametru (se întrerupe circuitul în punctul a și se conectează tensiunea de polarizare între anodul fotodiodei și masă, cu plusul spre masă, ca în detaliul reprezentat cu linie întreruptă).

Prin alegerea adecvată a componentelor, montajul poate fi adaptat pentru măsurarea curenților inverși ai diodelor redresoare, a curenților de „fugă” ai condensatoarelor etc. În fond este vorba despre un microampermetru — chiar nanoampermetru — electronic, ale cărui caracteristici principale (sensibilitate,

precizie) depind, evident, de performanțele amplificatorului operațional utilizat. Folosînd binecunoscutul circuit βA741 , pentru generatoare de curent cu rezistența internă de cel puțin 10 M Ω , se pot obține ușor domenii de măsurare de ordinul sutelor de nanoamperi. De exemplu, cu $R = R_1 = 1 \text{ M}\Omega$ (rezistențe de precizie) și cu un AVO-metru obișnuit pus pe domeniul de 0,6 V, rezultă un domeniu de măsurare de 0—600 nA, cu citire liniară. Amatorii care dispun de operaționale mai performante (cu intrare pe MOS-FET) pot experimenta după modelul expus nano sau chiar picoampermetre pentru diverse situații speciale.

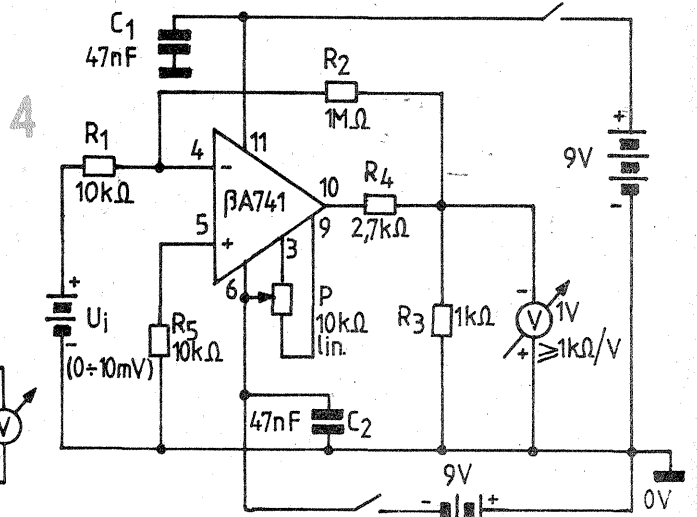
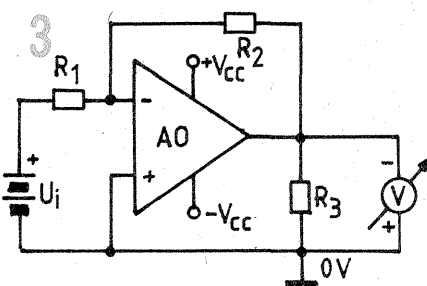
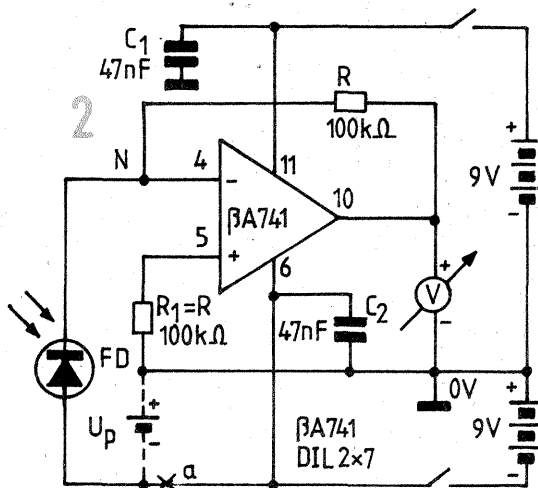
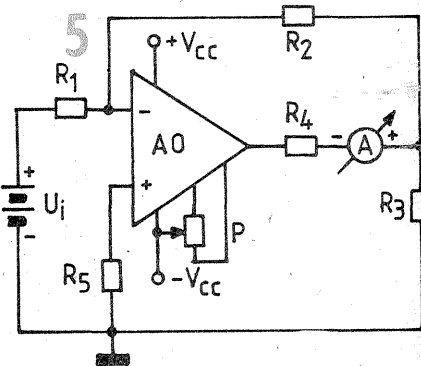
VOLTMETRE ȘI AMPERMETRE C.C.

Exemplul precedent a fost doar un caz particular de utilizare a amplificatoarelor operaționale în domeniul măsurătorilor de laborator. În cele ce urmează vă propunem o scurtă trecere în revistă a principalelor modalități în care se poate extinde sensibilitatea unui instrument indicator pentru măsurarea curenților și a tensiunilor continue, bineînțeles bazate tot pe utilizarea amplificatoarelor operaționale.

Sa presupunem întii că avem la dispoziție un instrument indicator mai puțin sensibil (1—5 k Ω /V), dar cu scala mare (precizie bună de citire), care a fost în prealabil etalonat ca voltmetru de tensiune continuă, prin inserierea unei rezistențe adiționale. Fie acesta, de pildă, un voltmetru cu 1 V la cap de scală și rezistența internă totală de cel puțin 1 k Ω .

Pentru a transforma acest instrument în milivoltmetru electronic, trebuie să-i adaptăm un circuit care să asigure atît amplificarea dorită în tensiune, cît și mărirea considerabilă a impedanței de intrare.

O soluție foarte comodă ne-o ofera amplificatorul inversor cu



"NEON" ... PORTABIL

reacție, reamintit schematic în figura 3. După cum știm, rezistența lui de intrare este chiar R_1 , iar cistigul în tensiune este dat în valoare absolută de raportul R_2/R_1 . Dacă dorim, de exemplu, ca voltmetrul să indice la cap de scală pentru $U_i = 10$ mV, avem nevoie de o amplificare în tensiune de $1 \text{ V}/10 \text{ mV} = 100$ de ori, ceea ce înseamnă că trebuie să alegem $R_2/R_1 = 100$, sau $R_2 = 100 R_1$. Valoarea lui R_1 este dictată de sensibilitatea pe care vrem să o realizăm la intrare. Astfel, pentru o sensibilitate de $1 \text{ M}\Omega/\text{V}$ și pentru domeniul U_i de $0 \div 10$ mV, vom lua $R_1 = U_{\text{max}} \cdot (1 \text{ M}\Omega/\text{V}) = 10 \text{ mV} \cdot 1 \text{ M}\Omega/\text{V} = 10 \text{ k}\Omega$. Din condiția de amplificare rezultă $R_2 = 100 \cdot 10 \text{ k}\Omega = 1 \text{ M}\Omega$. Rezistența de sarcină R_L la bornele căreia se citește tensiunea de ieșire, nu are o valoare critică (cca $1 \text{ k}\Omega$).

Pentru a deveni un aparat propriu-zis de laborator, montajul trebuie completat cu câteva elemente importante, așa cum se arată în schema de principiu din figura 4. În primul rând, instrumentul trebuie protejat împotriva unor tensiuni (accidentale) excesive la ieșire, prin cunoscute de compensare a curenților de polarizare de intrare. În exemplul din figura 5-a s-a luat practic $R_3 = R_1 = 10 \text{ k}\Omega$, R_4 fiind mult mai mare. În al treilea rând, se impune introducerea reglajului de offset ($P = 10 \text{ k}\Omega$), pentru ajustarea zeroului cu bornele de intrare (U_i) scurtcircuitate. În fine, remarcăm prezența condensatoarelor de decuplare pe cele două terminale de alimentare ale AO, C_1 și C_2 , care au rolul de scurtcircuitare la masă a parazitilor de radiofrecvență.

Exemplul din figura 4 a fost calculat pentru același domeniu U_i de $0 \div 10$ mV, dar el poate fi adaptat pentru orice tensiune maximă, U_{max} orientativ între 1 mV și 10 V , prin simplă modificare a rezistenței R_1 conform relației $R_1 = U_{\text{max}} \cdot (1 \text{ M}\Omega/\text{V})$. Atunci când este cazul, se va corecta simultan și valoarea rezistenței de compensație, R_3 . În forma finală, montajul se va vedea îngrăit.

Adeseori constructorii amatori își procură instrumente indicatoare „libere” (fără sunturi sau rezistențe adiționale încorporate), mai mult sau mai puțin sensibile, având scala gradată direct în unități de intensitate. Este cazul micro sau miliampermetrelor c.c., cu indicația la cap de scală cuprinsă de regulă între $50 \mu\text{A}$ ($S = 20 \text{ k}\Omega/\text{V}$) și 5 mA ($S = 200 \Omega/\text{V}$).

Pentru a transforma aceste instrumente în milivoltmetre, respectiv voltmetre electronice, se poate apela la același amplificator inversor cu reacție, modificând puțin configurația schemei, așa cum se arată în figura 5. Presupunem că Jorim să obținem același domeniu de măsurare, de $0 \div 10$ mV, cu aceeași sensibilitate de $1 \text{ M}\Omega/\text{V}$, vom lua ca în cazul precedent $R_1 = R_3 = 10 \text{ k}\Omega$ și $R_2 = 1 \text{ M}\Omega$. Pentru tensiunea maximă de intrare, $U_{\text{max}} = 10$ mV, tensiunea de ieșire va fi tot de 1 V (cistig 100), dar în acest caz ea se regăsește la bornele rezistenței R_4 , instrumentul fiind intercalat în bucla de reacție, pe post de indicator de curent, așa cum este el de fapt etalonat. Fie, de exemplu, instrumentul un miliampermetru cu 1 mA la cap de scală. Vom alege în acest caz rezistența R_4 astfel încât curentul prin ea să fie de 1 mA pentru o tensiune la bornele sale de 1 V , adică vom lua $R_4 = 1 \text{ V}/1 \text{ mA} = 1 \text{ k}\Omega$.

(CONTINUARE ÎN NR. VIITOR)

Tuburile fluorescente miniatură (6—14 W) pot fi alimentate și de la surse autonome de tensiune continuă joasă, prin intercalarea unui convertizor adecvat cu unul sau două tranzistoare de putere. Un astfel de exemplu este cel din figura alăturată, conceput pentru alimentarea de la baterii de tip 3R12 (șase baterii legate în serie). Schema este cunoscută cititorilor noștri, având particularitatea că transformatorul este realizat pe o oală de ferită cu diametrul de 25 mm și înălțimea de peste 17 mm. Simultan cu îmbunătățirea randamentului și reducerea gabaritului (în comparație cu transformatoarele clasice pe tole), se înalță astfel și radiațiile parazite, supărătoare atunci când în vecinătate funcționează și unele aparate electronice mai sensibile (radioreceptoare etc.).

Înfășurările transformatorului con-

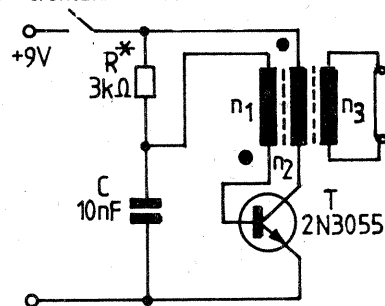
țin $n_1 = 12$ spire CuEm $\varnothing 0,25$ mm, $n_2 = 12$ spire CuEm $\varnothing 0,6$ mm și $n_3 = 200$ spire CuEm $\varnothing 0,15$ mm. Înfășurarea pentru tub (n_3) va fi izolată bine față de celelalte, iar înfășurările n_1 și n_2 se vor conecta în circuit în sensuri opuse. Practic se realizează circuitul conform schemei, legând arbitrar bobinele n_2 și n_3 ; apoi se conectează și n_1 într-unul din sensuri și, dacă oscilatorul nu funcționează (tubul nu se aprinde), se inversează între ele terminalele acestei înfășurări.

Tubul fluorescent se leagă în circuitul secundar prin câte un singur electrod de la fiecare capăt (nu se utilizează filamentele tubului, aprinderea fiind instantanee, datorită tensiunii ridicate ce apare în gol la bornele lui n_3).

Tranzistorul se montează obligatoriu pe un radiator cu suprafața de câteva zeci de centimetri pătrați, preferabil un model cu aripioare, de

gabarit redus. Se vor utiliza tranzistoare 2N3055 (sau echivalente) având tensiunea maximă colector-emitor de cel puțin 60 V.

Condensatorul C ($10\text{--}22 \text{ nF}$, placchetă) și rezistența R^* ($2\text{--}5 \text{ k}\Omega/1\text{W}$) se vor optimiza experimental, urmărindu-se aprinderea normală a tubului și reducerea la minimum a curentului consumat din baterii.



DIVERTISMENT

Propunem constructorilor amatori de divertismente electronice o variantă simplă de **miniorgă**, respectiv un generator audio care poate debita mai multe frecvențe distincte (în cazul de față, opt), prin apăsarea succesivă a unor clape care la rindul lor comanda niște întrerupătoare cu revenire, gen buton de sonerie (B_1, B_2, \dots, B_8).

Partea mecanică de comandă poate fi preluată de la o jucărie similară defectă sau poate fi imaginată cu ușurință de către constructor, în funcție de materialele disponibile (butoane obișnuite, microîntrerupătoare, lamele arcuite etc.).

Orga propriu-zisă este alcătuită din generatorul de ton, de tip multivibrator astabil, și un amplificator AF capabil să debiteze pe un difuzor de impedanță joasă (mai ușor accesibil) o putere de ordinul sutelor de miliwați.

După cum se observă în figură, schema multivibratorului diferă puțin de cea clasică, prin introducerea rezistențelor inegale de emitor și colector, prin plasarea rezistențelor de polarizare a bazelor între baze și colectoare (în loc de minusul sursei), ca și prin prezența condensatorului C_3 și a grupului re-

glabli $R_7 + R_8$ în paralel pe R_2 . Acest aranjament, de altfel cu valori necritice (pot fi ajustate experimental în limite relativ largi), a fost ales pentru a face cât mai labilă condiția de amorsare a oscilației. Mai precis, prin reglarea trimerului R_7 (spre valori inseriate mai mici) oscilația incetează complet, pentru ca apoi să poată fi amorsată pe frecvența dorită apăsând unul din butoanele $B_1\text{--}B_8$.

„Acordarea” celor opt frecvențe pe una din gamele muzicale este mai greu de realizat prin calcul, așa că valorile rezistențelor $R_9\text{--}R_{16}$ vor fi retușate experimental astfel încât să se obțină opt tonuri distincte, care să semene (măcar „după ureche”) cu notele unei game. Constructorii mai exigenți pot proceda la măsurarea frecvențelor fundamentale, ajustându-le la valorile dorite pe rind, începând de la stînga spre dreapta (se alege pe rind $R_9, R_{10}, \dots, R_{16}$).

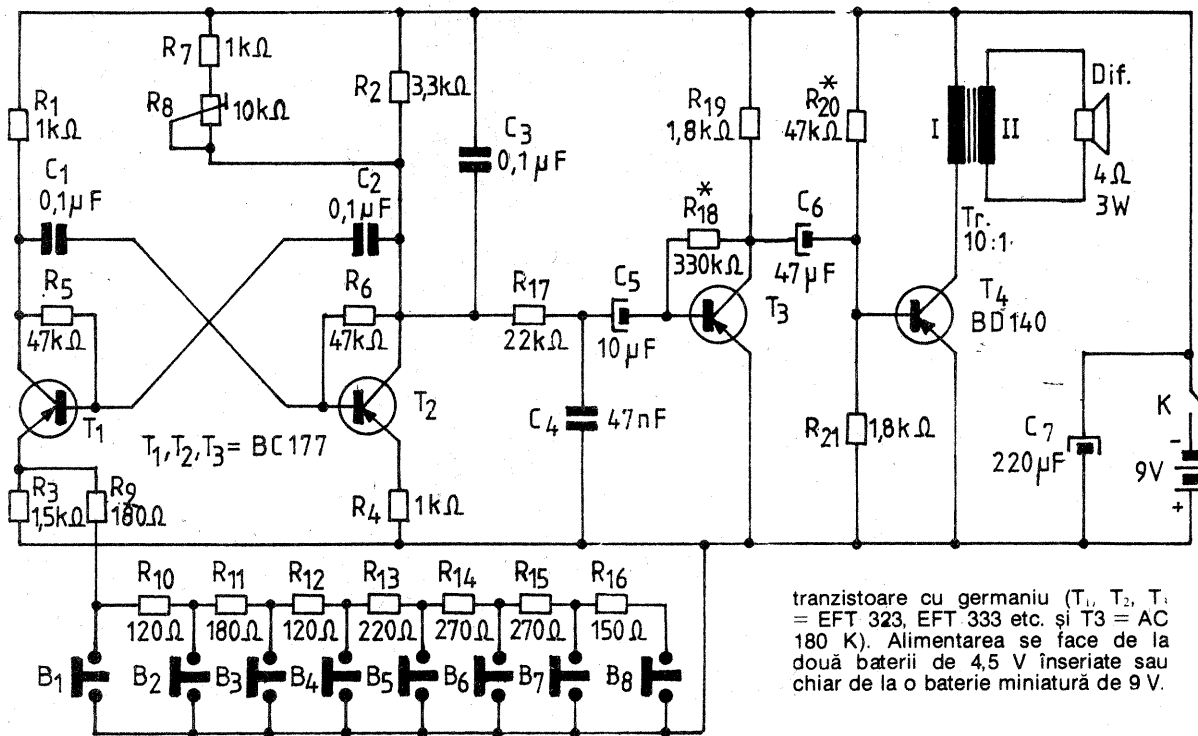
Ieșirea din multivibrator se culege printr-o rezistență de valoare mare (necritică), pentru ca impedanța de intrare a amplificatorului să nu afecteze oscilația. Mai remarcăm prezența condensatorului C_4 , cu valoarea destul de mare, în

paralel pe intrarea amplificatorului. El are rolul de a corecta timbrul sunetelor emise, scurtcircuitînd la masă componentele (armonicele) de înaltă frecvență, știut fiind faptul că multivibratorul generează semnale cu forma de undă aproximativ dreptunghiulară (deci foarte bogate în armonici).

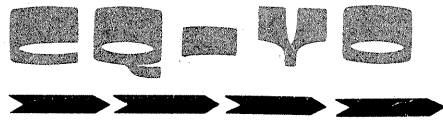
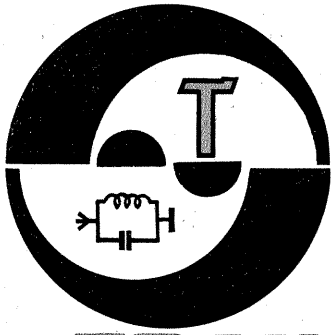
Amplificatorul AF indicat nu ridică probleme deosebite de reglaj. El se compune din două etaje cuplate capacitiv, realizate cu tranzistoarele cu siliciu T_3, T_4 , de mică și respectiv de medie putere, al doilea avînd ca sarcină în colector primul transformatorului Tr . Grupul transformator + difuzor poate fi înlocuit eventual printr-o cască avînd impedanța de $50\text{--}500 \Omega$. Rezistențele de polarizare R_{18} și R_{20} se optimizează experimental pentru o audiere maximă nedistorsionată.

Transformatorul de adaptare Tr se realizează pe un pachet de tole E+I cu secțiunea miezului de $1,5\text{--}2 \text{ cm}^2$, bobinînd în primar $800\text{--}1200$ de spire CuEm $0,12\text{--}0,15$ mm și în secundar cca 70 de spire CuEm $0,5\text{--}0,7$ mm pentru un difuzor cu impedanța de 4Ω .

Fără modificări însemnate ale pieselor, montajul poate fi realizat și cu



tranzistoare cu germaniu ($T_1, T_2, T_3 = \text{EFT } 323, \text{EFT } 333$ etc. și $T_3 = \text{AC } 180 \text{ K}$). Alimentarea se face de la două baterii de $4,5 \text{ V}$ inseriate sau chiar de la o baterie miniatură de 9 V .



TRANSCEIVER

pentru banda de 144,0-146,0 MHz

Y03CM-Y03CTW

(URMARE DIN NR. TRECUT)

În figura 12 sînt prezentate unitar blocurile SSB—Rx, ALCAF—Rx și GFSC. Vom analiza sistemul la recepție și emisie în mod separat. Din blocul ARF—Rx, prin cablu coaxial, se conectează semnalul de Fi=10,7 MHz prin circuitul LC—C 130, C 131, L 17, C 132 care adaptează intrarea amplificatorului de frecvență intermediară la cablu coaxial de 50Ω utilizat. Amplificatorul realizat cu tranzistorul T 15 suportă niveluri relativ mari de intrare datorită schemei în care este montat. Bobinele L 20 și L 19 se realizează pe toruri de ferită sau miezuri H utilizate la transformatoarele de impedanță în receptoarele TV. Datorită reacției negative puternice ce apare la niveluri mari de intrare, etajul își păstrează funcționarea corectă. Din priza de pe L 20, prin C 136, L 25, C 138 (circuit de adaptare), se aplică semnalul amplificat filtrului SSB, realizat cu cristale de cuarț pe frecvența de 10,7 MHz. Este un filtru în scară proiectat și realizat după modelul teoretic expus în revista „Tehnum” începînd cu nr. 10/83. Respectarea frecvențelor și în special a parametrilor Ck și Lk conduce la realizarea unui filtru cu performanțe satisfăcătoare. Din filtru semnalul este aplicat prin C 139, L 26, L 28 pe intrarea detectorului de produs, realizat cu IC 32. Datorită circuitelor interne de polarizare, demodulatorul dublu echilibrat utilizat nu are

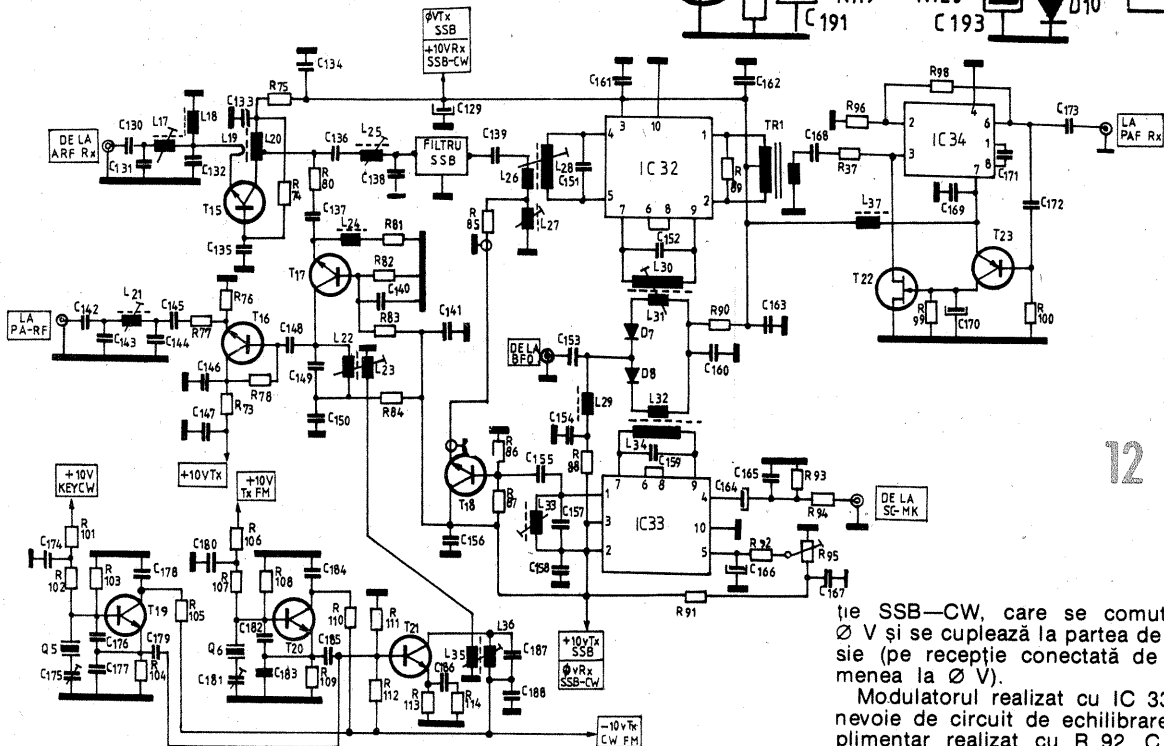
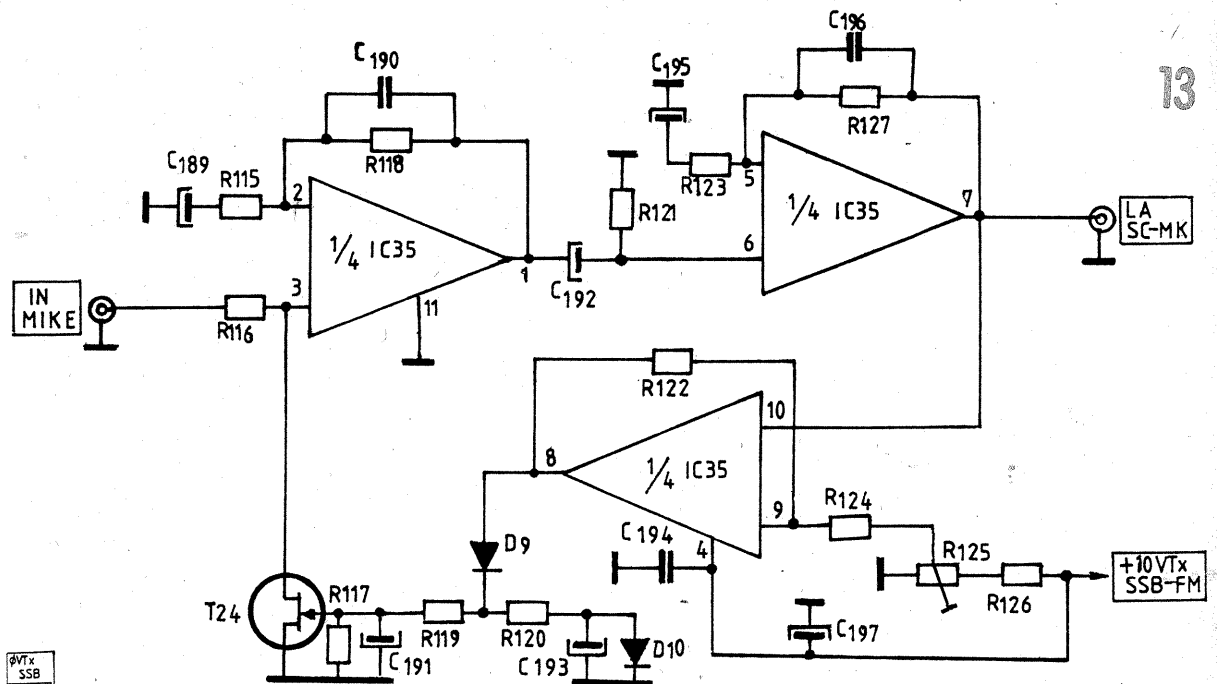
nevoie (la recepție) de echilibrare externă. Semnalul BFO se aplică prin circuitul de comutare emisie-recepție format din D 7, D 8, R 90 și R 88, L 29. La recepție se aplică tensiunea de +10 V prin R 90, L 31, D 7, L 29, R 88 care închide la masă circuitul. Dioda D 7 se deschide și semnalul BFO se aplică prin L 30, C 152 circuitului de de-

modulare SSB—CW. Avînd și o amplificare importantă, acesta simplifică realizarea amplificatorului de frecvență intermediară. La ieșire se utilizează ca circuit de sarcină un transformator defazor din receptorul Electronica S 631, din care prin C 168 și R 97 se aplică un semnal AFssb amplificatorului limitator de amplitudine, realizat cu sistemul format din IC 34, T 22 și T 23. Funcționarea se bazează pe proprietățile TEC ca rezistență comandată în tensiune. Peste un nivel de 0,8—1,0 V audiofrecvență la ieșirea IC 34 tranzistorul T 23, amplificînd acest semnal, începe să acționeze poarta lui T 22 în sensul reducerii rezistenței Rds, ceea ce produce micșorarea impedanței de intrare a IC 34; în acest fel se micșorează amplificarea, păstrîndu-se constantă tensiunea la ieșire. Sistemul este util deoarece, după cum se poate observa, este singurul bloc funcțional unde se realizează un reglaj (automat) al amplificării globale a amplificatorului de frecvență intermediară SSB—Rx. Practic, pentru o tensiune AF la intrarea IC 34 de 3 mV se obține la ieșire 1,1 V, valoare menținută constantă de sistem cu o dinamică de 120 dB. Constanta de timp la revenire se reglează din C 170. Semnalul de AFssb se aplică comutatorului de mod de lucru Rx. Sensibilitatea lanțului Fi—SSB pentru un raport semnal-zgomot de 10 dB este de 0,8 μV pentru o putere pe R1 = 4 Ω de 50 mW.

Pentru emisie tensiunea de alimentare se decuplează de la recep-

R 95, R 91, pentru a mări rejecția purtătorului. Utilizarea componentelor de bună calitate în acest circuit va evita reglajele repetate pentru suprimarea frecvenței purtătoare. Semnalul DSB obținut în circuitul L 33, C 157 se cuplează printr-un repetor pe emitor, prin R 85 la L 27, L 26, C 139. Acest circuit adaptează ieșirea repetorului T 18 la intrarea filtrului SSB. Culegerea semnalului SSB se face după C 136 prin R 80, C 137 care reprezintă și circuitul de cuplaj pentru amplificatorul SSB de emisie T 17. Din circuitul de sarcină L 22, C 149 aflat în colectorul lui T 17 se culege semnalul amplificat prin C 148 pe baza lui T 16 utilizat ca repetor pe emitor. Ieșirea din blocul GFSC se face printr-un circuit de adaptare la impedanța de 50 Ω a cablului utilizat pentru a aplica semnalul blocului PA—RF.

Pentru a obține un semnal telegrafic (CW), se utilizează un oscilator separat ce generează o frecvență, stabilizată cu cristal de cuarț, pe frecvența purtătorului de SSB. Cuplearea la ieșire se face prin L 23, L 22 la repetorul T 16. Oscilatorul este realizat cu tranzistorul T 19 în baza căruia s-a montat cuarțul Q 5 în serie cu C 175 din care se poate regla frecvența de oscilație. Prin C 179 se culege un semnal suficient pentru ca T 21, amplificînd, să poată scoate la ieșire pe L 35 un semnal compatibil cu semnalul de vîrf SSB. Manipularea se face prin R 101 și R 102 polarizînd baza lui T 19. Pentru o reacție corectă aleasă din C 176 și C 177 orice cristal de



cuarț va oscila prompt la cuplarea tensiunii de polarizare pe bază. Frecvența purtătoare pentru modul de lucru FM se obține în oscilatorul realizat cu T 20 în baza căruia este montat cuarțul Q 6. Funcționarea este identică cu oscilatorul T 19. Pentru ca semnalul SSB obținut la ieșirea din blocul GFSC să aibă o amplitudine independentă de nivelul aplicat de microfon blocului PAF—MK, se utilizează în acest bloc funcțional un amplificator compresor, cu care se realizează în același timp și limitarea benzii audio la emisie. Utilizarea unui circuit integrat ce conține 4 amplificatoare operaționale (8M 324) a permis realizarea unei scheme complexe. Se utilizează, ca și la recepție, un TEC ca rezistență comandată în tensiune, comanda porții fiind realizată de un AO. Acest lucru a permis utilizarea unui reglaj al nivelului de compresie realizat cu R 125. Funcționarea reglării amplificării primului etaj AO este similară cu a blocului AL—CAF—Rx. O mențiune pentru circuitele C 189, R 115 și C 190, R 118, C 195, R 123 și C 196, R 127 cu care se limitează banda de audiofrecvență transmisă de circuitul demodulator. Respectînd valorile și utili-

ție SSB—CW, care se comută la 0 V și se cuplează la partea de emisie (pe recepție conectată de asemenea la 0 V).

Modulatorul realizat cu IC 33 are nevoie de circuit de echilibrare suplimentar realizat cu R 92, C 166,

zind piese de bună calitate, montajul va funcționa corect, fără tendințe de oscilație în bucla de reglaj a amplificării. Constanta de timp se poate lăui sau micșora acționând asupra lui C 191.

LISTA DE PIESE

R 74, R 78 = 18 kΩ; R 75, R 105, R 110 = 100 Ω; R 76, R 81 = 470 Ω; R 77 = 33 Ω; R 79 = 82 Ω; R 80 = 47 Ω; R 82, R 83, R 103, R 108, R 112 = 15 kΩ; R 84 = 560 Ω; R 85, R 88, R 90, R 113, R 115, R 123, R 125 = 1 kΩ; R 86, R 111 = 27 kΩ; R 87, R 89 =

22 kΩ; R 91 = 47 kΩ; R 92 = 1 MΩ; R 93, R 114 = 120 Ω; R 94, R 126 = 6,2 kΩ; R 95, R 100, R 101, R 102, R 106, R 107, R 121, R 124 = 10 kΩ; R 96 = 820 Ω; R 97, R 116 = 5,6 MΩ; R 98 = 470 kΩ; R 99, R 119 = 220 kΩ; R 104, R 109 = 2,7 kΩ; R 117 = 10 MΩ; R 118 = 33 kΩ; R 120 = 56 kΩ; R 122 = 100 kΩ; R 127 = 47 kΩ; C 129, C 170 = 10 μF/16 V; C 130, C 142, C 145 = 68 pF; C 131, C 132, C 143, C 144 = 300 pF; C 133, C 134, C 141, C 147, C 150, C 156, C 158; C 162, C 163, C 167, C 168, C 169, C 178, C 184, C 1 8, C 194, C 173 = 0,1 μF; C 135, C 137, C 146, C 148,

C 140, C 154, C 165, C 174, C 180, C 186, C 153, C 155 = 10 nF; C 136 = 220 pF; C 138, C 176, C 177, C 182, C 183 = 100 pF; C 139 = 27 pF; C 149, C 158, C 160, C 172 = 50 nF; C 151, C 157, C 159, C 152, C 187 = 50 pF; C 164, C 166 = 2,2 μF/10 V; C 171, C 190, C 196 = 1 nF; C 175, C 181 = 20-30 pF; C 179, C 185 = 22 pF; C 189, C 195, C 191, C 192, C 193 = 1 μF/10 V; C 197 = 100 μF/16 V; L 17, L 21 = 1,48 μH; L 18, L 24, L 37 = 100 μH; soc, RF; L 19 = 1 spiră pe tor ferită cu L 20; CuEm Ø 0,15 mm; L 20 = 15 spire pe tor ferită CuEm Ø 0,15 mm; priza se scoate la spira 4

de la cap rece; L 22, L 28, L 30, L 34, L 36 = 14 spire CuEm Ø 0,09 mm; carcasă Fi 10,7 MHz; L 23 = 1 spiră CuEm Ø 0,09 mm, peste L 22; L 25 = 2,156 μH; L 26 = 1 spiră CuEm Ø 0,09 mm, peste L 28; L 27 = 14 μH; L 29 = 1 mH; L 31 = 1 spiră CuEm Ø 0,09 mm, peste L 30; L 32 = 1 spiră CuEm Ø 0,09 mm, peste L 34; L 35 = 1 spiră CuEm Ø 0,09 mm, peste L 36; IC 32, IC 33 = SO42, MC1496G; IC 34 = βM 108 AH; IC 35 = βM 324; T 15 = BFR 91; T 16, T 17, T 18, T 19, T 20, T 21 = BF214; T 22, T 24 = BFW 10; T 23 = 2N2905; D 7, D 8, D 9, D 10 = BA244.

(CONTINUARE ÎN NR. VIITOR)

EXTENSIE de BANDĂ UNIFORMĂ

Dr. ing. ȘERBAN IONESCU, YO3AVO

$$\xi(\%) \approx \frac{(-\Delta f/\Delta C')_M - (-\Delta f/\Delta C')_m}{(-\Delta f/\Delta C')_m} 100$$

Se poate arăta că abaterea astfel definită depinde în exclusivitate de raportul limitelor benzii de frecvență în care se folosește circuitul. Tabelul 1 ilustrează această dependență.

O soluție mult mai bună, în sensul satisfacerii cerinței de uniformitate a pantei acordului fin la modificarea frecvenței în limitele unei benzi relative impuse, o oferă circuitele cu schema echivalentă din figura 2b. Deși se folosește pentru acordul brut un condensator variabil dublu, acest lucru nu constituie în general un inconvenient prea mare în construcțiile de amatori.

Circuitele oscilante la care modificarea frecvenței de rezonanță se face pe cale capacitivă și care sînt prevăzute cu posibilitatea unui acord fin, printr-un condensator pe care îl notăm C^T, pot fi reprezentate prin schema echivalentă din figura 1.

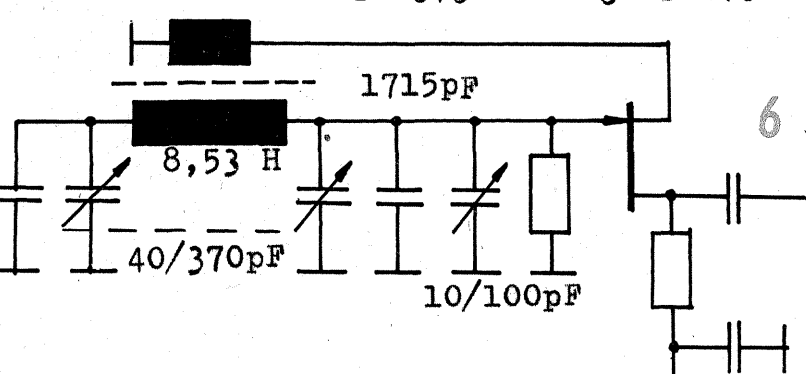
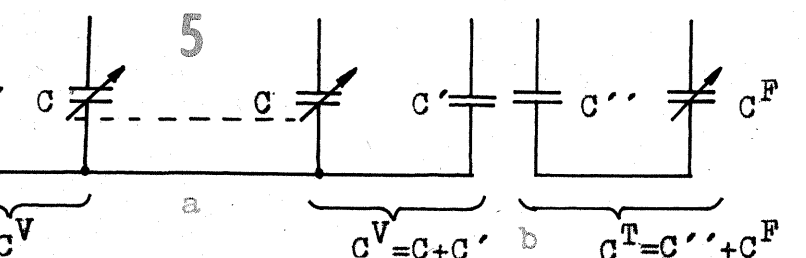
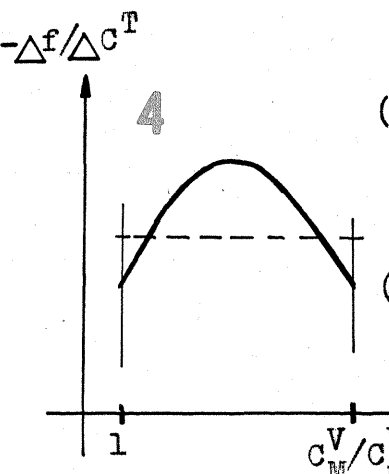
Componentele cvadripolului cu bornele 11 și 22 controlează acordul brut al circuitului pe frecvența f¹ = 2π(LC_{ech})^{1/2}.

Diversele aplicații ale acordului fin impun variații de ordinul unu a frecvenței f în raport cu elementul de acord fin C^T anumite constrîngereri. De exemplu, asigurarea unor performanțe dinamice bune la un sintetizor de frecvență PLL necesită Δf/ΔC^T ~ f, iar folosirea acordului fin pentru extensie de bandă sau modulație de frecvență presupune Δf/ΔC^T = constantă. În cele ce urmează analizăm, pe două structuri de circuite, posibilitatea satisfacerii acestei a doua condiții.

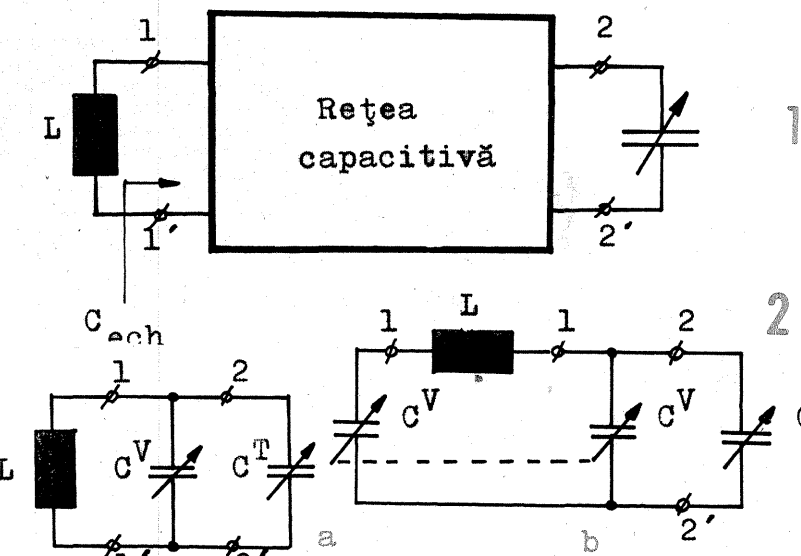
Cele mai multe dintre circuitele uzuale în care acordul fin capacitiv este folosit pentru extensie de bandă sînt reducibile prin transformări de rețea la schema din figura 2a. Prin indicii inferiori m și M se vor marca valorile minime și respectiv maxime ale mărimilor.

Puternica dependență a pantei acordului fin, Δf/ΔC^T, de raportul C^V/C_m^V, redată calitativ în figura 3, face ca aceste circuite să fie acceptate numai pentru benzi de frecvență foarte reduse.

Ca măsură a utilității circuitului se poate calcula abaterea ξ față de condiția de uniformitate, cu formula în care apare valoarea medie a pantei, notată (-Δf/ΔC^T):



$$C^T \in [C_0^T - \Delta C^T; C_0^T + \Delta C^T]$$



Rezultatele acestei optimizări, efectuate de autor pe cale numerică, sînt reunite de tabelul 2. Acesta scoate în evidență apropierea sensibilă a circuitului propus (optimizat) de satisfacere a condiției de uniformitate a acordului fin, pînă la benzi relative de o octavă, abaterea ξ rămînd mai mică de 10%. Chiar și pentru benzi de frecvență cu un raport de 3:1, abaterea este mai mică decît cea pre-

zentată de circuitele reducibile la figura 2a pentru benzi de 1,1:1!

Δf/ΔC^T este și acum o funcție cu variație strict monotonă, pentru C^V ≤ 6C_m^V/(7^{1/2}-1) și C^V ≥ 6C_M^V/(7^{1/2}+1), în rest avînd graficul din figura 4. Acest grafic sugerează existența unor valori optime ale rapoartelor C_m^V/C_M^V și C^V/C_m^V, care minimalizează abaterea ξ pentru fiecare lărgime de bandă în parte.

f _M /f _m	ξ (%)
1,1	28,7
1,2	55,6
1,3	81,5
1,4	106,8
1,5	132,0
1,6	157,2
1,7	182,8
1,8	208,8
1,9	235,3
2,0	262,5
2,2	318,9
2,4	378,5
2,6	441,4
2,8	507,8
3,0	577,8

EXEMPLU DE PROIECTARE

Să presupunem că se urmărește construirea unui oscilator care să acopere gama 2,5 MHz-3,5 MHz, folosind pentru acordul brut un condensator variabil cu aer, dublu, a căruia capacitate C pentru fiecare secțiune în parte poate fi variată între C_m = 40 pF și C_M = 370 pF și se dorește o extensie de ± 6 kHz în toată gama.

Intrucît f_M/f_m = 3,5/2,5 = 1,4, iar din tabelul 2 se obține C_m^V/C_M^V = 2,18 < 370/40, grupul de condensatoare C^V din figura 2b trebuie realizat practic ca în figura 5a, cu

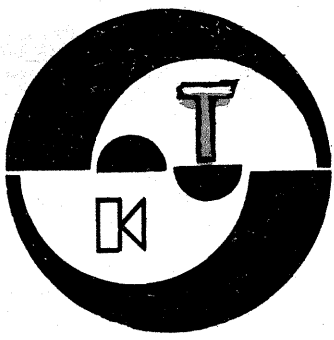
$$C' = [C_M - C_m (C_M/C_m)] / (C_M/C_m - 1) = (370 - 40 \times 2,18) / 1,18 \approx 240 \text{ pF.}$$

Cu această valoare pentru condensatorul auxiliar C' și cu raportul C_m^V/C_M^V = 5,46 din tabelul 2 se obțin:

$$C_m^T = C' + C_m = 240 + 40 = 280 \text{ pF;}$$

$$C_M^T = C_m^T (C_M^T/C_m^T) = 280 \times 5,46 = 1530 \text{ pF.}$$

(CONTINUARE ÎN PAG. 15)



DISTORSIUNILE NELINIARE ÎN AMPLIFICATOARELE DE AUDIOFRECVENȚĂ

Ing. EMIL MARIAN

Problema distorsiunilor neliniare în amplificatoarele de audiofrecvență reprezintă în permanență un subiect aflat în atenția constructorilor de aparataj electroacustic.

Un mod net de a diferenția două amplificatoare de audiofrecvență de aceeași putere, construite de firme diferite, este după felul cum acestea se comportă în privința distorsiunilor neliniare. Firmele specializate în construcția aparatajului electroacustic și constructorii amatori caută în permanență soluții noi pentru obținerea unor rezultate cât mai bune. De la amplificatoarele cu tuburi electronice și pînă la amplificatoarele operaționale, pe tot acest drum parcurs în sensul unei continue perfecționări, problemele esențiale rămân valabile.

Deși s-au făcut progrese atât în privința componentelor, cât și a concepției schemelor amplificatoarelor de audiofrecvență, distorsiunile neliniare au ridicat permanent probleme deosebite. În perioada utilizării exclusive a tuburilor electronice, prețul realizării unei amplificări mari era deosebit de ridicat. Apărea necesitatea utilizării mai multor dispozitive active. Acest lucru ducea inevitabil, chiar în urma unei proiectări îngrijite, la apariția unui procentaj de armonici și a unor distorsiuni de intermodulație, care nu se puteau decât minimaliza într-o oarecare măsură. Atunci cînd s-a descoperit avantajul utilizării reacției negative, aceasta nu s-a aplicat decât local, la nivelul unui etaj funcțional. Prezența absolut necesară la amplificatoarele cu tuburi electronice a transformatorului de ieșire, deci a reactanței sale, duce la apariția unei funcții de transfer intrare-ieșire deosebit de complexă. Corecțiile care se impun pentru a obține în final un spectru neatenuat al frecvențelor înalte fac imposibilă aplicarea unei reacții negative globale. În caz contrar se riscă pierderea stabilității montajului și apariția condițiilor de autooscila-

ție. Reacția medie globală nu depășea valoarea de 30 dB. În aceste condiții, distorsiunile liniare și neliniare reprezentau cu siguranță impedimente serioase aflate în calea unei audiții HI-FI, obținându-se în final doar o audiție satisfăcătoare. Introducerea pe scară largă a montajelor cu tranzistoare și eliminarea transformatorului de ieșire din cadrul schemelor electrice ale amplificatoarelor de audiofrecvență au reprezentat lucruri esențiale în etapa de trecere spre montajele electronice care să minimalizeze distorsiunile. S-a introdus în proiectare reacția negativă globală. S-a ajuns la formarea concepției potrivit căreia cu cât un amplificator are o reacție negativă mai mare cu atât este mai bun, lucru diferit de realitate, după cum se va vedea. Reacția negativă oferă următoarele avantaje:

- distorsiunile statice descresc practic la zero;
- crește banda de trecere a amplificatorului;
- crește impedanța de intrare, descresce impedanța de ieșire și uneori crește factorul de amortizare. Descrășterea continuă a costului

componentelor electronice și în special tendința de integrare monolitică fac posibilă utilizarea cu resurse aproape nelimitate a amplificării. Apare tendința, deosebit de importantă în proiectare, de a folosi o amplificare foarte mare în „bucă deschisă”, urmată de utilizarea unei reacții negative puternice, pentru obținerea amplificării finale dorite. Acest lucru implică folosirea obligatorie a amplificatoarelor operaționale. Ele sînt proiectate frecvent cu destinația de a lucra în echipamentul unui lanț electroacustic. Amplificatoarele operaționale oferă avantajul obținerii unor montaje cu gabarit mic. Performanțele lor electrice sînt net superioare montajelor cu componente discrete în echipamentul audio. Utilizarea amplificatoarelor operaționale a ridicat însă noi probleme. Nevoia de a micșora puterea disipată a făcut ca amplificatoarele operaționale să fie astfel proiectate încît să lucreze în clasă B. Nerespectarea la utilizare a unor parametri inițiali de proiectare (curent de mers în gol, polarizări, compensări etc.) duce la apariția unor distorsiuni de mare amploare. Acestea înrăutătesc considerabil audiția și nu pot fi eliminate de reacția negativă sau alte trucuri de circuit! Cele două efecte esențiale, și anume superdozarea reacției negative și funcționarea în clasă B, impun actualmente cele mai importante probleme în ceea ce privește proiectarea unui amplificator de audiofrecvență cu distorsiuni minime.

Distorsiunile pe care le introduce un amplificator de audiofrecvență se clasifică în două mari grupe, și anume:

- distorsiuni liniare, care reprezintă abateri de la frecvența sau caracteristica de fază, exprimate printr-o funcție de transfer liniară;
- distorsiuni neliniare, cauzate de relația neliniară de amplitudine între intrarea și ieșirea semnalului util, deci o funcție de transfer neliniară.

Articolul de față își propune studiul distorsiunilor neliniare și analiza unor modalități de eliminare a lor. Distorsiunile neliniare se clasifică în două grupe distincte, și anume:

- distorsiuni neliniare statice, dependente numai de amplitudinea semnalului;
- distorsiuni neliniare dinamice, dependente de amplitudinea și ca-

racteristica de frecvență, fază, sau de modul de comportare în timp a semnalului.

DISTORSIUNILE NELINIARE STATICE

Fiecare etaj al unui amplificator deține în tot domeniul posibil de lucru o funcție de transfer neliniară. Neliniarițile se pot clasifica în trei grupe principale:

- neliniaritate de tip S;
- neliniaritate datorată neracordării semialternanțelor semnalului, numită cross-over;
- neliniaritate datorată limitărilor semnalului, denumită clipping.

Aceste neliniariități tipice sînt prezentate în figura 1.

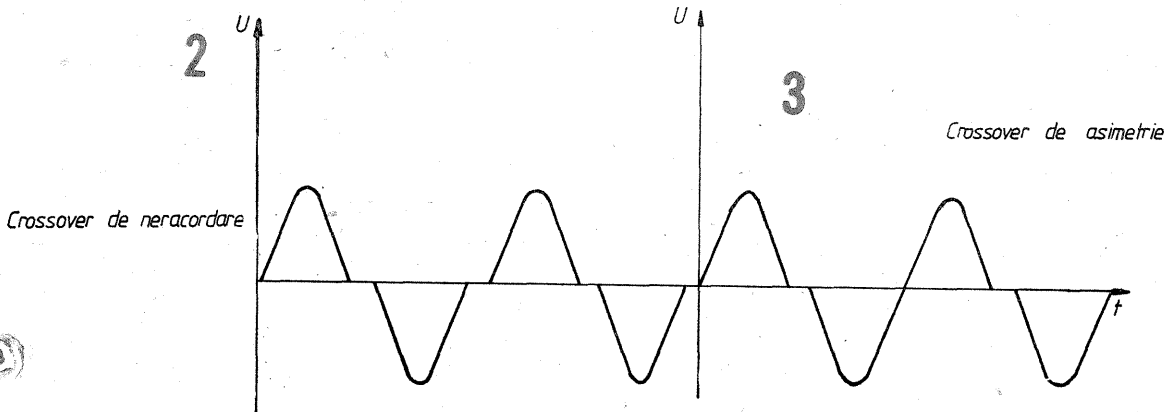
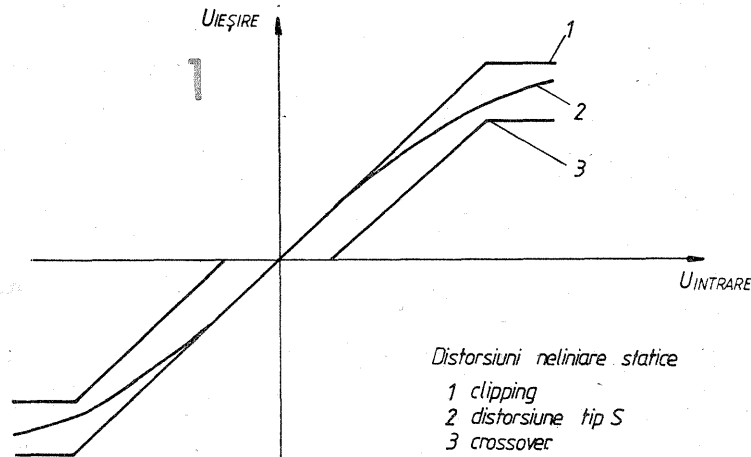
Neliniaritatea de tip S poate apărea din mai multe motive. În cazul tranzistoarelor, ea rezultă datorită dependenței neliniare a amplificării de curent față de curentul de colector, neliniarității tensiunii bază-emitor caracteristice, neliniarității de tip avalanșă a curentului de colector datorită tensiunii colector-emitor etc. În cazul tuburilor electronice, lista se mai completează cu efectul încărcării electrostatice a grilei de comandă, schimbări de conductanță a anodului în funcție de tensiune, posibila apariție a impedanței negative la grila ecran din tetrode și pentode etc. Acest tip de neliniaritate se elimină utilizînd o proiectare îngrijită a etajului respectiv. Se folosesc polarizări și reacții negative locale astfel încît în zona de lucru a etajului funcția de transfer să devină liniară. În cazul utilizării transformatorilor de cuplaj sau de ieșire, neliniarițile lor datorate saturației circuitului magnetic au o deosebită importanță. Influența surselor de neliniaritate S se poate elimina complet utilizînd reacția negativă locală, sarcina optimă și adaptarea între etaje. Cu prețul unui etaj de amplificare în plus care să compenseze pierderile de amplificare datorate reacției negative locale, problema este pe deplin rezolvabilă.

Neliniaritatea de tip cross-over poate să apară în funcționarea unui etaj de audiofrecvență în clasă B. Datorită randamentului net superior clasei A în ceea ce privește puterea transmisă, majoritatea etajelor finale lucrează în clasă B. Dacă nu se respectă o serie de factori esențiali în proiectare, apare în mod sigur distorsiunea de tip cross-over. Aceasta se manifestă sub două forme, și anume cross-over de neracordare și cross-over de asimetrie. Cross-overul de neracordare reprezintă un gol în ceea ce privește racordarea celor două semialternanțe ale semnalului de audiofrecvență. Cross-overul de acest tip este prezentat în figura 2. Cross-overul de asimetrie apare atunci cînd există o asimetrie de timp a amplificării semnalului în ceea ce privește semialternanțele. Acest tip de distorsiune este prezentat în figura 3. Distorsiunea cross-over are următoarele cauze principale:

— descrășterea amplificării etajului în momentul apropierii de zero a celor două semialternanțe ale semnalului;

— frecvența de tranziție diferită a tranzistoarelor sau grupului de tranzistoare finale aflate în componența etajului (de exemplu, secțiunea npn comută mai rapid decît secțiunea pnp), care lucrează separat pentru fiecare semialternanță a semnalului.

În regiunea de trecere „prin zero” a semialternanțelor, amplificarea în buclă deschisă a etajului scade simțitor. Datorită acestui lucru, reacția negativă are efecte limitate. Distorsiunile cross-over sînt deosebit de distinct sesizabile, neplăcute la audiția programului sonor, deoarece generează armonici și intermodulații în banda de audiofrecvență. În cazul producerii armoniilor, componentele de frecvență înaltă se aud distinct, fiind total nemuzicale, ușor detectabile. Concomitent se produce și deformarea semnalului util. În grupul de figuri 4 se prezintă in-



Coeficientul de distorsiuni maxim admis la componentele unei combine muzicale HI-FI

Subansamblul combinei	K
Magnetofon	2 %
Casetofon	3 %
Picup	4 %
Egalizor grafic	0,5 %
Amplificator	0,1 %
Incintă acustică	5 %

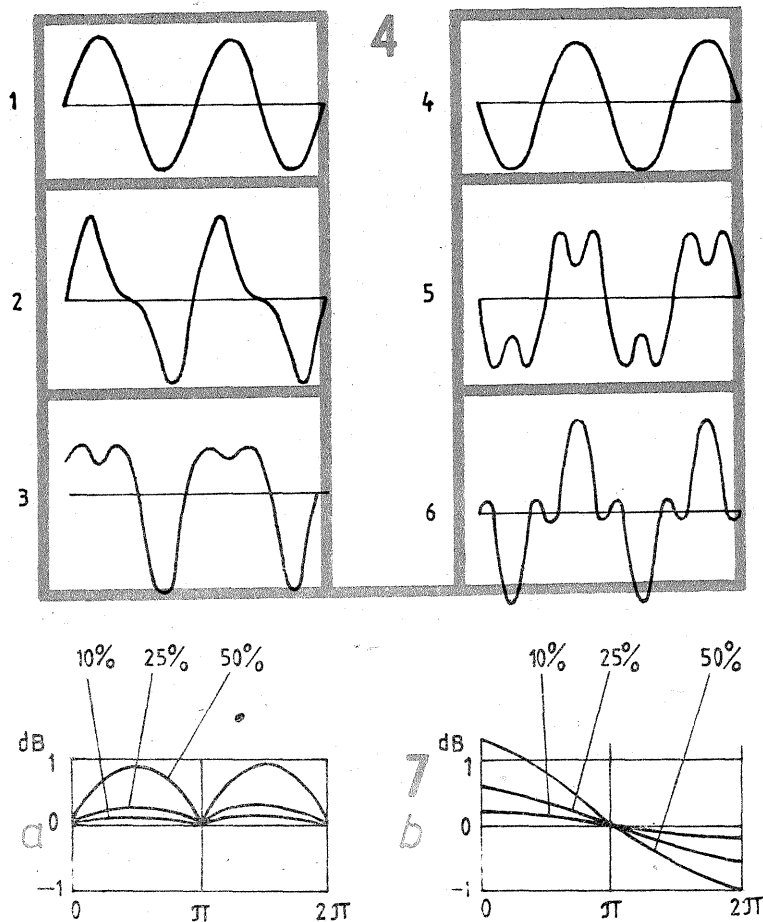
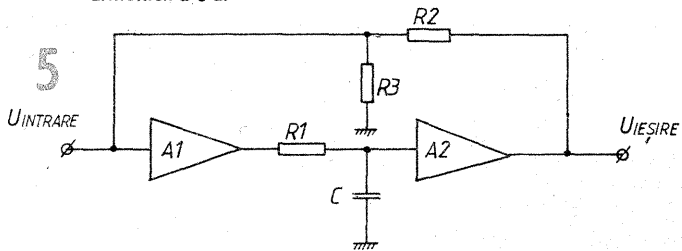


FIG. 4: Distorsiunile neliniare datorate apariției defazajului față de fundamentală

1. Fundamentală (regim perfect sinusoidal)
2. Fundamentală + 50% armonică de ordinul 2 la 0° sau 180°
3. Fundamentală + 50% armonică de ordinul 2 la 90° sau 270°
4. Fundamentală (regim perfect sinusoidal)
5. Fundamentală + 50% armonică de ordinul 3 la 0°
6. Fundamentală + 50% armonică de ordinul 3 la 180°

7. Erorile de măsură a puterii în cele două cazuri: a) distorsiuni de fază la apariția armonicilor a 2-a; b) distorsiuni de fază la apariția armonicilor a 3-a.



Aplicarea reacției negative globale în cazul unui lanț de amplificatoare

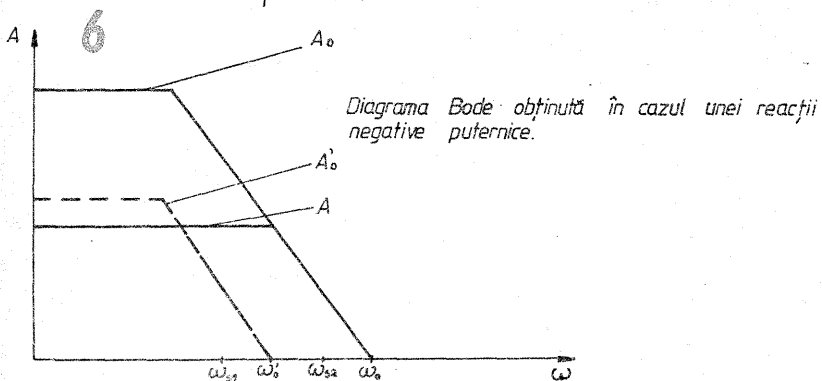


Diagrama Bode obținută în cazul unei reacții negative puternice.

fluentei armonicilor asupra formei de undă a unui semnal sinusoidal. Figurile 4.1. și 4.4. reprezintă semnalul sinusoidal nedistorsionat (fundamentală). În figura 4.2. se prezintă influența armonicilor de ordin 2 aplicată fundamentalăi, la 0° și 180°, care are ca rezultat modificarea formei de undă a fundamentalăi. În figura 4.3. apare influența armonicilor de ordin 2 aplicată fundamentalăi cu un defazaj de 90° sau 270°. În figurile 4.5. și 4.6. se prezintă influența armonicilor de ordin 3, aplicată fundamentalăi cu un defazaj de 0° și respectiv 180°. Pentru o vizualizare corectă a interacțiunii cu fundamentală în toate cazurile sus-menționate

s-a considerat o pondere de 50% a armonicilor analizate. În figura 4.7. apare diagrama erorilor de măsură a puterii transmise în cazul apariției armonicilor de ordin 2 și 3. Construcătorul amator va utiliza diagramele prezentate în scopul identificării genului de distorsiune care va apărea în montajul testat și va proceda în consecință pentru eliminarea ei. Să nu uităm că, practic, pot apărea și armonicile 4, 5, 6 etc., care vor modifica forma sinusoidală a fundamentalăi, făcând-o de nerecunoscut. Remediu distorsiunii cross-over îl constituie alegerea unui curent de mers în gol al etajului suficient de mare ca să asigure

amplificarea mare tot timpul. Totuși curentul de mers în gol nu poate fi prea mare deoarece apare un consum inutil de energie și mărirea riscului ambalării termice. Rezultă alegerea unui curent de mers în gol care să constituie un compromis al celor două cerințe contradictorii. Concomitent, este necesară alegerea unui grup sau a unor dubleți de tranzistoare în etajul final, care să prezinte frecvențe de tranziție apropiate și mult superioare frecvenței maxime din banda audio. Rezultate foarte bune se obțin utilizând o mică reacție negativă locală (rezistențele din emitoarele tranzistoarelor finale).

Neliniaritatea de tip clipping apare atunci când amplificatorul este supraîncărcat. Datorită acestui lucru se poate afirma că acest tip de neliniaritate apare numai în caz accidental. Deoarece pentru durate limitate de timp depășirile de sarcină există în mod uzual, performanțele amplificatorului la supraîncărcare devin importante. Sesizarea practică a distorsiunilor clipping depinde de mecanismul limitării, de panta acesteia (dacă este bruscă sau lină) etc. Se pot produce efecte secundare, deoarece limitarea agravează generarea armonicilor și distorsiunile de intermodulație. Este de dorit ca panta limitării să fie mică, dar, datorită reacției negative globale, procesul are loc în avalanșă și limitarea devine „dură”. Reacția negativă mai poate produce un exces de curent în etajul pilot al amplificatorului, fapt care agravează problemele de saturație și revenirea rapidă a funcționării normale. Limitarea cu pantă lină și reacția negativă globală rămân două probleme contradictorii. Iată de ce un bun amplificator se dimensionează pentru o putere mai mare decât cea utilă, în scopul de a preveni pe cât posibil depășirile de sarcină nominală. Un amplificator de audiofrecvență se dimensionează inițial la o putere dublă față de cea utilă nu pentru a scutura cu el perdelele din casă și a deranja vecinii, ci doar pentru obținerea unei audiții normale nedistorsionate!

DISTORSIUNI NELINIARE DINAMICE

Distorsiunile neliniare dinamice apar atunci când conținutul în frecvență sau proprietățile în timp ale semnalului de intrare afectează funcția de transfer globală a amplificatorului. O neliniaritate de acest tip se numește neliniaritate dinamică. Ea are ca origine reacția negativă globală. Pentru exemplificare, să considerăm un amplificator cu o reacție negativă foarte puternică. La intrarea lui s-a aplicat un semnal tranzitoriu (un front de undă foarte abrupt și de durată foarte mică), urmat imediat de un semnal sinusoidal. Deoarece reacția negativă este foarte puternică, amplificarea în buclă închisă rămâne la valoarea A (nu scade), dar amplificarea în buclă deschisă va scădea de la valoarea A₀ la A₀' și frecvența de tăiere ω₀ scade momentan cu una sau două decade la valoarea ω₀' în timpul creșterii semnalului tranzitoriu. Acest lucru creează modulația de fază a semnalului sinusoidal, dacă frecvența lui ω₀ este mai mică decât ω₀' (fig. 6, ω₀) și modulația combinată de amplitudine și frecvență dacă ω₀ se află între ω₀' și ω₀ (fig. 6, ω₀).

În ambele cazuri, modulația de amplitudine și fază implică creșterea componentelor de interferență între semnalul tranzitoriu și semnalul sinusoidal. Acest lucru duce la apariția distorsiunilor de intermodulație apreciabile. Într-un caz extrem, amplificarea A₀ poate scădea la zero, acest lucru implicând o distorsiune de intermodulație de 100% a semnalului sinusoidal. De aici rezultă importanța deosebită a unei proiectări îngrijite a amplificatorului, în așa fel încât reacția negativă globală să nu implice posibilitatea apariției acestui tip de distorsiune. De asemenea, apare încă o dată condiția utilizării în montaj a unor tranzistoare cu frecvența de tăiere mult superioară frecvenței maxime a semnalului audio util. Un bun mijloc de evitare a distorsiunilor îl constituie și filtrajul semnalului audio inițial, astfel ca la etajele amplificatoare finale să nu ajungă semnale cu frecvența mai mare decât cele din banda de audio-frecvență. Utilizarea reacției negative se va face cu deosebită atenție îmbinând avantajele și dezavantajele reacției negative locale cu cele ale reacției negative globale. Iată de ce în emitoarele tranzistoarelor de putere din etajul final se amplacează câte o rezistență de valoare mică ce, deși reduce din putere, aduce toate avantajele reacției negative locale:

- liniarizează funcționarea etajului;
- mărește stabilitatea dinamică în funcționare;
- micșorează efectul de toleranță individuală a pieselor componente fiecărui etaj;
- mărește frecvența de tăiere a tranzistoarelor, lucru deosebit de important pentru etajele finale în clasă B.

Reacția negativă locală nu se poate aplica totdeauna. În cazul etajului pilot, ea limitează excursia în tensiune a acestuia. Datorită faptului că etajul pilot lucrează cu curenți mici, se preferă aproape totdeauna utilizarea sa în clasă A de funcționare, disipația de putere fiind neglijabilă. Aici se utilizează o amplificarea mare, urmată de o reacție negativă globală dintre două sau trei etaje cuplate galvanic. Acest fapt elimină distorsiunile neliniare statice și asigură o funcționare corectă. Se observă că utilizarea optimă a celor două tipuri de reacție, o dată cu luarea măsurilor de proiectare adecvată, duce la obținerea unui amplificator care să aibă distorsiuni neliniare mai mici de 0,2%. Se recomandă ca reacția negativă globală să se mențină între 20 și 40 dB. În acest fel se obțin distorsiuni armonice mai mici decât 0,05% și în același timp se evită riscul apariției distorsiunilor neliniare dinamice. Să nu uităm faptul că amplificatorul de audiofrecvență este doar o componentă din lanțul electroacustic. În tabel este prezentată ponderea maximă a fiecărei componente din lanțul electroacustic în ceea ce privește coeficientul de distorsiuni, referindu-ne la un aparat HI-FI de factură curentă. Se definește coeficientul de distorsiuni astfel:

$$K = \frac{\sqrt{V_2^2 + V_3^2 + \dots + V_n^2 + N^2}}{V_1} \cdot 100$$

unde: V₁ = amplitudinea fundamentală; V_{2,3,...n} = amplitudinea armonicilor de ordin 2, 3...n; N = amplitudinea de zgomot.

(CONTINUARE ÎN PAG. 15)

VIDEOCASSETOFONUL

1. SCURT ISTORIC

În anii 1975—1976, mai multe firme producătoare de echipamente electronice audiovizuale au creat, în baza experienței pozitive, a succesului audiocasetofoanelor și a stabilirii principiilor înregistrării magnetice video pe videomagnetofone, diferite sisteme de videocasetofoane. Cele mai semnificative reușite au fost ale firmelor Grundig în R.F.G., cu modelul Video 2000, Philips în Belgia, cu modelul VCR—120, în Japonia firma Sony, cu sistemul U-matic și mai târziu cu celebrul sistem Betamax, iar firma Matsushita, cunoscută sub numele de National Panasonic, cu sistemul VHS.

Aceste sisteme de înregistrare magnetică a semnalului video și audio au supraviețuit altor concurențe, dar lupta tehnică și de piață între ele continuă și astăzi. Cele trei sisteme enumerate mai sus, VCR, VHS și β -max, nu sînt compatibile între ele.

În anul 1979 firma Sony a început comercializarea pe scară largă a sistemului Betamax HI-FI, de înaltă fidelitate (audio), îmbunătățind apreciabil calitatea semnalului sonor înregistrat, depășind în calitate chiar și înregistrările audiocasetofoanelor de „virf” ale unor firme recunoscute ca atare în domeniu. În scurt timp firma japoneză JVC anunță crearea unui sistem similar VHS HI-FI.

2. PRINCIPII GENERALE DE FUNCȚIONARE

La toate sistemele de înregistrare magnetică a semnalului video, aceasta se face oblic pe banda magnetică, pentru a compensa viteza relativ scăzută de deplasare a acesteia (fig. 1 a).

Înregistrarea se face prin intermediul unui set de două capete magnetice, situate la 180° pe un tambur rotativ. Sincronizarea vitezei de deplasare a benzii magnetice cu cea de rotație a tamburului cu cele două capete magnetice face posibilă înregistrarea oblică (elicoidală) a semnalului video. Două capete separate șterg, respectiv înregistrează liniar, în sensul de deplasare a benzii, semnalul audio mono sau stereofonic, iar un alt cap înregistrează semnalul de control-sincronizare.

Aici se oprește asemănarea dintre sisteme, în rest mecanica și cinematica, unghiul \varnothing de înregistrare semnal video, viteza de deplasare a ben-

Ing. ALEXANDRU HARBIC

zii, lățimea acesteia, înclinația pe verticală a tamburului față de bandă, modul de priză al benzii în mecanism diferă mult, ceea ce face ca acestea să fie incompatibile (fig. 2 a, b).

3. VIDEO HI-FI

Noua tehnică de înregistrare a sunetului de înaltă calitate are la bază modularea în frecvență (FM) a semnalului audio și nu înregistrarea lui clasică prin modulare de amplitudine (AM).

I. **Betamax HI-FI** are la bază obținerea unui semnal audio modulat în frecvență prin oscilatorul local, urmînd ca semnalul audio modulat în frecvență să fie amestecat cu semnalul video și înregistrat simultan cu acesta pe banda video cu același set de capete rotative de pe tamburul rotitor.

II. **VHS HI-FI** are la bază sistemul JVC, numit „depth multiplexing” de înregistrare-redare a semnalului audio modulat în frecvență.

Capete de înregistrare-redare separate, situate pe tamburul rotitor, înregistrează informația stereofonică relativ adînc în stratul magnetic al benzii. Semnalul video este înregistrat deasupra în aceeași porțiune de bandă, dar mai aproape de suprafața benzii casetei video (fig. 1 b) și nu șterge complet purtătoarea semnalului audio. O separare între semnalul video și semnalul audio înregistrate se face prin folosirea de unghiuri de azimut diferite pentru capetele magnetice video și audio, ceea ce face ca semnalul video să fie „transparent” pentru cel audio modulat în frecvență la redare (unghiul de diferență azimutală între capete este de ordinul unui grad).

Ca și la sistemul β -max, înregistrarea mai în adîncime sau mai la suprafața a semnalului video sau audio modulate în frecvență are la bază folosirea de cîmpuri magnetice de intensități diferite cu purtătoare ale semnalelor audio și video diferite (de ordinul a 1—2 MHz), precum și fenomenul de pătrundere a cîmpurilor magnetice cu frecvențe mai joase mai adînc în stratul magnetic al benzii.

Fig. 2 a: BETAMAX

1. Bandă magnetică
2. Cap de ștergere
3. Capestan
4. Rolă presoare
5. Capete sunet și sincronizare
6. Tambur bloc videocapete
7. Platformă rotativă (270°)
8. Casetă

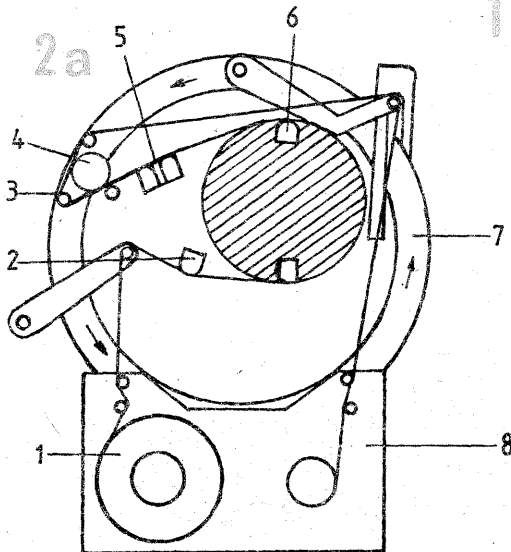
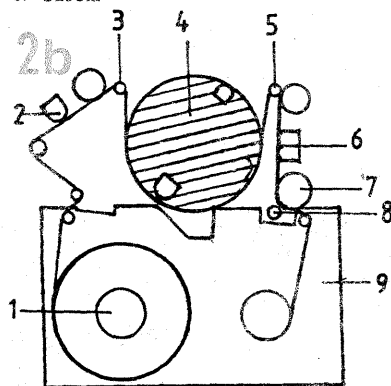


Fig. 2 b: VHS

1. Bandă magnetică
2. Cap sincronizare (control)
3. Ghidaje
4. Tambur bloc videocapete
5. Capete sunet
6. Rolă presoare
7. Capestan
8. Casetă



Schemele de bază de modulare a semnalelor la ambele sisteme Betamax și VHS duc la un semnal cu raport semnal/zgomot (S/N) scăzut. De aceea, ambele sisteme folosesc echipamente electronice proprii de codare-decodare, de reducere a zgomotului, similare în concepție dar nu și în execuție cu sistemele Dolby și dbx, cunoscute la casetofonele audio.

Pentru a păstra compatibilitatea cu sistemele clasice de VCR-uri, casetele înregistrate în HI-FI păstrează și înregistrarea audio separată, clasică, de la videocasetofoanele produse pînă la data apariției noului sistem VCR HI-FI (Video Cassette Recorder High-Fidelity).

Caracteristicile VCR HI-FI le fac compatibile ca performanță cu videodiscurile (CD) și audiodiscurile înregistrate în sistemul digital (numeric) — DAD (digital audio disc).

4. PERFORMANȚE GENERALE VHS

- Sistemul de înregistrare video:
 - clasic — două capete magnetice rotative
 - HI-FI — idem
 - Viteza de deplasare a benzii:
 - 23,39 mm.s⁻¹ (viteza standard) SP
 - 11,69 mm.s⁻¹ (înregistrare lungă) LP
 - 7,79 mm.s⁻¹ (înregistrare superlungă) SLP sau EP (extra play)
 - Timpul de rebobinare-derulare a casetei standard T 120: 4—5 minute
 - Sistemul de televiziune:
 - Semnal video:
 - CCIR (OIRT prin comandă specială sau cu adaptor 5,5—6,5 MHz):
 - 625 linii pe verticală;
 - frecvența cadrelor — 50 Hz;
 - semnal color NTSC, PAL, SECAM, M SECAM;
 - semnalul video modulat în radiofrecvență
 - Semnal audio:
 - standard — modulație în amplitudine (AM);
 - HI-FI — modulație în frecvență (FM);
 - monofonic — o pistă;
 - stereofonic — două piste
 - Rezoluție orizontală video, color:
 - ≥ 240 linii (SP);
 - ≥ 160—200 linii (LP);
 - ≥ 160 linii (SLP, EP);
 - Raportul semnal/zgomot: S/N ≥ 45 dB (video)
 - Audio
 - Răspuns în frecvență:
 - clasic 60 Hz — 11 kHz — 3 dB SP
 - 60 Hz — 6 kHz LP
 - 80 Hz — 3 kHz SLP (EP)
 - HI-FI 20 Hz — 20 kHz — 0,5 dB SP;

- Distorsiuni armonice totale THD% la 1 000 Hz
 - clasic ≤ 10% la 0 dB
 - HI-FI ≤ 0,32% la 0 dB
 - 0,29% la —10 dB
- Raportul semnal/zgomot (audio) S/N la 0 dB:
 - clasic ≥ 45 dB (52 dB cu Dolby B);
 - HI-FI ≥ 70 dB
- Fluctuație de viteză:
 - HI-FI ± 0,005%
 - clasic ± 0,1% SP;
 - 0,2% LP;
 - 0,4% EP.

În tabelul 1 sînt date principalele caracteristici ale videocasetofoanelor firmei JVC.

5. MODUL DE UTILIZARE A UNUI VIDEOCASSETOFON

Conectarea unui videocasetofon implică următoarele operațiuni:

- selectarea tensiunii de alimentare 220 V/50 Hz (standardizată în R.S.R.);
- conectarea bornei de la antena individuală sau colectivă la borna input RF (intrare radiofrecvență) cu un cablu prevăzut cu mufă corespunzătoare (coaxial 75 Ω, fig. 3);
- conectarea receptorului de televiziune printr-un cablu coaxial la borna output RF-iesire radiofrecvență (fig. 3). În acest mod se asigură recepționarea și vizualizarea emisiunii dorite pe receptorul TV. Pe selectorul de canale al receptorului TV se poate selecționa un program dorit, în timp ce pe selectorul de canale UHF sau VHF (ultra înaltă frecvență sau foarte înaltă frecvență) al videocasetofonului se poate selecta și înregistra același program urmărit pe televizor sau un alt program pe care putem să-l vizionăm ulterior.

Cînd se dorește copierea unei înregistrări de pe un alt casetofon VCR 1 pe propriul videocasetofon VCR 2 se conectează VCR 1 la borna out RF cu input RF de la VCR 2, care face dublarea (fig. 4 a). Această schemă de conectare este ideală, restituind integral calitatea înregistrării originale. O altă metodă de copiere a unei înregistrări (fig. 4 b) folosește intrările, respectiv ieșirile audio și video.

Sistemul „dubbing” folosind intrările și ieșirile de radiofrecvență face posibilă și copieri de semnale audio-video de la alte sisteme β -max, VCR 2000 etc., păstrînd o înaltă calitate a înregistrării.

Sînt situații de incompatibilitate de normă de televiziune, exemplu CCIR—OIRT, cînd receptorul TV produce imaginea, dar nu și sunetul, acesta fiind modulat pe o altă frec-

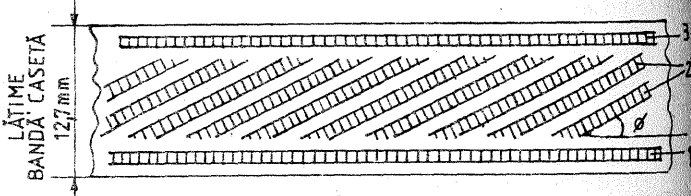


Fig. 1 a:
1. Semnal audio mono sau stereofonic
2. Semnal video
3. Semnal sincronizare (control)
 \varnothing Unghiul de înregistrare a semnalului

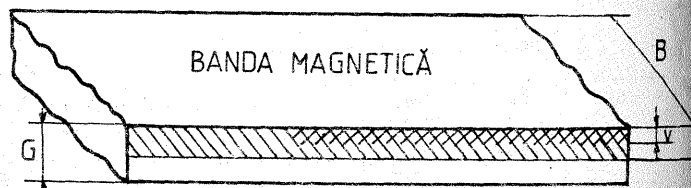


Fig. 1 b:
B — Lățimea benzii de casetă
G — Grosimea benzii
A — Semnal audio modulat în frecvență
V — Semnal video transparent

Videocasetoane VHS, JVC

Model	HR-D110E	HR-D220E	HR-D225E	HR-7655-EG	HR-2650EG* și TU-26 EG	HR-7600MS
Timp redare-înregistrare caseta T240	4 ore	4 ore	4 ore	8 ore	4 ore	4 ore
Puterea consumată de la sursă	30 W	35 W	35 W	50 W	9/55 W	45 W
Temperatura de lucru	+5...+40°C	+5...+40°C	+5...+40°C	+5...+40°C	+5...+40°C	+5...+40°C
Raport S/N (video)	> 43 dB	> 43 dB	> 43 dB	> 43 dB	> 43 dB	> 43 dB
Definiție verticală imagine	> 250 linii	> 250 linii	> 250 linii	> 250 linii	> 250 linii	> 250 linii (PAL) > 240 linii (NTSC, SECAM)
Înregistrare sunet	Mono	Mono	Stereo	Stereo	Stereo	Mono
Raport S/N (audio)	> 40 dB	> 43 dB	> 46 dB (Dolby)	> 46 dB (Dolby)	> 46 dB (Dolby)	> 48 dB (Dolby)
Răspuns în frecvență	70 Hz 10 kHz	70 Hz 10 kHz	70 Hz 10 kHz	70 Hz 10 kHz	100 Hz 10 kHz	70 Hz-12.5 kHz
Timer	1 program 14 zile	8 progr. 14 zile	8 progr. 14 zile	8 progr. 14 zile	8 progr. 14 zile	8 progr. 14 zile
Sistem de televiziune color	PAL	PAL	PAL	PAL	PAL	PAL SECAM NTSC
Reductor dinamic de zgomot	-	-	Dolby B (-10 dB)	Dolby B (-10 dB)	Dolby B (-10 dB)	Dolby B (-10 dB)
Modul de încărcare a casetei	Frontal	Frontal	Frontal	Frontal	Lateral	Frontal
Dimensiuni LxIxA (mm)	435x130x368	435x130x368	435x130x368	460x154x371	270x103x268 270x103x304	460x154x371
Greutate (kg)	9	9,5	9,5	12,0	4,5 5,3 (fără baterii)	12

* HR-2650 EG—casetofon fără tuner, tip reportaj, portabil.
TU-26 EG—tuner adițional la casetofon.
Datele sînt furnizate de catalogul JVC, 1984.

vență, respectiv 5,5 MHz CCIR și 6,5 MHz OIRT (adoptat în R.S.R.). Pînă la construirea unui adaptor CCIR—OIRT (vezi „20 scheme electronice pentru amatori”, de M. Băsoiu și C. Costache, Colecția Radio și televiziune, nr. 129, vol. I, pag. 130) se poate înregistra imaginea pe calea normală (input RF), iar sunetul prin intrarea input audio, prin conectarea la ieșirea audio a unui receptor prevăzut cu banda FM (ultrascurte), unde este localizat sunetul emisiunii de televiziune a postului selectat. Tot pe această cale se pot face „trucaje” adoptînd un semnal audio altul decît al emisiunii originale, generat de orice altă sursă: magnetofon, casetofon, picup, radio (fig. 5 a). De asemenea, semnalul audio de pe o bandă preînregistrată poate fi „scos” prin audio out și reprodus printr-un amplificator mono sau stereo (fig. 5 b).

Posesorii unei videocamere își pot îmbogăți paleta înregistrărilor audio-video prin înregistrarea evenimentelor deosebite din familie, amintiri din excursii și vacanțe etc. Camera poate fi bransată direct la VCR prin „audio și video input”. Pentru comanda înregistrării prin acționarea camerei se conectează și „camera remonte” (fig. 6).

Filmele clasice de 8 mm pot fi înregistrate sau vizionate pe TV prin

conectarea camerei la videocasetofon, care va prelua imaginea proiectată pe un ecran, și conectarea sunetului de la proiectorul de film (8, 16 sau 35 mm) la „audio input” a VCR-ului (fig. 7).

Deoarece numărul de cadre de la proiector diferă de cel al sistemului de televiziune (18—24, față de 50 la TV), prin intervenția unui specialist în aparate de proiecție se poate adapta acesta pentru eliminarea fluturărilor de imagine supărătoare pe ecranul TV.

Pentru imagini statice tip diapozitiv nu sînt probleme de vizionare.

6. CITEVA CRITERII DE ALEGERE A UNUI VIDEOCASSETOFON

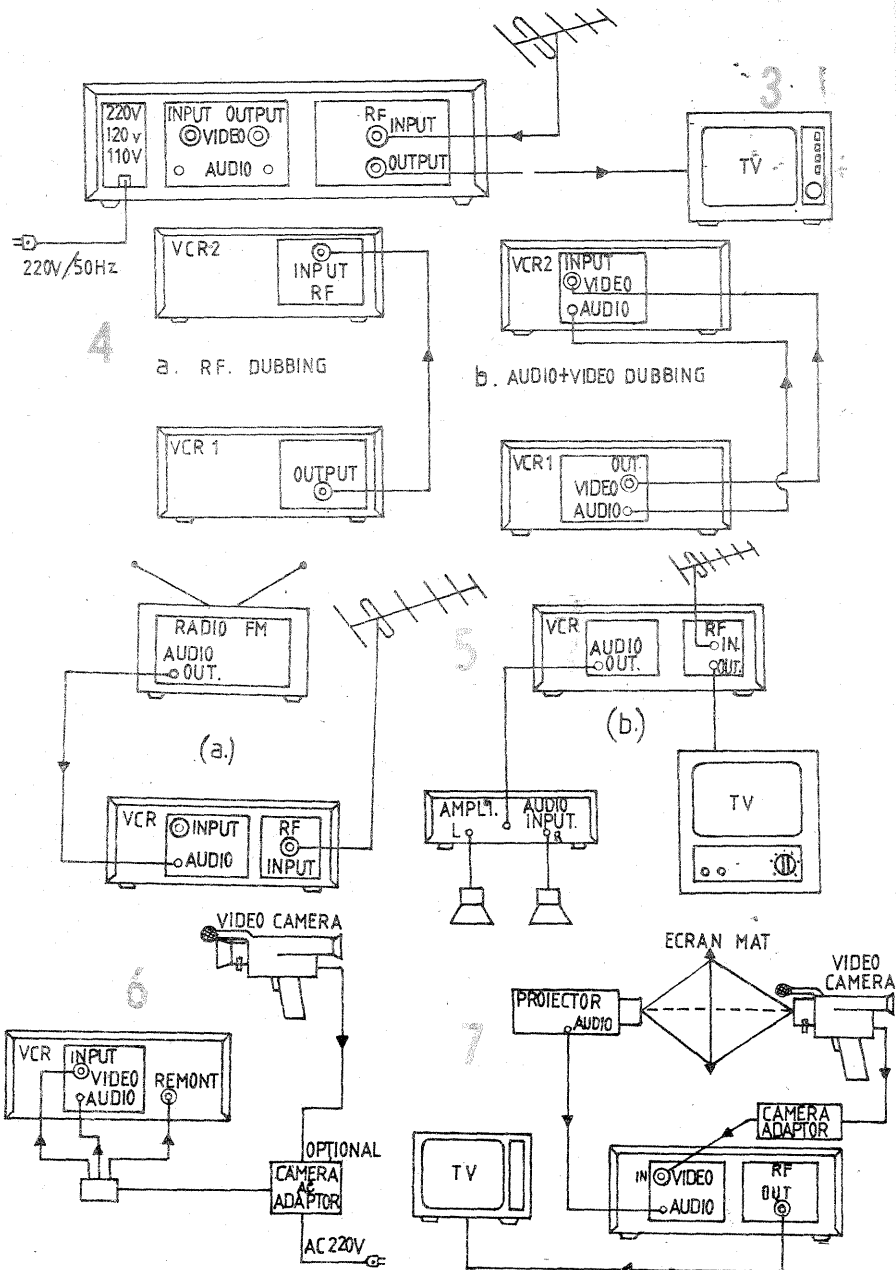
Înainte de stabilirea unui model pe care-l dorim, alegere la care poate contribui accesibilitatea, prețul sau aspectul comercial, trebuie urmărite unele criterii și necesități, dintre care menționăm:

— posibilitatea de a fi alimentat la tensiunea alternativă standardizată la noi în țară — 220 V/50 Hz, fiind seama de faptul că în multe țări rețeaua este de 110—120 V/60 Hz;

— să fie capabil să recepționeze emisiuni color, în principal în sistemul PAL, adoptat în R.S.R., și secundar în SECAM; în ultimul timp problema a fost rezolvată de producători, dotînd prin construcție unele modele cu decodare multistandard

Sistemul VHS	Tipul casetei				Sistemul β-max	Tipul casetei		
	T 120	T 160*	T 180	T 240		L 500	L 750	L 930
Nu există echivalent de viteză în VHS					x-1	1 oră	1 oră 30 min	1 oră 40 min
SP	2 ore	2 ore 40 min	3 ore	4 ore	x-2	2 ore	3 ore	3 ore 20 min
LP	4 ore	5 ore 20 min	6 ore	8 ore	x-3	3 ore	4 ore 30 min	5 ore
SLP(EP)	6 ore	8 ore	9 ore	12 ore	Nu există echivalent de viteză în β-max			

* Acest tip de casetă este apărut mai recent.



(PAL, SECAM, M SECAM, NTSC); — o altă problemă o constituie alegerea dintre sistemele la concurență VCR — Philips și Grundig, β-max adoptat de firme ca Sony, Sanyo, AIWA, Toshiba etc. și VHS (Video Home System) adoptat de National Panasonic, JVC, Sharp, AKAI. S-ar părea că această problemă la noi a fost rezolvată, sistemul VHS cîștigînd cel mai mult teren. Problema depinde însă și de criterii cum ar fi: tipul de videocasetofon al prietenului cu care dorim să facem schimb de imprimări, posibilitatea obținerii casetelor standard ale sistemului etc.

Dacă dorim să facem propriile noastre înregistrări de familie în excursii sau concedii la munte sau la mare prin intermediul unei videocamere, alegerea se va îndrepta spre un videocasetofon portabil, alimentat la baterii sau la acumulatorul de la automobil (12 V). Acest tip de videocasetofon poate fi simplu, fără partea audio, fără blocul de canale TV, avînd ca piesă secundară un receptor TV cu programator, sau complet, avînd încorporat tunerul și programatorul (la modele mai scumpe). Programatorul nu este rațional să depășească 7 zile.

Așa cum am arătat, cei care vor prefera sisteme HI-FI pot alege modelul dorit, dar la un preț mult mai ridicat. Criteriul prețului rămîne esențial pentru orice alegere.

Un criteriu ce nu trebuie neglijat îl constituie posibilitatea de SERVICE, fiind de preferat firme ca SHARP,

AKAI, JVC, cu service la noi prin reprezentanțele de specialitate.

Atît β-max, cît și VHS dispun în cadrul sistemelor lor și de minivideocasetofoane cu casete de 20—30 de minute de înregistrare. Această casetă se introduce în adaptoare speciale, de forma casetelor standard și pot fi reproduse în videocasetofoanele obișnuite. Sistemele sînt greu accesibile, nerentabile, cu tot prețul de achiziție redus.

7. POSIBILITĂȚI DE ÎNREGISTRARE-REDARE

Atît sistemul β-max, cît și VHS pot reda, respectiv înregistra, cu trei viteze diferite.

Sistemul VHS are ca viteze: SP (standard play), viteza normală, LP (long play), viteza de durată lungă, dublă față de cea normală, SLP sau EP (super long play sau extraplay), de durată foarte lungă, de trei ori durată normală.

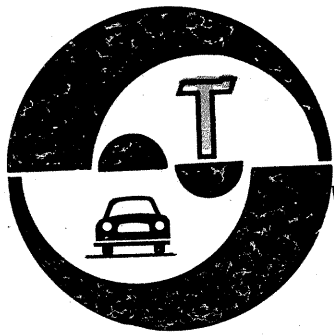
În sistemul β-max, vitezele de redare a benzii, notate cu x-1, x-2, x-3, au aceeași semnificație ca la VHS.

Casetă notată „T120” este standard pentru sistemul VHS, iar cea „L 500” pentru sistemul β-max.

Tabelul 2 prezintă principalele durate pentru diferite casete ale celor două sisteme.

La β-max viteza x-1 este mai rar întîlnită, calitatea înregistrărilor audio și video este net superioară sistemului VHS.

(CONTINUARE ÎN PAG. 15)



AUTOTURISMELE "OLTCIT" SERVICE

Dr. ing. TRAIAN CANTĂ

(URMARE DIN NUMĂRUL TRECUT)

SEMICARTERILE MOTORULUI sînt etanșate în planul de separare A-A (fig. 2), cu o soluție specială de etanșare denumită „Formetanch”. Pe figură s-au mai notat cu: 1 — filtru de aer; 2 — conductă de acces aer de la separatorul de ulei la filtrul de ulei; 3 — separator de ulei; 4 — conductă de acces al aerului în carburator; 5 — carburator; 6 — conductă de acces al gazelor din carter către separatorul de ulei; 7 — cutie de admisiune; 8 — conductă de scurgere a uleiului motor de la separator în baie; 9 — conductă de admisiune a amestecului carburant în camera de ardere; 10 — cilindru; 11 — conductă gură umplere cu ulei; 12 — capac culbutoare; 13 — roată distribuție; 14 — chiulasă; 15 — reniflard; 16 — baie de ulei; 17 — conductă ulei ungere către baia motorului; 18 — ambielaj; 19 — cutie de încălzire; 20 — conductă acces aer proaspăt la filtrul de aer; 21 — arbore cu came; 22 — ax culbutoare.

La montarea chiulaselor se folosesc patru tipuri de prezoane (fig. 3 a), care se poziționează ca în figura 3 b.

ARBORELE COTIT. Este format din cinci părți asamblate la cald cu cele patru biele, avînd: semicuzinetul central cu „guler de limitare a jocului axial” (diametrul interior: varianta I = 57,5 mm; varianta a II-a = 57,4 mm — reper roșu; lățimea totală = 25,9 mm); semicuzinetii față și spate (diametrul interior: varianta I = 57,5 mm, varianta a II-a = 57,4 mm — reper roșu; lățimea totală = 20,8 mm). Jocul axial al arborelui cotit, nereglabil, preluat de cuzinetul central (0,09...0,20 mm). Se interzice să se retușeze suprafețele de lucru față și spate ale arborelui cotit deoarece au microturbine (striuri) care asigură etanșarea ansamblului, prin „împingerea” uleiului spre interior. Ca la motorul mic, ambielajul nu se repară. În cazuri accidentale, de gripare sau de defectare a unor piese, care apar în cazul întreținerii și exploatării incorecte a motorului, sau datorită unor defecte de material ascunse, se înlocuiește ansamblul ambielaj.

BIELELE. Jocul lateral al bielelor (0,13—1,18 mm); alezajul bușelor de bielă ($22,005 \pm_{0,006}^{0,011}$ mm).

VOLANTUL. Sensul de montare

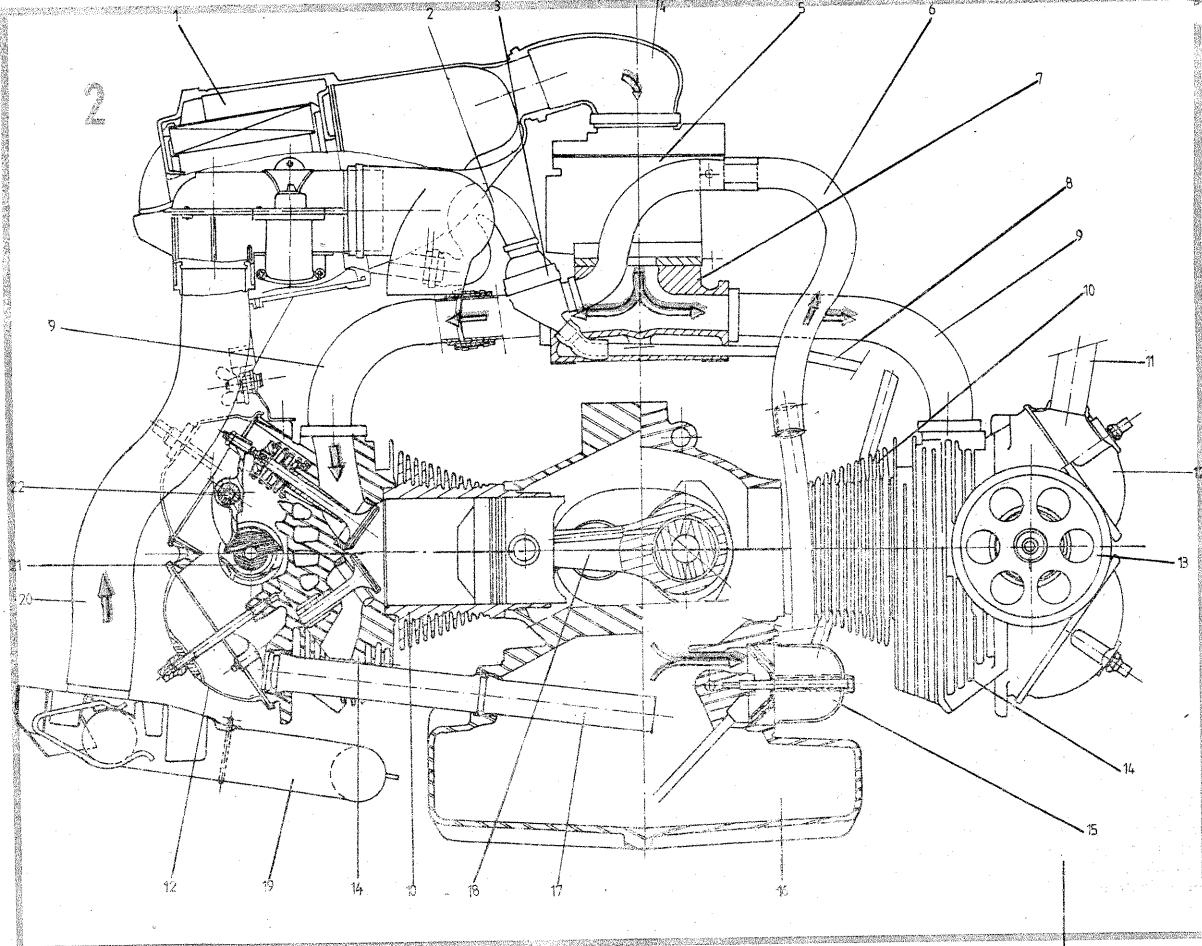
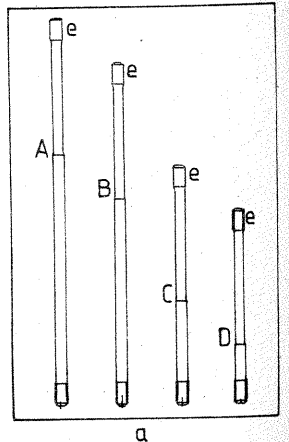
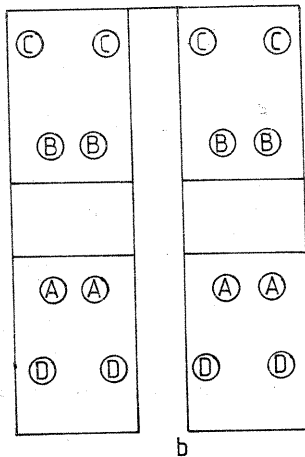
a coroanei (cu fața neprelucrată îndreptată către umărul volantului). Bătaia maximă a coroanei demarorului (0,3 mm). În cazul demontării șuruburilor volantului sau al necesității restrîngerii lor (dacă s-au slăbit în funcționare), se impune a se folosi șuruburi de fixare noi. **CILINDRII.** În funcție de înălțimea lor, în fabricație se montează două clase: I = 86,88 — 86,90 mm (reper roșu) și II = 86,90 — 86,92 mm (reper verde). Dacă prin reparație se impune înlocuirea cilindrilor, este obligatoriu a monta pe aceeași parte cilindri din aceeași clasă de fabricație.

PISTOANELE. Fabricate de către COLMAR sau I.P.T.A.P.A.-Slatina, au sensul de montare impus de un reper de montaj (săgeată și reper „D” — dreapta și „G” — stînga). După montare, săgeata fiecărui piston trebuie să fie îndreptată către distribuție. Clasele de fabricație a pistoanelor sînt: 1=73,95—73,96 mm; 2=73,96—73,97; 3=73,97—73,98. Aceste clase nu trebuie confundate cu cla-

avînd diametrul de 22 mm și lungimea de 63,9 mm.

Exploatarea nerațională sau întreținerea necorespunzătoare a motorului poate conduce la griparea pistoanelor, situație care impune demontarea motorului, măsurarea pieselor (uzura cilindrilor) și înlocuirea celor uzate. **SEGMENTII.** La montarea lor cu dispozitivul pe piston, trebuie să se respecte condiția prin care reperul (marca fabricantului) să fie îndreptat către capul pistonului. În figura 4 s-a numerotat ordinea de montare (a — segment de compresie; b — segment raclor; c — segment de ungere, U — Flex)

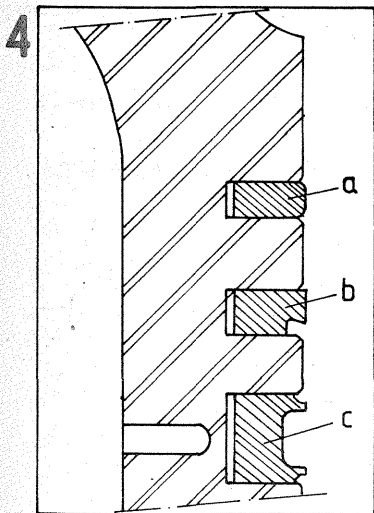
Totodată este necesar a se respecta condiția ca știftul crestat de oprire al segmentului raclor să fie întotdeauna îndreptat în sus. **CHIULASELE** cu camera de ardere de formă semisferică, sînt confecționate din aluminiu. La montarea lor trebuie să se respecte ordinea de stringere (fig. 5) și cuplurile de stringere preliminară



sele de reparație. Bolțurile pistoanelor sînt montate liber (flotante),

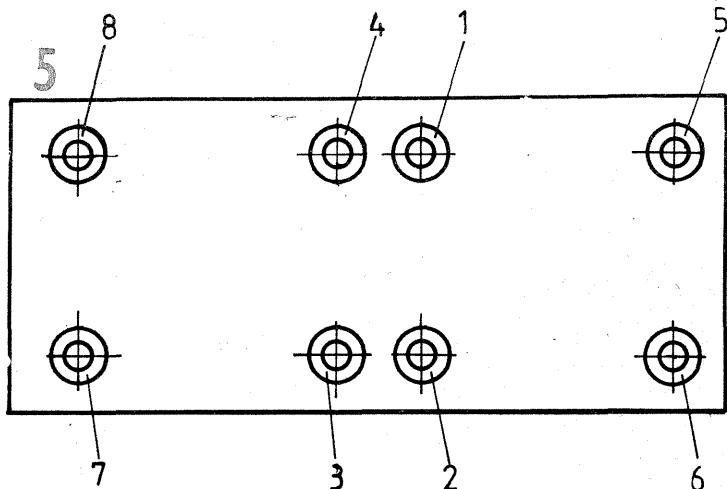
(0,8—1 daN.m) și definitivă (2—2,5 daN.m). **SUPAPELE.** Atît cele de admisiune cît și cele de evacuare sînt fabricate la I.A.—Pitești (Topoloveni) sau TEVES, avînd parametrii: diametrul talerului, în mm (39 la admisiune și 34 la evacuare); diametrul tijei, în mm $8 \pm_{0,020}^{0,005}$ la admisiune și $8,5 \pm_{0,036}^{0,021}$ la evacuare; lungimea, în mm (97,4 la admisiune și 96,3 la evacuare); unghiul, în grade (120 la admisiune și 90 la evacuare).

Înlocuirea supapelor gripate sau uzate se face clasic, fără a ridica probleme deosebite; pentru aceasta însă, este necesar ca lucrarea să fie făcută în atelier specializat dotat cu utilaje, piese de schimb și personal competent. **RESORTURILE DE SUPAPE.** Se folosește un singur tip de resort pentru evacuare și admisiune, cu lungimile următoare sub sarcină: 32 mm la $F_1 = 25,4 \pm 2,5$ kgf și 24 mm la $F_2 = 59,6 \pm 2$ kgf și sensul de înfășurare pe stînga. În caz de rupere a lor, de asemenea pot fi înlocuite clasic. **SCAUNE ȘI GHIDURI DE SUPAPE.** În figura 6 s-au notat: 1 — chiulasă; 2 — ghid supapă de evacuare; 3 — supapă de evacuare; 4 — scaun supapă de evacuare; 5 — scaun supapă de admisiune; 6 — ghid supapă de admisiune; 7 — supapă de admisiune; 8 — segment de compresie (foc); 9 — segment raclor; 10 — segment de ungere; 11 — siguranță bolț (ax piston); 12 — bolț (ax) piston; 13 — bușă picior bielă; 14 — piston; 15 — bielă. Alezajul ghidurilor de supape are valorile, în mm: $8 \pm_{0,010}^{0,030}$ (pentru admisiune) și $8,5 \pm_{0,010}^{0,015}$ (la evacuare). Lățimea suprafețelor de lucru, în mm: 1—1,4 la admisiune și 1,4—1,8 la evacuare.



5 mm (umărul contrapiuliței către fuelle).

UNGUREA MOTORULUI. Constructorul recomandă folosirea strictă a uleiului 15 W40, fabricat în R.S.R., în toate anotimpurile, precum și a altor uleiuri străine similare. Orice altă experiență scoate motorul din garanție și constructorul din cauză. Capacitatea carterului motor este de: 4 l (după demontare), 3,5 l (după golire), iar între minimumul și maximumul joiei — 0,5 l. Este foarte important a se cunoaște cantitatea de ulei necesară la înlocuirea numai a uleiului motor (3,4 l) și a uleiului împreună cu filtrul de ulei (3,7 l), deoarece o cantitate mai mare de ulei face să fie antrenat (prin conductele 6, 2 și separatorul de ulei 3) către filtrul de aer 1 (fig. 2), care va fi îmbibit rapid și apoi colmatat cu particule de praf și alte impurități. (O dată colmatat,



CULBUȘOARELE. Jocul normal — la rece — este de 0,20—0,25 mm (admișiune și evacuare). Identificarea, la montare, a axelor pentru culbușoare: axul admișiune stânga identic cu axul de evacuare dreapta (fără reper); axul admișiune dreapta identic cu axul de evacuare stânga (gaură înfundată în mijlocul axului). **DISTRIBUȚIA.** Jocul axial al arborilor cu came este nereglabil, în mm: 0,05—0,15. Reglajul teoretic al distribuției (joc de 1 mm între culbușoare și supapele de admișiune și evacuare). Identificarea arborilor cu came se face astfel: pe arborele dreapta se află excentricul pentru acționarea pompei de benzină, iar pe cel stânga cuplajul pentru acționarea ruptor-distribuitorului. Admișiune ($4^{\circ}10' \pm 1^{\circ}30'$ — avansul la deschidere și $31^{\circ}50' \pm 1^{\circ}30'$ — întârziere la închidere) și evacuare ($36^{\circ}10' \pm 1^{\circ}30'$ — avantajul la deschidere și $0^{\circ}10' \pm 1^{\circ}30'$ — avansul la închidere).

Curelele de distribuție. Pentru montarea lor corectă, constructorul a prevăzut o reperare (linii de culoare albă) care, dacă datorită unei funcționări îndelungate nu se mai distinge, trebuie respectate condițiile de mai jos (figura 7, în care: 1 — două roți dințate montate pe arborele cotit — pozițiile 2 și 3, fig. 8; 2, 6 — galeți întinzători; 3, 8 — roți de distribuție, montate în capătul arborilor cu came; 4 — roată de distribuție; 5 — curea de distribuție stânga; 7 — curea de distribuție dreapta); numărul de pași (93 — cureaua dreapta; 105 — cureaua stânga); pasul $P=9,525$ mm; unghiul flancului danturii $\alpha=40^{\circ} \pm 3'$.

VENTILATORUL. Este o piesă foarte importantă deoarece asigură răcirea forțată a aer a motorului (figura 8, în care: 1 — arbore cotit; 2, 3 — roți distribuție; 4 — piuliță; 5 — contrapiuliță; 6 — fuelle ventilator; 7 — rac) și are parametrii: diametrul exterior, în mm (290), numărul de paletă (9). Calarea racului pentru manivelă se face astfel: la punctul extrem al pistonului (PMI), dinții racului trebuie să fie orizontali. Condiție de montaj: lungimea filetată a racului manivelei, rămasă în afara piuliței, să fie de

elementul filtrant nu mai poate fi curățat cu aer sub presiune, ci trebuie înlocuit. O parte din ulei va fi antrenat sub formă de particule în aerul proaspăt care, prin conducta 4, intră în carburatorul 5 și în continuare în camera de ardere, unde poate conduce la ancrasarea bujiilor. Spălarea elementului filtrant, de asemenea, nu dă nici un rezultat.) În mod normal, elementul filtrant se curăță cu aer comprimat la fiecare 15 000 km, iar la 30 000 km se înlocuiește. Uleiul motor se înlocuiește la fiecare 7 500 km. Cu toate că, datorită calităților de excepție ale uleiului aditivat, corespunzător solicitărilor de temperatură și presiune din motor, periodicitatea de schimb este satisfăcătoare și la 10 000 km (încercări efectuate în laboratoarele Citroën), în zone cu mult praf sau la solicitări anormale ale motorului, această periodicitate poate fi redusă în mod corespunzător. La temperatura de $80^{\circ}C \pm 5^{\circ}C$, presiunea uleiului trebuie să fie de 4,7 bari minimum (la 2 000 rot/min) și de 6,2—7 bari la 6 000 rot/min. Tararea man-contactului de presiune a uleiului este de la 0,5 la 0,8 bari. În revistele „Tehnum” nr. 7 și 8/1984 s-au prezentat piesele componente și circuitul de ungere ale motorului M-036. Ulterior se vor prezenta unele observații privind etanșarea motorului, legate tocmai de pierderile de ulei de ungere din motor.

(CONTINUARE ÎN NR. VIITOR)

Rugăm cititorii revistei care dorec să trimită materiale spre publicare să le redacteze clar și inteligibil, să prezinte atât modul de funcționare al montajului, cât și detaliile constructive și de reglaj. Totodată să fie consemnate rezultatele măsurătorilor și tipul instrumentelor de măsură utilizate, acolo unde este cazul.

Schemele executate conform normelor STAS, să albă trecute tipul și valoarea pieselor componente, valorile ale tensiunilor și curenților în diferite puncte.

(URMARE DIN PAG. 7)

În continuare, cu panta acordului fin din tabelul 2, rezultă:
 $(-\Delta f/\Delta C^T) = 0,01057 f_m / C_m^T =$
 $= 0,01057 \cdot 3,5 \cdot 10^6 / 280 = 132 \text{ Hz/pF};$
 $\Delta C_{(pF)}^T = -\Delta f_{(Hz)} / 132 =$
 $= -(-6 \times 10^3) / 132 = 45 \text{ pF}.$

Se alege pentru condensatorul de acord fin unul cu o capacitate $C^F = 10 \text{ pF} - 100 \text{ pF}$, schema practică pentru C^T fiind cea din figura 5b, cu

$$C^T = C_0^T - (C_m^F + C_m^T) / 2 =$$

$$= 1530 - 55 = 1475 \text{ pF}.$$

Calculul inductanței L este imediat, plecând de la formula:

$$L = [(2\pi f_m)^2 C_m^T (1 + C_0^T / C_m^T) / (2\pi f_m + C_0^T / C_m^T)]^{-1} = 8,53 \mu\text{H}.$$

În final, schéma completă a unui posibil oscilator folosind circuitul de acord astfel dimensionat este prezentată în figura 6.

TABELUL 2

f_m/f_m	C_m^T/C_m^V	C_0^T/C_m^V	ξ (%)	$(-\Delta f/\Delta C^T) 2C_m^T/f_m$
1,1	1,25	4,08	0,22	0,03243
1,2	1,53	4,52	0,81	0,02794
1,3	1,84	4,98	1,7	0,02423
1,4	2,18	5,46	2,7	0,02114
1,5	2,56	5,95	3,9	0,01860
1,6	2,97	6,45	5,2	0,01647
1,7	3,41	6,96	6,6	0,01466
1,8	3,89	7,49	8,0	0,01312
1,9	4,40	8,03	9,5	0,01180
2,0	4,95	8,59	10,9	0,01064
2,2	6,14	9,73	13,9	0,00876
2,4	7,47	10,92	16,8	0,00732
2,6	8,95	12,15	19,7	0,00619
2,8	10,56	13,43	22,5	0,00528
3,0	12,31	14,76	25,2	0,00455

(URMARE DIN PAG. 11)

nea componentei de zgomot și brum.
 Atunci când coeficientul de distorsiuni este mic, valoarea lui se poate aproxima foarte bine cu relația:

$$K = \sqrt{\frac{V_1^2 + V_2^2 + V_3^2 + \dots + V_n^2 + N^2}{V_1^2 + V_2^2 + V_3^2 + \dots + V_n^2}} \cdot 100$$

măsurată, spre exemplu, cu un distorsiometru de tip EO706.

Coeficientul de distorsiuni al lanțului electroacustic reprezintă o medie pătratică a coeficienților fiecărei componente:

$$K = \sqrt{\sum_{i=1}^n K_i^2}$$

De aici rezultă că, pentru obținerea unei audiții HI-FI, amplificatorul trebuie să prezinte un factor de distorsiuni minim, deoarece doar aici se pot lua măsuri pentru micșorarea coeficientului de distorsiuni global. Ceilalți coeficienți sînt de natură industrială (datorati fabricantului de magnetofon, casetofon, pickup și deci nu se pot modifica). Standardul DIN 45.500 normează un amplificator HI-FI avînd un coeficient de distorsiuni mai mic de 0,7% în intervalul 40 Hz-4 000 Hz și de maxim 1% în întreaga bandă audio, la puterea

nominală a amplificatorului. În prospectele firmelor de specialitate, coeficientul total de distorsiuni al unui amplificator este notat cu inițialele THD (total harmonic distortion). Avînd în vedere faptul că urechea umană sesizează distorsiunile începînd de la 2%, se observă importanța obținerii unui lanț electroacustic cu un THD cît mai mic. Să nu uităm că la puteri mai mici decît cea nominală, THD-ul scade parabolic. De aceea, pentru păstrarea unei dinamici naturale a programului sonor audiat, amplificatorul nu se va folosi niciodată la puterea nominală și va fi astfel dimensionat încît să prezinte o rezervă de putere corespunzătoare.

Constructorul amator va ține seama de toate elementele prezentate, în mod obligatoriu, pentru a obține un lanț electroacustic HI-FI cu performanțe cît mai apropiate de cele ale firmelor de specialitate.

BIBLIOGRAFIE

- WIRELESS WORLD, 1976
- STEREO REVIEW, 1981
- FUNKSCHAU, 1982
- CATALOG I.E.M.I., 1983

(URMARE DIN PAG. 13)

Programarea de înregistrare a emisiunilor dorite poate porni de la programe de 24 ore și poate ajunge la 7—14 zile sau chiar mai mult, pe 2; 4; 8 programe sau mai mult.

Casetele preînregistrate au durată în funcție de programul înregistrat (film, concert etc.). La achiziționare trebuie urmărit ca aceste programe să fie înregistrate pe casete în sisteme compatibile cu videocasetofonul pe care îl posedăm pentru a putea fi vizionate și audiate.

8. CONCLUZII

Videocasetofonul este o instalație foarte complexă, atât ca mecanică, cît și ca electronică, necesitînd piese de mare precizie și o tehnologie de execuție foarte sofisticată. Depanarea se poate face numai de către un specialist.

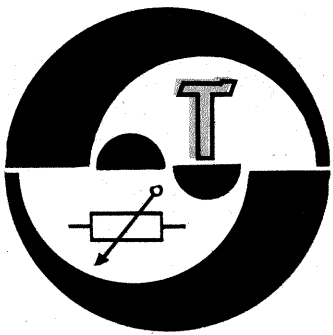
Defecțiunile ce pot fi produse prin intervenția unor „specialiști” de oca-

zie pot fi ireversibile, datorită lipsei pieselor de schimb și necesității unor echipamente de service foarte complexe pentru reglaje.

Printr-o exploatare corectă a acestor aparate, datorită robusteții și fiabilității ridicate, ele pot aduce satisfacție deplină deținătorului.

BIBLIOGRAFIE

- 1. Leonard Martin și Allan Greenfield, The Complete Guide to Home Video, Harmony Book, N.J., 1981, S.U.A.
- 2. M.V. Gitliț, L.G. Lișin, Videomagnitofoni i ih primenenie, Moskva, 1980, U.R.S.S.
- 3. Colecția HI-FI și Stereo-Revue, 1984, S.U.A.
- 4. Cataloge de produse JVC, AKAI, Panasonic, Grundig, Philips.
- 5. Operating Instructions National Panasonic Matsushita Electric Trading Co., Ltd., Japonia.



LENTILA ADIȚIONALĂ

VIOREL OLTEANU

Fotoamatorii puși în situația să fotografieze cu ajutorul inelelor intermediare au avut ocazia să constate astfel și dezavantajele folosirii acestora: montarea lor necesită un număr mare de mișcări (demontarea obiectivului, montarea inelului sau a inelelor, remontarea obiectivului ș.a.m.d), iar pe perioada cât sînt montate inelele, aparatul nu poate fi folosit pentru alt gen de fotografie decît după un timp care uneori poate fi prețios. Bineînțeles că nu intră în discuție situațiile în care fotografiem timbre, cărți poștale sau tablouri, situații care necesită numai inele distanțiere, ci și timp mai mult de lucru. Este vorba de situațiile în care fotografiem flori sau insecte în timpul unei excursii (excursii care ne obligă să nu facem numai macrofotografii). Montajul mai jos descris înlătură toate aceste neajunsuri.

1. Prezentare generală și domeniu de folosință. Lentila adițională este fixată într-o montură filetată, astfel încît să poată fi prinsă în filetul pentru filtre al obiectivului. Prin montarea lentilei adiționale în fața obiectivului scade distanța minimă de fotografiere (corespunzător cu distanța

totală a lentilei), permițînd macrofotografierea fără ajutorul inelelor distanțiere.

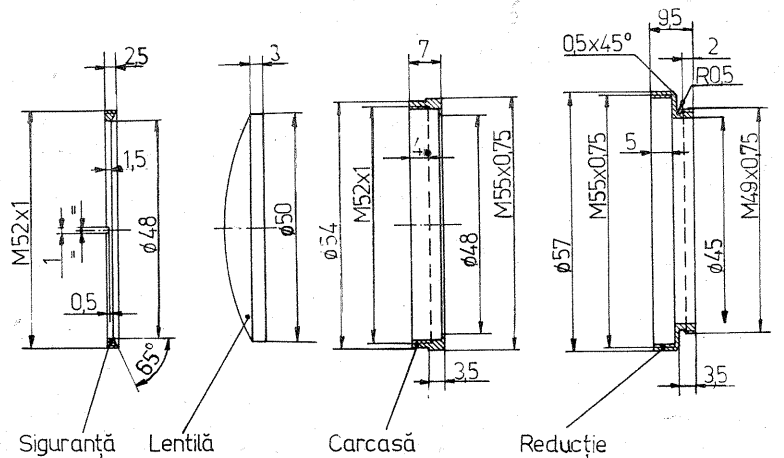
2. Materiale necesare. Pentru confecționarea lentilei adiționale este necesar să ne procurăm o lentilă plan-convexă sau biconvexă (cu cît lentila va avea distanța focală mai scurtă, cu atît va mări mai mult). Se pot folosi în acest scop și lentilele condensor care se găsesc în magazinele foto. În nici un caz nu se vor folosi lentilele menisc pentru ochelari, deoarece acestea deformează puternic imaginea spre margini. Mai este necesară o bară de oțel sau aluminiu cu diametrul de cel puțin 57 mm, din care se vor confecționa carcasa și siguranța.

3. Execuție. În desen sînt indicate cotele pentru o lentilă polizată la $\varnothing 50$ și o carcasă cu filet M55 x 0,75, necesar prinderii în montura unui teleobiectiv mediu (de exemplu, Pentacon auto 2,8/135). Pentru fixarea lentilei adiționale într-un obiectiv normal cu filet pentru M49 x 0,75, în desen se arată construirea unei reducții de la M55 x 0,75 la M49 x 0,75. Diferența dintre diametrul lentilei și cel interior al carcasei (diametrul de fund al părții filetate

la M52x1) permite corectarea eventualelor diferențe dintre centrul optic și centrul geometric al lentilei. După verificarea coincidenței centrului optic cu centrul geometric, lentila se întepeneste în carcasa cu ajutorul a trei pene mici din lemn dispuse la 120° (se pot folosi capetele unor scobitori) și prin strîngerea siguranței. Siguranța este prevăzută cu două șlișuri în care se pot introduce ciocurile unui șubler deschis la diametrul corespunzător, puțînd astfel înfuleta siguranța în ciuda dimensiunilor ei mici. În cazul cînd piesele se execută din aluminiu, acesta se va eloxa negru, iar în cazul executării din oțel, se vor brună. În acest ultim caz se vor lăsa părțile filetate puțin unse pentru a înlesni montarea siguranțelor sau a carcasei pe obiectiv.

4. Mod de folosire și observații generale. Folosirea lentilei adiționale exclude numărul mare de manipulari necesare în cazul fotografierii cu inele distanțiere. Practic, în momentul cînd dorim să facem o

macrofotografie, nu avem altceva de făcut decît să montăm lentila adițională în fața obiectivului. Fotoamatorii mai pretențioși își pot confecționa seturi de lentile pentru diferite trepte de mărire, așa cum și inelele distanțiere asigură diferite trepte de mărire. Carcasa a fost prevăzută cu filet M55 x 0,75 întrucît, dacă distanța minimă de fotografiere cu un teleobiectiv mediu este de 1,20 m... 1,70 m, cu lentila adițională montată această distanță scade la 12... 20 cm, în funcție de distanța ei focală. O dată montată lentila adițională, se poate modifica gradul de mărire prin rotirea inelului distanțelor de pe obiectiv și apropierea sau depărtarea aparatului de obiectiv de fotografiat, așa cum procedăm în cazul oricărei alte fotografii. Lentila adițională are un gabarit mai mic decît un set de inele distanțiere și, chiar în cazul confecționării pieselor componente din oțel, greutatea este comparabilă, iar procesul fotografierii nu va fi îngreunat cu nimic.



PREAMPLIFICATOARE

Ing. IANCU ZAHARIA

Amplificatorul de audiofrecvență cu puterea nominală de 10 W, produs de I.P.R.S.-Băneasa, livrat sub forma componentelor detașate, necesită la intrare un semnal cu tensiunea de 1-1,5 V, obținut la ieșirea aparatului radioelectronice dotată cu circuite amplificatoare proprii. Conectarea la intrarea amplificatorului a transducerelor electroacustice este posibilă prin intercalarea unui preamplificator adecvat, alimentat din redresorul care alimentează amplificatorul, cu tensiunea continuă de 20 V și polul negativ la masa montajului.

Schema electrică din figura 1 reprezintă un preamplificator destinat semnalelor slabe, cu amplitudinea de ordinul a 10 mV, generate de un microfon electrodinamic sau piezoelectric. Schema oferă raportul bun de 78 dB între semnal și zgomot, datorită curentului mic de colector al tranzistorului T_1 , de 25 μ A, și tensiunii colector-emitor a acestui tranzistor, de 2 V. Stabilizarea termică a montajului este asigurată de bucla reacției negative în curent, materializată prin rezistența R_5 .

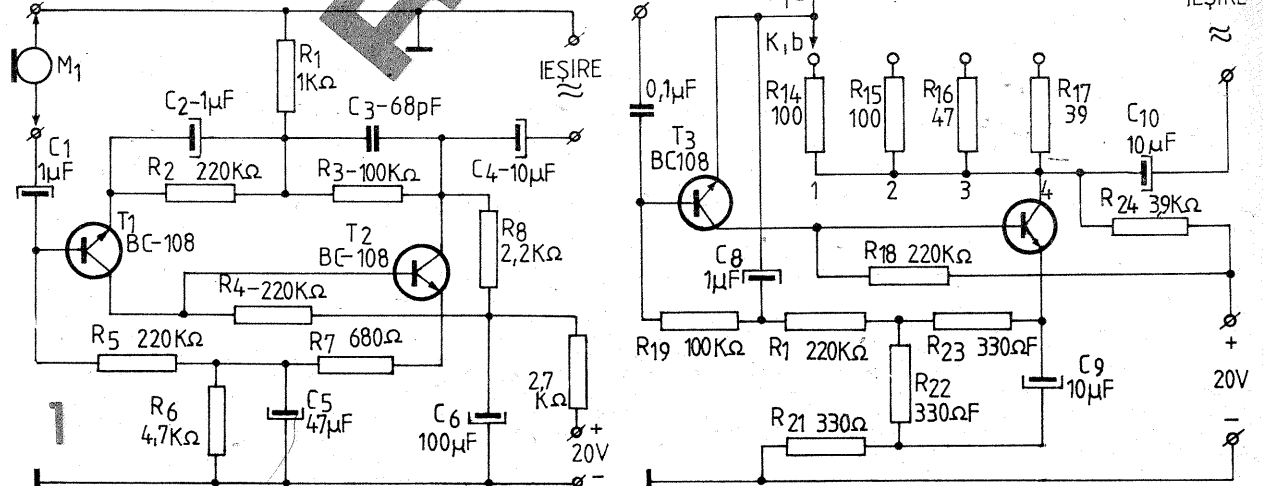
Factorul de amplificare în alternativ al montajului (40 dB) este determinat de raportul R_1/R_1 și stabilizat de capacitatea C_2 . Pentru tensiunea de ieșire de 1 V, la nivelul tensiunii de intrare de -3 dB, impedanța microfonului M_1 poate varia între 600 și 50 000 Ω . Banda de frecvențe acoperă intervalul între 25 și 24 000 Hz, limita superioară depinzînd de capacitatea C_3 . Impedanța de intrare a montajului este de 200 k Ω , iar cea de ieșire

de 2 k Ω , permite cuplarea preamplificatorului la intrarea oricărui amplificator de audiofrecvență.

În aceeași parametri funcționali se încadrează și schema electrică a preamplificatorului universal, prezentată în figura 2, care permite amplificarea individuală a semnalelor de audiofrecvență provenite de la diferite transductoare electroacustice, conectate la intrare, în funcție de

poziția comutatorului bipolar K_1 .

În poziția 1, amplificarea montajului este de 40 dB și impedanța de ieșire de 200 k Ω pentru poziția 2, acești parametri au valorile de 34 dB și respectiv 350 k Ω . Pentru poziția 3, parametrii capată valorile de 26 dB și 1 M Ω , iar pentru poziția 4 valorile de 20 dB și 2 M Ω .



SUPRAVEGHETOR ELECTRONIC

Ing. C. RĂMBU

În cazul în care mamele cu copii mici se află în alte camere (bucătărie, sufragerie, baie etc.), iar copiii rămân nesupravegheați, dispozitivul descris mai jos le facilitează supravegherea prin intermediul unui aparat de radio sau radiocasetofon dotat cu unde ultrasonice, portabil, alimentat la rețea sau baterii.

MODUL DE UTILIZARE. După așezarea dispozitivului într-un loc ferit de curiozitatea copiilor, de preferință cu antena verticală (agățat de ochiul antenei), se comută între-rupătorul pe poziția de funcționare, moment în care acesta emite semnalele captate de capsula microfonică înglobată (tip 23 S, Philips, aflată în magazinele de specialitate).

Aparatul de radio (în altă cameră), fixat din butonul de acord pe frecvența de 68—69 MHz, între programul II TV și programul III radio, va recepționa în permanență manifestările copiilor: plîsetul sugarilor, cearta sau bătaia fraților etc., moment în care mama poate interveni cu promptitudine.

Dispozitivul poate fi utilizat și pentru înregistrarea pe casetă a semnalelor emise, cît și ca microfon portabil pentru amuzament în locuință, în vacanțe, excursii etc. (fig. 3).

Trebuie menționat faptul că acest dispozitiv este un emițător de foarte mică putere, a cărui „bătăie” nu depășește 10—15 m, la un consum de 5 mA din bateria de 9 V.

SCHEMA ELECTRICĂ, ASAMBLAREA ȘI REGLAJUL.

Schema electrică a dispozitivului este arătată în figura 1. Bobina are 8 spire din cupru argintat Ø1 mm, antena cuplîndu-se la a patra spirală. Bobinarea se face în aer, cu diametrul de 8 mm și pasul de 1 mm. Condensatorul semireglabil este

de tip tubular, ceramic, iar celelalte sînt de tip plachetă, la 30 V. Rezistoarele sînt de 0,12 W, cu pelicula de carbon.

Antena este un conductor lițat, izolat, cu secțiunea de 1 mm², cu lungimea de 30—40 cm, care se termină cu un ochi pentru agățare (verticală). Microfonul M este o capsulă miniatură cu preamplificator înglobat, potrivit pentru care a fost necesară polarizarea acestuia prin rezistorul de 22 kΩ.

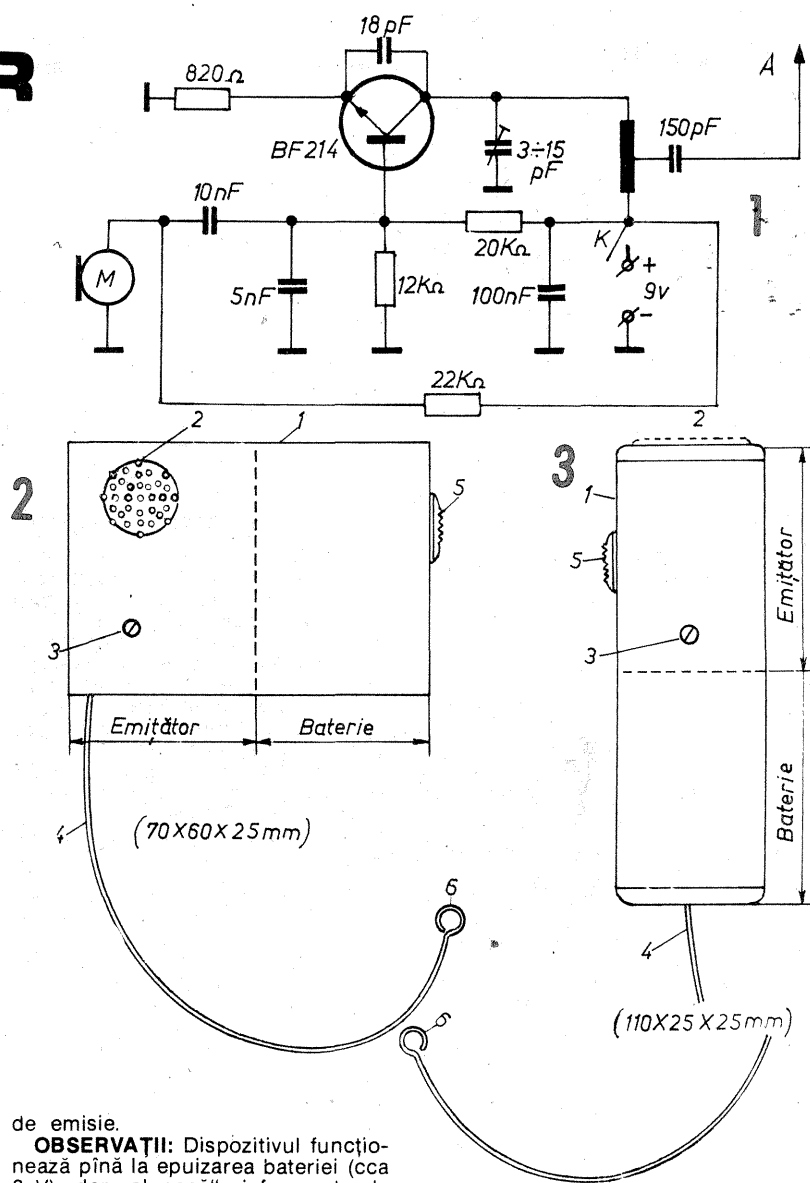
Montarea pieselor se execută pe o placă de circuit imprimat sau prin metoda „Tinkertoy”, după care se ecranează cu tablă cositorită, avînd grijă ca microfonul și condensatorul semireglabil de 3÷15 pF să fie pe aceeași parte și accesibile din exterior.

Cutiile exterioare pot avea aspectul din figura 2 sau figura 3, după preferințele constructorului amator și modul de utilizare a dispozitivului.

Reglajul emițătorului se efectuează astfel: se fixează aparatul de radio ca mai sus; se alimentează emițătorul din butonul 5; se ajustează condensatorul semireglabil pînă cînd în difuzor se aud zgomotele produse de șurubelniță — reglaj brut; se reglează fin, cu o șurubelniță din os, avînd emițătorul în altă cameră unde există o sursă de sunete (prin tatonare), pînă cînd frecvența de lucru rămîne fixă (68 MHz sau 69 MHz).

DETALII LA FIGURILE 2 ȘI 3:

- 1 — corpul dispozitivului (cutie masă plastică);
- 2 — orificii practicate în dreptul capsulei microfonice;
- 3 — miezul de alamă al semireglabilului;
- 4 — antena de emisie;
- 5 — ochiul de agățare al antenei



de emisie.

OBSERVAȚII: Dispozitivul funcționează pînă la epuizarea bateriei (cca 3 V), dar „alunecă” și frecvența de lucru, motiv pentru care, pe măsura uzării bateriei, trebuie refăcut reglajul din condensator astfel încît să se păstreze 68 sau 69 MHz, pentru a

nu deranja recepția pe UUS.

BIBLIOGRAFIE:

I. Mihăescu, „Un tranzistor, două tranzistoare”

CONFECTIONAREA ABAJURURILOR

Ing. VIOREL RĂDUCU

În figura 1 se arată unele modele de abajururi, al căror cadru se poate confecționa din sîrmă de 3—4 mm grosime, țevi subțiri de PVC sau metalice, nuiele de răchită etc.

Abajururile au, în mod obișnuit, aceleași părți componente. Așa cum se observă din figură, cadrul unui abajur cuprinde: o ramă inferioară 1, o ramă medie (în unele cazuri), o ramă superioară 2, brațele 3, un cîrlig de susținere 4 și traversele 5. În interiorul abajurului se introduce becul electric 6, susținut de un conductor izolat 7, care se înfășoară pe cîrligul de susținere 4. În exemplele de abajururi din figura 2 nu sînt precizate dimensiunile, deoarece acestea se pot stabili ușor, în funcție de locul în care se montează abajurul respectiv (în hol, dormitor, sufragerie, camera copiilor etc.), de înălțimea și dimensiunile încăperii și, bineînțeles, de dorința constructorului amator. Se va ține seama, de asemenea, de dimensiunile materialului pe care îl avem la îndemînă pentru învelirea cadrului metalic al abajurului.

După ce se alege modelul de abajur care se va construi, acesta se desenează pe o hîrtie, la scara 1:1, apoi se măsoară direct pe desen și se notează dimensiunile tuturor părților componente. Se taie bucățile de sîrmă necesare, se îndoaie la

forma din figură și se assemblează între ele prin lipire cu cositor. Cadrul metalic al abajurului se înfășoară apoi după caz, cu fire de hîrtie colorată, pergament sau carton, care se lipește între ele, cu bucăți de pînză albă sau colorată, pictată chiar de constructorul amator cu diferite modele geometrice, florale sau animale, ori cu fișii de muselin, mătase, dantelă etc., care se cos între ele; cu rafie, papură, sfoară colorată, fire de melană etc., care se împletesc, fie pe orizontală, fie pe verticală, pe tot cadrul metalic ori numai pe anumite porțiuni. Dacă abajurul se confecționează din hîrtie albă, hîrtia se croiește mai întîi în forma dorită, apoi se copiază pe ea desenele preferate și se colorează. După ce culorile s-au uscat, se aplică ulei de in pe dosul întregii hîrtii, în cîteva straturi. Se aplică un nou strat numai după ce stratul anterior s-a uscat. Uleiul face hîrtia de desen transparentă. Învelitoarea de hîrtie astfel pregătită se coase apoi pe cadrul metalic al abajurului.

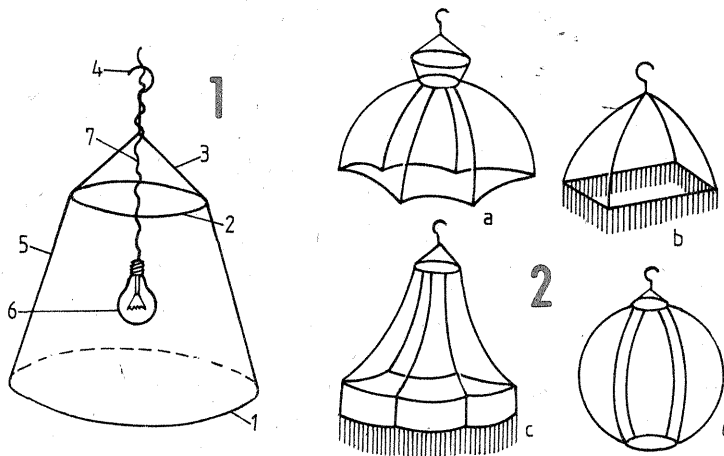
Abajurul din carton subțire de culoare gălbuie se confecționează din mai multe bucăți, fiecare bucată fiind cu 1—2 cm mai mică pe latură decît despărțiturile cadrului metalic. Se găurește pe margini fiecare bucată de carton cu ajutorul unui perforator. Găurile se fac la distanțe

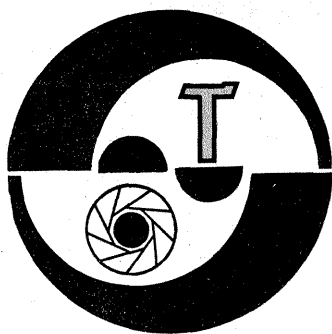
egale. Se pictează cartonul sau se lipește pe el diferite poze. Se prinde apoi abajurul direct pe sîrma carcsei cu un șnur subțire, colorat, trecîndu-l prin găurile cartonului și peste sîrmă. Abajururile din carton se folosesc în special în camera copiilor.

Abajurul din pergament se poate face buclat sau plisat. Pentru abajurul buclat se taie o fișie de pergament de lungime egală cu o dată și jumătate perimetrul ramei inferioare, iar pentru cel plisat de trei ori perimetrul ramei inferioare. În cazul abajurului plisat, pergamentul se îndoaie sub formă de pliuri de 3—4 cm, ca o armonică. În mijlocul fiecărei bucle sau pliuri se dau mici găuri cu un poanson sau un cui, la distanță de circa 8 cm de marginea de sus a abajurului. Prin aceste găuri se trece un șiret sau un șnur

colorat, avînd grijă să se aranjeze buclele sau pliurile în mod uniform în jurul cadrului metalic. Învelișul de pergament se aplică în modul descris mai sus numai în cazul în care carcșelor cu muchii drepte, peste care pergamentul se așază ca o pălărie. Abajururile din pergament se folosesc în camerele de zi.

Abajururile din mătase, muselin, dantelă, pînză pictată etc. se fixează prin coasere direct pe sîrma cadrului. Materialul se va încreți cu atît mai mult cu cît este mai subțire. Pentru a spori rezistența materialului în locurile de contact cu buza de sîrmă a cadrului, se aplică pe dedesubt o întăritură din șiret de aceeași culoare. La partea superioară și la cea inferioară se face cîte un volanas. Astfel de abajururi se folosesc în special în încăperile de dormit.





ALEGEREA OREI

Cititorul este desigur familiarizat cu noțiunea de temperatură de culoare aferentă calității luminii, precum și cu necesitatea echilibrării peliculelor color în funcție de tipul de iluminare (artificială sau naturală).

Mai puțin cunoscut este însă faptul că și o aceeași sursă de lumină prezintă modificări structurale și cantitative într-un interval oarecare de timp. Astfel, lumina dată de un bec cu incandescență își modifică temperatura de culoare pe măsura utilizării sau în funcție de modificările tensiunii rețelei electrice. În acest caz, însă, pe perioada unei sesiuni de fotografiere se poate conta pe o calitate cvasiconstantă a luminii sursei folosite. Nu același lucru se poate spune despre lumina naturală, în speță lumina furnizată de Soare.

S-ar putea ca afirmația anterioară să pară paradoxală, dat fiind faptul că ochiul uman oferă o imagine permanent controlată și interpretată de creier, avem senzația unei constante în modul de redare a culorilor, cu excepția momentelor extreme, respectiv la răsărit și apus.

În realitate, compoziția spectrală a luminii solare variază pe parcursul zilei, fapt sesizat în mod obiectiv de pelicula fotografică color pe care apar dominante diferite în funcție de ora la care s-a făcut fotografierea.

Ca principiu, lumina Soarelui este mai „albă” spre prinz și mai „colorată” la răsărit și apus, când radiațiile roșii, galbene, portocalii devin mai pregnante.

În figura 1 sînt redată trei curbe realizate prin măsurarea energiei radiată de Soare la diverse ore ale zilei, energie raportată la lungimile de undă din spectrul vizibil.

În tabelul 1 este redată procentual compoziția spectrală orientativă a luminii solare (după E. Iofis) în

Ing. VASILE CĂLINESCU

funcție de înălțimea Soarelui pe cer.

Se remarcă din curbele de repartiție că, din punct de vedere energetic, lumina albă are maximumul în zona albastrului, pe cînd lumina la răsărit și apus are maximumul corespunzător zonei roșu-galben.

Pentru rigurozitate trebuie adîncită analiza, făcînd distincție între lumina Soarelui și lumina cerului. Lumina de zi este rezultanta amestecului dintre cele două surse de lumină naturală. Pe cînd lumina solară propriu-zisă are circa 4 000 K, lumina cerului variază între 5 000 K pe vreme înnorată, pînă la 10 000 K sau mai mult, cînd cerul este neacoperit de nori. Lumina utilă nouă este un amestec dat de cele două surse de lumină naturală, convențional considerîndu-se rezultanta medie de 5 500 K.

Lumina cerului există practic tot timpul. Noaptea lumina cerului apare albastră datorită efectului Purkinje, deși în realitate conține o mare cantitate de radiații roșii.

Luna, pe de altă parte, dă o lumină cu aproximativ aceeași compoziție spectrală cu lumina cerului de zi acoperit.

Intensitatea luminii Soarelui și a luminii cerului în lumina de zi este redată în tabelul 2.

Se observă din analiza acestui tabel stabilizarea intensității luminii în perioada de amiază în corespondență cu stabilizarea compoziției spectrale a luminii (vezi tabelul 1).

În tabelul 3 sînt date valorile relative ale repartiției spectrale a energiei luminoase corespunzător luminii solare, luminii cerului și luminii de zi (după A.H. Taylor și G.A. Kerr). Raportarea se face față de energia corespunzătoare lungimii de undă de 550 nm, considerată 100%.

Pentru a completa informațiile date s-a notat în tabelul 4 intensitatea luminii Lunii în plină noapte.

TABELUL 1

Zona spectrală	Înălțimea Soarelui față de orizont					
	1°	5°	10°	30°	60°	90°
Roșu	84	47	36	29	29	28
Galben	13	34	33	31	30	29
Verde	3	14	20	23	22	22
Albastru	—	4	7	11	12	13
Violet	—	1	4	5	7	8

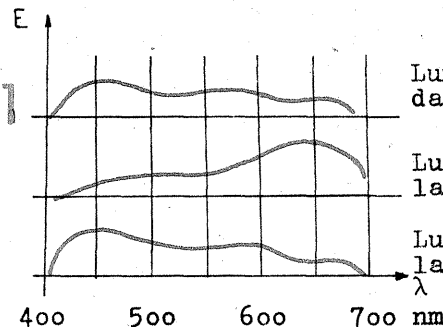
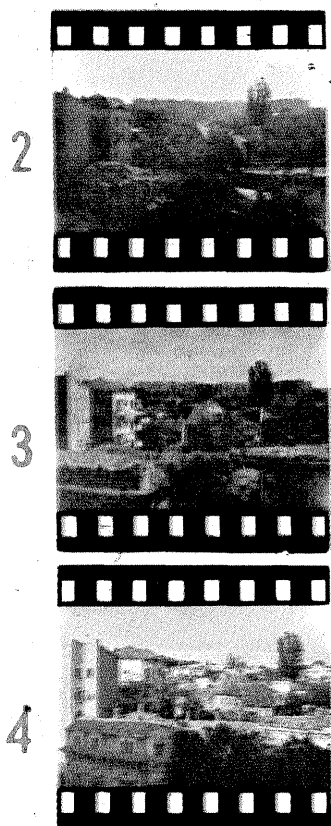
TABELUL 2

Înălțimea Soarelui	Intensitatea luminii în 10 ³ lx (%)		
	Lumina Soarelui	Lumina cerului	Lumina de zi
5°	1 (17)	5 (83)	6
10°	6 (46)	7 (54)	13
20°	22 (69)	10 (31)	32
30°	40 (77)	12 (23)	52
40°	57 (81)	13 (19)	70
50°	72 (83)	15 (17)	87
60°	85 (85)	15 (15)	100
70°	94 (85)	16 (15)	110
80°	99 (85)	17 (15)	116
90°	101 (86)	17 (14)	118

„Lumina de noapte” corespunzătoare va fi însă cu circa 0,0018 lx mai mare, respectiv cu valoarea luminii cerului noaptea (cer fără nori).

După cum se poate constata fotografiind un același subiect și excluzînd impresia dată de umbre, rezultatele vor diferi, pelicula înregistrînd compoziția spectrală a luminii prin dominante corespunzătoare abaterii de la temperatura de culoare pentru care a fost echilibrată. Desigur, imaginea va fi influențată și de fenomenele atmosferice specifice (de exemplu, ceață, brumă dimineața, praf atmosferic în cursul zilei etc.).

Un exemplu modest ilustrînd cele spuse îl reprezintă cele trei fotografii realizate la ore diferite. Astfel, în figura 2 s-a fotografiat dimineața la ora 8. Culoarele pastelate sînt specifice dimineții, cînd predomină un anumit voal atmosferic. Următoarea imagine, realizată în jurul orei 11, este mult schimbată. Voalul a dispărut și contururile sînt mai dure. Ultima figură, 4, redă același subiect fotografiat la ora 14. Schimbarea aspectului este radicală. Lumina inundă clădirile, culorile devin saturate și strălucitoare. Blocurile din ultimul plan apar clare, cu multe detalii.



Lumina medie dată de soare

Lumina de zi la apusul soarelui

Lumina de zi la prînz

Ca o concluzie unică putem spune că alegerea orei de fotografiere trebuie să devină o compo-

nență principală în actul de realizare a fotografiei de calitate.

TABELUL 3

Lungimea de undă (nm)	Lumina Soarelui (%)	Lumina cerului (%)	Lumina de zi (%)
400	50	168	65
420	70	162	87
440	80	161	94
460	92	164	107
480	98	151	108
500	100	130	104
520	92	114	98
540	100	105	99
550	100	100	100
560	98	94	100
580	96	83	95
600	94	72	90
620	91	65	88
640	87	58	85
660	85	53	82
680	90	48	82
700	87	43	78

TABELUL 4

Înălțimea Lunii	Starea Lunii (zile) / Intensitatea luminii (lx)									
	Lună plină									
	0	1	2	3	4	5	6	7/8	10	Pătrar
60°	0,68	0,54	0,39	0,29	0,22	0,16	0,11	0,063	0,0018	—
50°	0,54	0,41	0,31	0,23	0,17	0,12	0,089	0,050	0,014	—
40°	0,39	0,29	0,22	0,17	0,12	0,089	0,064	0,036	0,010	—
30°	0,26	0,18	0,15	0,11	0,083	0,060	0,043	0,024	0,0067	0,0002
20°	0,15	0,11	0,085	0,064	0,048	0,034	0,025	0,014	0,0039	0,0001
10°	0,051	0,038	0,029	0,022	0,016	0,012	0,0084	0,0047	0,0013	—
5°	0,015	0,011	0,0085	0,0064	0,0048	0,0034	0,0025	0,0014	0,0004	—

VARIAȚIA EXPUNERII

ADRIAN ALEXANDRESCU

Renunțând la expunerea medie, practică în mod curent, în favoarea unei expuneri selective prioritare sau practicând abateri intenționate față de expunerea considerată corectă, se pot obține imagini a căror expresivitate să difere mult de situația real fotografiată. Pe calea arătată se pot obține efecte deosebite sau se poate sublinia o caracteristică sau o parte anume a imaginii.

Ne limităm în cele ce urmează la prezentarea unui exemplu, rămânând ca fotografii amator să experimenteze după dorința sa.

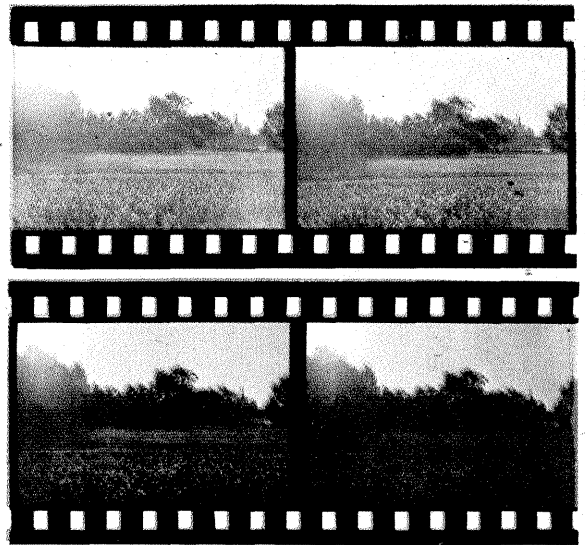
Este de remarcat faptul că aplicarea procedurii poate duce în multe cazuri la eșec, dacă subiectul nu se pretează unei prelucrări prin expunere, fapt ce trebuie bine analizat anterior.

Cele patru fotografii au fost realizate în decursul citorva minute, în jurul orei 18, în luna iunie, soarele

apropiindu-se de asfințit. Cu toate acestea, prima fotografie oferă mai degrabă senzația unei dimineți, culori ușor desaturate, senzația de ceață în planul al doilea, conturul ușor flou al clădirii din ultimul plan (Casa Scintei). Expunerea a fost determinată prin măsurarea iluminării prim-planului (zona cu flori), timpul de expunere fiind 1/60 s.

Cea de-a doua fotografie a fost realizată cu timpul de expunere de 1/125 s (diafragma rămâne constantă), corespunzător iluminării întinderii de iarbă din planul al doilea. Această imagine corespunde unei expuneri medii corecte. Culorile au strălucire, soarele imprimă o culoare caldă, cerul capătă nuanța azurie.

Cea de-a treia fotografie, realizată cu timpul de expunere de 1/250 s, a pierdut deja din detalii în primele planuri, punând însă în evidență cerul și în mod distinct silueta clădirii.



Ea sugerează o oră mai târzie decât cea la care s-a făcut practic fotografierea. Siluetele devin predominante.

Ultima fotografie, făcută cu timpul de expunere 1/500 s, sugerează deja o imagine nocturnă, detaliile fi-

ind aproape în totalitate pierdute în favoarea conturilor, care predomină profilate pe fondul cerului. Zona mai luminată a pajștii centrale dă deja impresia unei fotografii pe clar de lună.

UN EXEMPLU DE ECHILIBRARE A ILUMINĂRII

Fotografierea obiectelor sursă de lumină constituie o situație dificilă, dat fiind contrastul mare al acestui gen de subiecte. De regulă se redă partea luminoasă, iar detaliile din umbră sau semi-umbră dispar.

În astfel de cazuri este necesar să se folosească o sursă de lumină care să asigure o iluminare generală suficientă pentru redarea detaliilor, dar nu disproporționat de puternică pentru a anihila partea luminoasă a subiectului.

Ca regulă generală, se vor determina expunerea necesară pentru redarea subiectului în ansamblu, expunerea pentru redarea părții luminoase și apoi se va căuta egalizarea lor sau o soluție de compromis.

Având în vedere faptul că de obicei se folosesc surse artificiale de lumină pentru fotografiere, lămpi fulger sau becuri (nitraphot sau cu halogeni), pe lângă diafragma și timp de expu-

ner, distanța sursă-subiect va constitui un element variabil determinant în stabilirea expunerii.

Considerăm util ca analiza unui asemenea caz să o facem în baza unui exemplu, respectiv lampa suspendată din fotografiile alăturate.

Prima fotografie s-a făcut fără utilizarea vreunei surse suplimentare de iluminare. Expunerea s-a determinat exponometric, pe o porțiune iluminată mediu, ea fiind 1/60 s, cu diafragma 5,6 (foto 1).

Ca sursă de iluminare exterioră s-a folosit un blitz cu număr director 32 la 21 DIN, respectiv 24 la 18 DIN, având 3 niveluri de putere (1/1; 1/2; 1/4). Distanța de fotografiere a fost de cca 2 m.

Se constată că diafragma corespunzătoare distanței este aproximativ 11 ($24 : 2 = 12$), ceea ce reprezintă două trepte mai puțin față de diafragma necesară pentru fotografierea păr-

ții luminoase. În această situație au existat trei posibilități de acordare a expunerii:

— îndepărtarea blitzului la cca 4,3 m, cu folosirea unui cablu sincron prelungit;

— reducerea puterii blitzului la 1/2, ceea ce corespunde aproximativ la diafragma 5,6 ($12 : 2 = 6$);

— modificarea timpului de expunere la 1/15 s, concomitent cu închiderea diafragmei la valoarea 11.

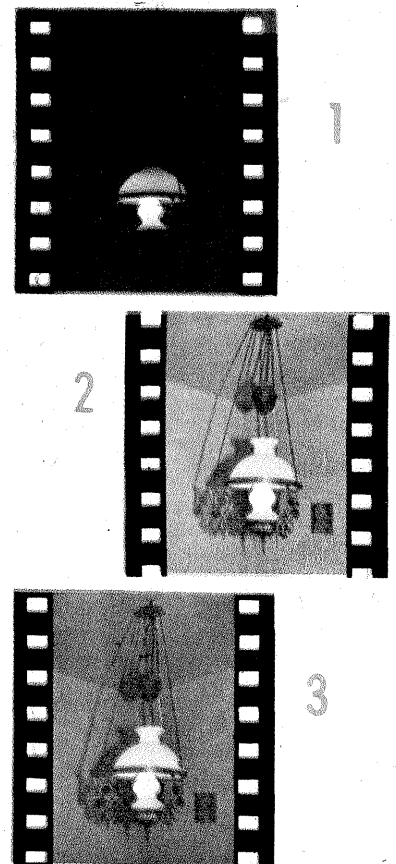
Menționăm că aparatul fotografic permitea sincronizarea cu blitzul până la 1/125 s.

S-a ales varianta a doua, care nu presupunea utilizarea unui cablu prelungitor pentru sincron și un suport separat pentru blitz, ca la prima variantă, și nici utilizarea unui stativ care se impunea în cea de-a treia variantă.

Rezultatul s-a concretizat în fotografia 2.

Pentru siguranță s-a mai făcut o fotografiere acoperitoare cu diafragma 4, rezultând fotografia 3, mai luminoasă, ambele clișee fiind utilizabile.

Fotografierea s-a făcut pe film reversibil ORWOCHROM UT 18.



REVELATOARE pentru REPRODUCERE

Developarea filmelor pe care s-au făcut reproduceri trebuie să pună în evidență fie niște tonuri extreme (cazul desenelor liniare sau al textelor de culoare închisă pe fond alb), fie o multitudine de semitoni și tonuri (cazul desenelor artistice, al lucrărilor de pictură etc.). De aceea s-au pus la punct rețete de revelatoare specializate pentru reproducere având caracteristici diverse, în funcție de caracterul lucrării reproduce.

Pentru cititorii noștri am selecționat câteva rețete de revelatoare alb-negru atât pentru situațiile când este nevoie de contrast ridicat, cât și pentru acele situații când trebuie să se obțină negative echilibrate. S-a avut în vedere ca în compoziția revelatoarelor selecționate să nu figureze substanțe speciale, mai greu procurabile.

KODAK D-8

Este un revelator cu contrast ridicat și acțiune rapidă. Se folosește diluat 1:2. Dizolvarea substanțelor se face în apă caldă, dar nu peste 30°C.

Apă 750 ml
Sulfid de sodiu 90 g
Hidrochinonă 45 g
Hidroxid de sodiu 37,5 g
Bromură de potasiu 30 g
Apă până la 1 000 ml
Timp de dezvoltare: 30 s — 2 min, în funcție de tipul materialului fotosensibil.

ORWO 70

Revelator de contrast ridicat sau revelator rapid

Soluția A

Sulfid de sodiu 25 g
Hidrochinonă 25 g
Bromură de potasiu 25 g
Apă până la 1 000 ml

Soluția B

Hidroxid de potasiu 50 g
Apă (rece) până la 1 000 ml
Se amestecă soluțiile A cu B înainte de utilizare.

Timp de dezvoltare: 2 min pentru contrast, 30—40 s pentru dezvoltarea rapidă a materialelor fotosensibile normale.

ORWO 71

Este un revelator energic.

Metol 5 g
Sulfid de sodiu 40 g
Hidrochinonă 6 g
Carbonat de potasiu 40 g
Bromură de potasiu 3 g
Timp de dezvoltare: 3—5 minute.

ORWO 74

Este un revelator energic, care dă claritate extremă imaginii.

Metol 5 g
Sulfid de sodiu 40 g
Hidrochinonă 6 g
Carbonat de potasiu 40 g
Bromură de potasiu 6 g
Timp de dezvoltare: 3 minute.

ORWO 80

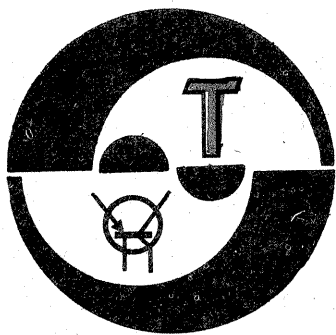
Este un revelator foarte energic, care conferă claritate imaginii.

Metol 2,5 g
Sulfid de sodiu 50 g
Hidrochinonă 10 g
Carbonat de potasiu 60 g
Bromură de potasiu 4 g

ORWO 75

Este un revelator egalizator, cu acțiune normală.

Metol 1 g
Sulfid de sodiu 40 g
Hidrochinonă 6 g
Carbonat de sodiu 20 g
Bromură de potasiu 1 g
Timp de dezvoltare: 4—5 minute.



SISTEME CU MICROPROCESOARE

ing. CONSTANTIN DUMITRU,
ing. MARIUS CIORICĂ,
ing. BOGDAN COJOCARU

SETUL DE INSTRUCȚIUNI ALE MICROPROCESORULUI Z-80

Microprocesorul Z-80 acceptă 180 de instrucțiuni, prezentate mai jos. O parte din ele sînt similare celor ale μ procesorului 8080, altele sînt particulare. Terminologia folosită în tabelele date mai jos este următoarea:

- b — reprezintă un număr de 1 bit în orice registru de 6 biți sau locație de memorie;
- cc — codul condiției din registrul „flag”;
- NZ — non zero;
- Z — zero;
- NC — fără transport („not carry”);
- C — cu transport („carry”);
- PO — paritate impară sau nedepășire;
- PE — paritate pară sau depășire;
- P — pozitiv;
- N — negativ (minus);
- d — orice registru de 8 biți sau locație de memorie folosite ca destinație;
- dd — orice registru de 16 biți sau locație de memorie folosite ca destinație;
- e — deplasări de 8 biți în complementul lui 2 folosite la salturi relative și adresări indexate;

L — 8 locații speciale de che-
mare aflate în pagina zero;
în zecimal ele sînt 0, 8, 16, 24, 32, 40,
48 și 56

- n — orice număr de 8 biți;
- nn — orice număr de 16 biți;
- r — orice registru general de 8 biți (A, B, C, D, E, H sau L);
- s — orice registru-sursă de 8 biți sau locație de memorie;
- Sb — un bit într-un registru specifi-
c de 8 biți sau o locație de memorie;
- SS — orice registru sursă de 16 biți sau locație de memorie;
- L subscris (de exemplu PC_L) — cei
mai puțin semnificativi 8 biți
dintr-un registru de 16 biți;
- H subscris (de exemplu PC_H) — cei
mai semnificativi 8 biți dintr-un re-
gistru de 16 biți;
- () — conținutul parantezelor este
folosit ca pointer către o lo-
cație de memorie sau un
port I/O.

Registrele de 8 biți sînt: A, B, C, D,
E, H, L, I și R.
Perechile de registre de 16 biți sînt:
AF, BC, DE și HL.
Registrele de 16 biți sînt: SP, PC, IX
și IY.

Mnemonic	Descrierea operației	Comentarii
Transfer pe 8 biți		
LD r,s	$r \leftarrow s$	$s = r, n, (HL), (IX+e), (IY+e)$
LD d,r	$d \leftarrow r$	$d = (HL), r, (IX+e), (IY+e)$
LD d,n	$d \leftarrow n$	$d = (HL), (IX+e), (IY+e)$
LD A,s	$A \leftarrow s$	$s = (BC), (DE), (nn), I, R$
LD d,A	$d \leftarrow A$	$d = (BC), (DE), (nn), I, R$
Transfer pe 16 biți		
LD dd, nn	$dd \leftarrow nn$	$dd = BC, DE, HL, SP, IX, IY$
LD dd, (nn)	$dd \leftarrow (nn)$	$dd = BC, DE, HL, SP, IX, IY$
LD (nn), ss	$(nn) \leftarrow ss$	$ss = BC, DE, HL, SP, IX, IY$
LD SP, ss	$SP \leftarrow ss$	$ss = HL, IX, IY$

PUSH ss	$(SP-1) \leftarrow ss_H, (SP-2) \leftarrow ss_L$	$ss = BC, DE, HL, AF, IX, IY$
POP dd	$dd_L \leftarrow SP, dd_H \leftarrow (SP+1)$	$dd = BC, DE, HL, AF, IX, IY$
Schimburi între registre		
EX DE, HL	$DE \leftrightarrow HL$	
EX AF, AF'	$AF \leftrightarrow AF'$	
EXX	$\begin{pmatrix} BC \\ DE \\ HL \end{pmatrix} \leftrightarrow \begin{pmatrix} BC' \\ DE' \\ HL' \end{pmatrix}$	
EX (SP), ss	$(SP) \leftrightarrow ss_L, (SP+1) \leftrightarrow ss_H$	$ss = HL, IX, IY$
Transfer al unei zone de memorie		
LDI	$(DE) \leftarrow (HL), DE \leftarrow DE+1, HL \leftarrow HL+1, BC \leftarrow BC-1$	
LDIR	$(DE) \leftarrow (HL), DE \leftarrow DE+1, HL \leftarrow HL+1, BC \leftarrow BC-1$	Se repetă pînă cînd $BC=0$
LDD	$(DE) \leftarrow (HL), DE \leftarrow DE-1, HL \leftarrow HL-1, BC \leftarrow BC-1$	
LDDR	$(DE) \leftarrow (HL), DE \leftarrow DE-1, HL \leftarrow HL-1, BC \leftarrow BC-1$	Se repetă pînă cînd $BC=0$
Căutare într-o zonă de memorie		
CPI	$A-(HL), HL \leftarrow HL+1, BC \leftarrow BC-1$	
CPIR	$A-(HL), HL \leftarrow HL+1, BC \leftarrow BC-1$	Se repetă pînă cînd $BC=0$ sau $A=(HL)$; $A=(HL)$ setează doar indicatorii de condiții; A nu este afectat
CPD	$A-(HL), HL \leftarrow HL-1, BC \leftarrow BC-1$	
CPDR	$A-(HL), HL \leftarrow HL-1, BC \leftarrow BC-1$	Se repetă pînă cînd $BC=0$ sau $A=(HL)$

Mnemonic	Descrierea operației	Comentarii
Operații aritmetice și logice pe 8 biți		
ADD s	$A \leftarrow A+s$	
ADC s	$A \leftarrow A+s+CY$	$CY = \text{indicator de transport}$
SUB s	$A \leftarrow A-s$	
SBC s	$A \leftarrow A-s-CY$	$s = r, n, (HL), (IX+e), (IY+e)$
AND s	$A \leftarrow A \wedge s$	
OR s	$A \leftarrow A \vee s$	
XOR s	$A \leftarrow A \oplus s$	
CP s	$A-s$	
INC d	$d \leftarrow d+1$	$d = r, (HL), (IX+e), (IY+e)$
DEC d	$d \leftarrow d-1$	
Operații aritmetice pe 16 biți		
ADD HL, ss	$HL \leftarrow HL+ss$	$ss = BC, DE, HL,$
ADC HL, ss	$HL \leftarrow HL+ss+CY$	

(CONTINUARE ÎN NR. VIITOR)

CALITATEA RECEPTIEI EMISIUNILOR DE TELEVIZIUNE ALB-NEGRU SI COLOR

(URMARE DIN NUMĂRUL TRECUT)

Ing. VICTOR SOLCAN

În același timp, funcție de diferența de drum, direcție și raportul de intensitate dintre unda principală și celelalte secundare, se poate variați, uneori foarte important, în amplitudina componentelor spectrale (fig. 4).

În afară de efectele sus-amintite, în propagarea undelor pot apărea și fenomene de absorbție sau reflexie selectivă datorită structurii zonelor sau obiectelor reflectante, difractante etc. În cazul propagării la mare distanță, modificările în structura troposferei, iar pe canalele inferioare și a ionosferei, produc efecte selective cu dinamică deosebit de pronunțată. Și în cazul recepției unor stații apropiate se pot produce variații de nivel omogene sau selective în spectrul canalului transmis, dar, de regulă, acestea sînt mai lente și mai puțin pronunțate. Ele depind de anotimp, starea vremii, starea vegetației, apariția unor noi obstacole apropiate (clădiri noi, rețele electrice etc.), mai ales pe direcția stației recepționate. Pot apărea și variații rapide de atenuare omogenă sau selectivă în spectru dacă în apropierea amplasamentului de recepție apar obiecte în mișcare (trenuri, vapoare, mașini, macarale etc.). Acestea nu poate compensa variațiile foarte rapide ca și pe cele selective cu frecvența, deoarece intervine constanta de timp și se bazează doar pe nivelul impulsurilor de sincronizare a imaginii. Din acest motiv, în amplasamentele afectate de variații selective pronunțate în banda transmisă, profilul semnalului suferă deformări (distorsiuni liniare) din cele mai diverse: variații în accentuarea sau estomparea conturilor, pierderea definiției, virarea sau dispariția culorilor, creșterea zgomotului pe imagine sau sunet etc.

Atenuarea efectelor undelor secundare se poate deseori obține prin degajarea mai bună a antenei de recepție pe înălțime și orientarea acesteia pe direcția stației TV dorite (cîmp mai intens și mai omogen). În cazul instalațiilor profesionale se mai poate profita uneori de faptul că în puncte diferite, dar nu mult îndepărtate, din spațiul efectele de atenuare omogenă sau selectivă nu se produc în același timp și identic și atunci se poate face o recepție mai bună prin comutarea manuală sau automată pe antena cu captarea momentană cea mai bună (diversitate de spațiu). Variațiile de atenuare, omogene sau selective, lente sau rapide, se datorează în principal schimbărilor în propagarea undelor pe două sau mai multe drumuri diferite, prezenței și modificării undelor staționare în plan V și H, în cazul degajării insuficiente a antenei de recepție, sau obturării pronunțate a direcției spre stația dorită. Variații pronunțate de calitate apar și în cazul folosirii antenelor de cameră. În instalațiile ce folosesc antene de cameră, distorsionarea semnalului se poate produce uneori prin simpla deplasare a persoanelor în camera respectivă sau chiar vecină. S-au verificat din cele mai diverse prin deplasarea persoanelor în zona apropiată de antenă, ca stingerea sunetului (în anumite situații) sau dispariția culorilor (în alte situații). Acesta este unul din motivele pentru care nu totdeauna, chiar și la cîmp intens, antena de cameră poate aduce un serviciu calității reproducerii TV.

Este de remarcat faptul că în propagarea undelor pe diferite drumuri, în afară de necazurile provocate de

atenuare, ecouri și distorsionarea semnalului TV, se pot produce și situații cu totul particulare și foarte rar întîlnite, cînd propagarea pe mai multe drumuri poate avea și efecte bune, conducînd la creșterea valorii cîmpului prin însumarea favorabilă a fazelor componentelor din banda utilă.

fisticate antene s-ar utiliza. Șansa cu probabilitatea cea mai mare este, după cum am mai amintit, înălțarea antenei deasupra nivelului acoperisului propriei clădiri sau pe o clădire mai înaltă din apropiere și poziționarea acesteia, dacă e posibil, pe o zonă a celei mai degajată de obsta-

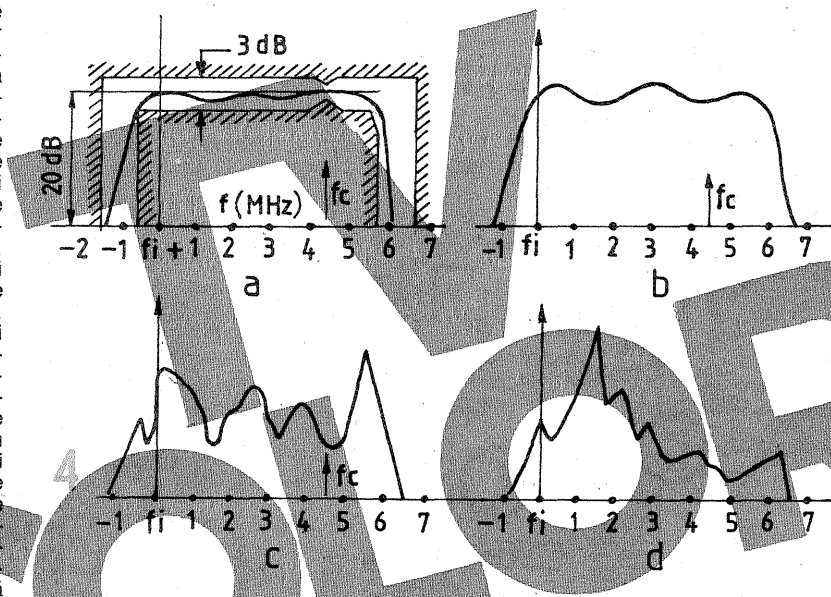
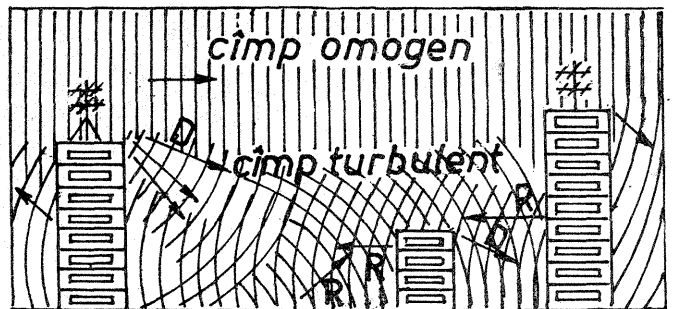


Fig. 4: Distorsiuni în spectrul de frecvență al unui canal TV datorate însumării unei principale cu unde reflectate (secundare):

- a) la ieșirea din antena de emisie;
- b) distorsionare admisibilă;
- c) distorsionare pronunțată, afectează și informația sub-purtătoare (f_c) de cromatică;
- d) distorsionare totală, imaginea alb-negru și color inutilizabilă.

Fig. 5: Schiță sugerînd omogenitatea cîmpului la înălțimea blocurilor mari și turbulența cîmpului între obstacole (clădiri) datorită reflexiilor (R) și difracției (D).



În marile orașe, ca și în zonele cu relief accidentat obținerea unei recepții de calitate bună pune, nu de puține ori, probleme dificile. Obstacolele naturale sau artificiale pot provoca, în afară de atenuarea semnelor, și fenomene de reflexii sau difracții care favorizează devierea undelor, aproximativ după aceleași legi ca în optică, astfel încît antena de recepție culege un semnal rezultat din însumarea undelor ce călătoresc pe mai multe drumuri.

Datorită timpului necesar undelor indirecte ca să străbată un drum mai lung decît al undei directe (cel mai scurt), semnalele purtate de acestea apar pe ecran cu diferite întâzieri și repetă o dată sau de mai multe ori semnalul transmis prin unda directă.

Efectul undelor secundare (reflexate) este mai pronunțat în zonele de umbră, deoarece valoarea semnalului direct este scăzută și se poate apropia de valoarea semnalului indirect (vezi fig. 1 și 2 din nr. 2/1985), situație în care efectele asupra calității reproducerii imaginii, culorii și uneori și sunetului pot fi foarte supărătoare. De regulă, amplasarea antenelor sub nivelul acoperisurilor clădirilor înconjurătoare fără o deschidere suficientă, cel puțin locală, pe direcția stației recepționate oferă puține șanse unei recepții de bună calitate, oricît de so-

cole (coșuri, sirme sau alte antene) pe direcția și în sensul stației dorite. Obstacolele apropiate și antenele alăturate pot deforma geometria inițială plană a frontului undelor, scăzînd uneori din proprietățile proprii antene. Toate acestea pot fi optim soluționate prin folosirea instalațiilor de antenă colective sau alegerea unui sistem de antene potrivit condițiilor locului, amplasarea și dirijarea optimă a acestora (fig. 5).

Nu de puține ori soluționarea curentă a problemei antenei individuale și chiar colective este departe de optim datorită complexității problemelor, insuficienței mijloacelor tehnice, insuficienței cunoștințelor sau unor insuficiente cunoștințe tehnice de specialitate. În materie de antene de recepție se întîlnesc și multe improvizații; astfel au înflorit o mare varietate de soluții cu eficiență îndoielnică, neadecvate condițiilor particulare ale amplasamentului în suferință. Beneficiarul se multumește, pînă la urmă, și cu o calitate mediocră sau satisfăcătoare la limită, neavînd suficiente posibilități să cunoască condițiile optime posi-

bile în zona amplasamentului său. În apropierea stațiilor de emisie (nu imediată apropiere) chiar și o simplă sîrmă sau chiar o șurubelniță introdusă la poartă de antenă a receptorului poate înlesni reproducerea unei imagini acceptabile, dar acest lucru nu este suficient pentru obținerea unor performanțe superioare și asigurarea unei calități stabile în timp. De aceea deseori se pot obține recepții satisfăcătoare cu o antenă plasată la o înălțime mică sau chiar în partea blocului opusă direcției de sosire a undelor, pe balconele din zona umbră de propria clădire. În astfel de situații obținerea calității dorite este mai mult o problemă de noroc decît de tehnică. Sînt și situații cînd condițiile potențiale locale nu permit o soluționare mai simplă a recepției de bună calitate.

Nu de puține ori se constată că și în cazul amplasării antenei de recepție pe blocurile mai înalte, la valori de cîmp suficient de mari, nu se poate evita efectul unor reflexii. În zonele cu accidente pronunțate, de relief, sau cu construcții înalte, amplasarea antenei colective în locul aprioric fixat de proiectantul blocului nu dă totdeauna rezultate favorabile. Acestea depind de situația blocului față de ambianta obstacolelor din jur și față de direcția din care sosesc undele, de la stația locală sau regională. Amplasamentul antenei de recepție se alege după criteriile radioelectrice specifice recepției de televiziune; verificarea prealabilă, măsurători și verificări prealabile, pentru a permite alegerea poziției și condițiilor optime. Din acest motiv, în țările mai dezvoltate au apărut rețele colective extinse pe mai multe blocuri. Semnalul este captat în locurile cu condițiile de recepție cele mai bune, cu sisteme de antene perfecționate, cu anumite prelucri ale semnelor și cu distribuția ulterioară a acestora spre un număr mare de abonați, la cel mai bun nivel calitativ din zona ansamblului respectiv de locuințe. În ultimii ani dezvoltarea marilor ansambluri de rețele de distribuție prin cablu a început să se extindă la cartiere mari, unele și la localități întregi, căpătînd funcții complexe.

EFFECTELE PROPAGĂRII UNDELOR PE MAI MULTE DRUMURI

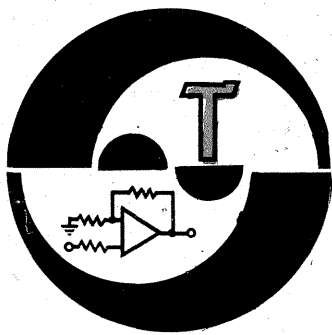
În cele ce urmează vom încerca să ne apropiem mai mult de intimitatea fenomenelor generate de propagarea undelor pe mai multe drumuri. Fenomenele sînt relativ complicate și greu de prezentat prin relații simple, de aceea ne vom limita la cîteva aspecte mai principale, lăsînd deschisă posibilitatea unor aprofundări ulterioare.

Să admitem deocamdată că la recepție de amplasare a antenei de recepție sosesc unda directă și o singură undă reflectată. Dacă analizăm interferența celor două unde, vom veni terite de la aceeași sursă, vom constata că efectul însumării acestora depinde de următorii factori:

— raportul dintre cîmpul undei directe (E_d) și cel al undei reflectate (E_r);

— raportul dintre tensiunile induse în antena de recepție de cele două unde (U_d și U_r).

(CONTINUARE ÎN NR. VIITOR)



AVERTIZOR

Când la bornele L sau D sosește plusul bateriei de 12 V, întregul montaj intră în funcțiune.

Multivibratorul, format cu tranzistoarele T₁, T₂, generează un semnal care este preluat de T₃, amplificat și aplicat etajului de putere T₄, T₅. Montajul este foarte util la auto-

turisme (contact semnalizări direcție, frână de mână etc.).

R₁ = R₄ = 6,8 kΩ; R₂ = 330 Ω; R₃ = R₆ = 100 Ω; R₇ = 910 Ω; R₈ = 200 Ω; R₉ = 6,8 Ω; C₁ = 6,8 nF; C₂ = 10 nF; C₃ = 220 μF; T₁ = T₂ = 2N2222; T₃ = T₅ = 2N2905A; T₄ = 2N904.

TEHNICE NOVINE, 7/1985

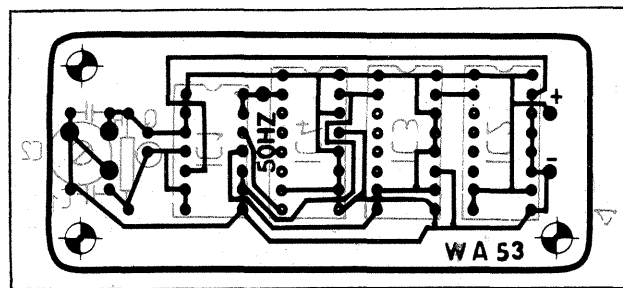
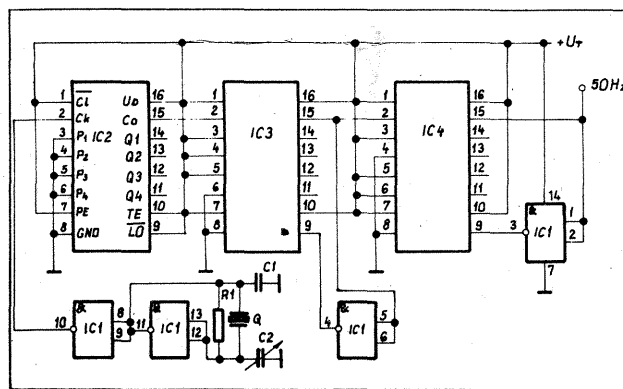
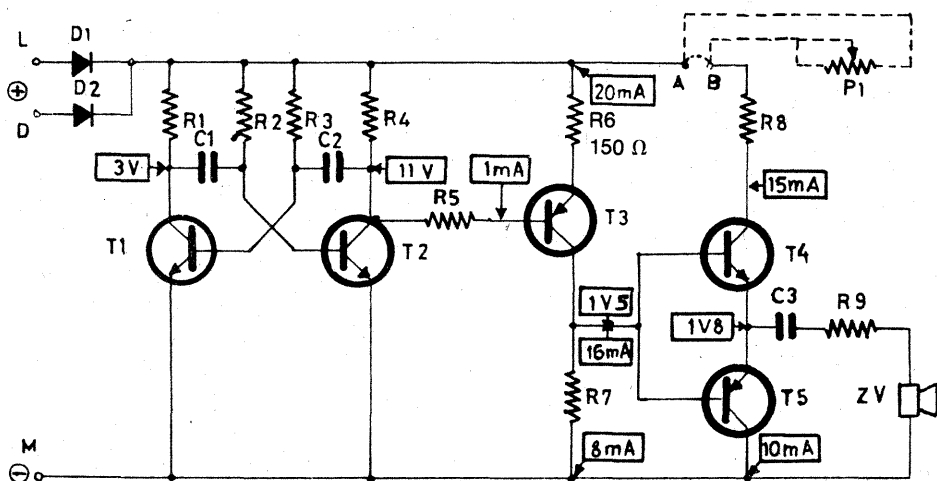
50 Hz

Ceasurile care se alimentează de la rețeaua de 50 Hz pot funcționa cu o mai mare precizie dacă se folosește un generator al cărui frecvență este stabilizată cu cuarț.

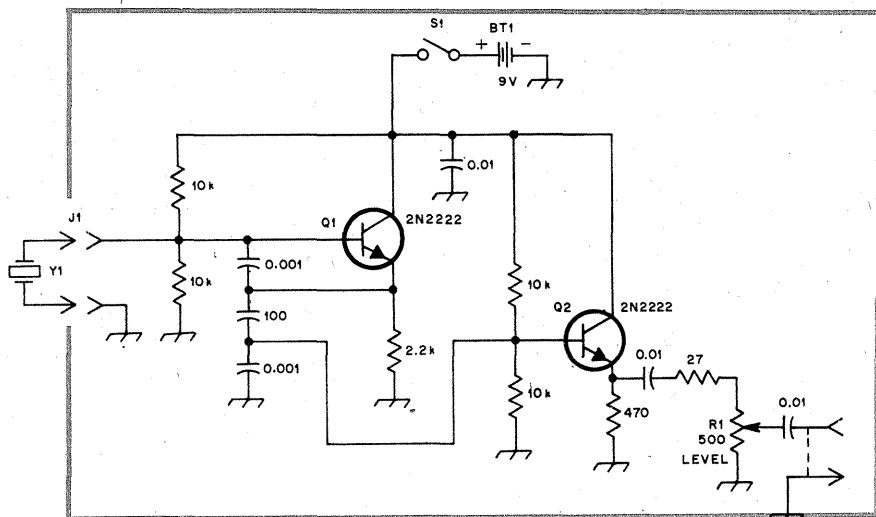
Se pleacă de la un cuarț minia-

tură (32 750 kHz) și se obțin la ieșire 50 Hz. IC₁ = CD4011; IC₂ = IC₃ = IC₄ = CD40161; R₁ = 1 MΩ; C₁ = 22 pF; C₂ = 10 - 40 pF.

RADIOTEHNICA, 6/1985



VERIFICATOR



Sortarea și verificarea rapidă a cristalelor de cuarț implică montaje adecvate, cum este cel alăturat. Montajul publicat verifică cuarțuri

căre au o frecvență cuprinsă între 1-15 MHz și folosește două tranzistoare 2N2222.

QST, 3/1982

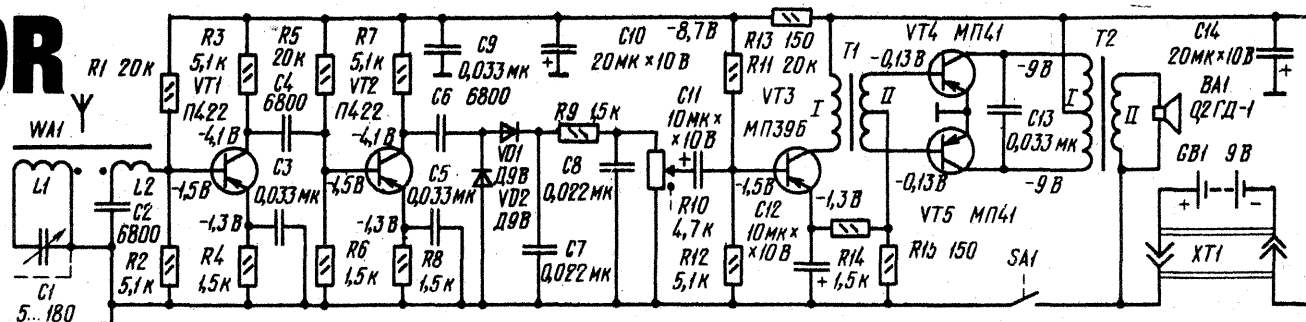
Acest mic radioreceptor se alimentează la 9 V și recepționează undele medii. Circuitul de intrare are pentru L₁ 75 de spire, iar pentru L₂ 8 spire. Această bobină se poate cumpăra de la magazin.

In continuare sînt două etaje amplificatoare de RF. Detectia este asigurată de diodele VD₁ și VD₂.

Semnalul audio este amplificat de etaje cu cuplaje prin transformator.

RADIO, 1/1985

RECEPTOR



ÎNTEPRINDEREA DE APARATAJ ELECTRIC DE INSTALAȚII

TITU

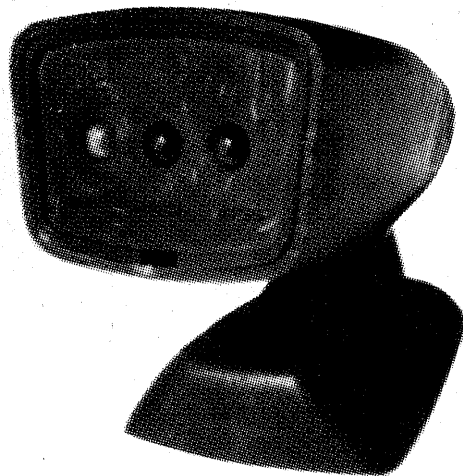
MODERN — ECONOMIC — UTIL

● Pentru posesorii de autoturisme, **Întreprinderea de Aparataj Electric de Instalații Titu** a realizat recent un deosebit de util accesoriu de bord: **TESTERUL DE BATERIE**.

Dispozitivul a fost conceput pentru bateriile de acumuloare auto cu tensiunea nominală de 12 V, indicând starea de încărcare a acestora prin aprinderea unuia dintre cele trei becuri colorate diferite, amplasate pe panoul frontal.

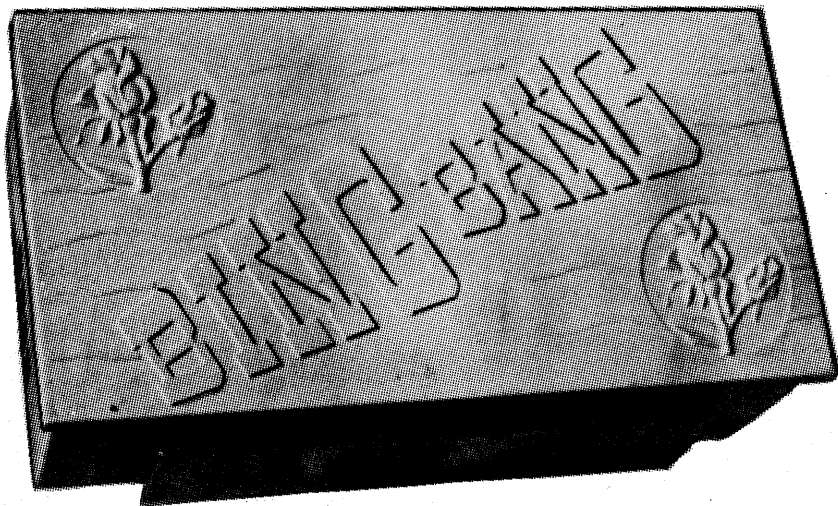
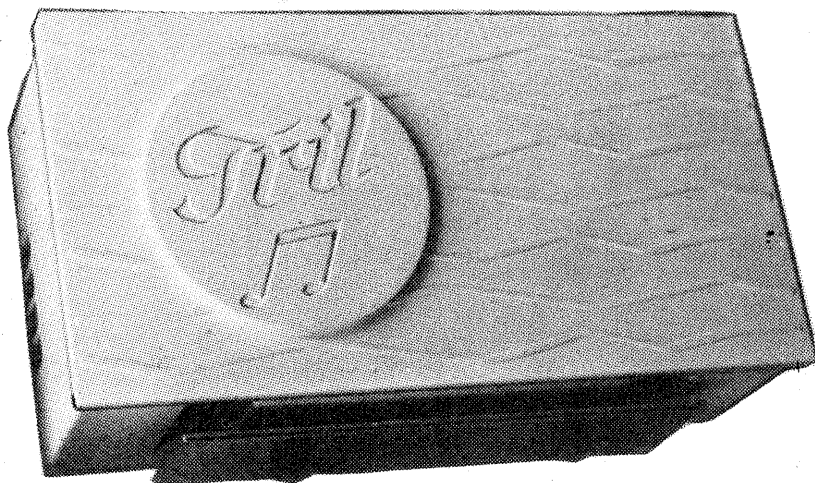
Gama totală a tensiunilor de lucru este cuprinsă între 10 V și 17 Vcc, fiind subîmpărțită pe următoarele domenii:

- indicatorul galben $U < 11,2$ V
- indicatorul verde $11,2 < U < 15$ V
- indicatorul roșu $U > 15$ V

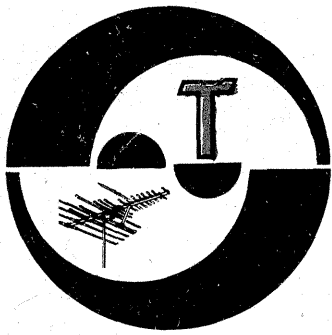


● Pentru apartamentul dv., I.A.E.I. — Titu a rezervat o plăcută surpriză: noile modele de sonerii electrice de tip bing-bang, dintre care fotografiile alăturate ilustrează variantele constructive „TRIL” și „BING-BANG”.

Realizate în casete din material plastic cu un design modern, aceste sonerii sînt concepute pentru alimentarea de la rețea (220 Vca/50 Hz), avînd un curent nominal de 0,15 A și grad de protecție IPOO.



Pentru informații suplimentare privind produsele I.A.E.I.—Titu și condițiile de livrare, adresați-vă la **ÎNTEPRINDEREA DE APARATAJ ELECTRIC DE INSTALAȚII**, Titu, Str. Gării nr. 79, jud. Dîmbovița, telefon 147955, telex 17228.



SERVICE

MANDA VASILE — jud. Caraș-Severin

Frecvența de oscilație este în jur de 32 MHz și aceste cristale sînt special construite ca prin divizări să dea 1 Hz.

C₁₀ și C₁₁ sînt condensatoare de trecere, terminalele lor se conectează la tensiunea de alimentare.

ANEI ROMULUS — Cimpina

Vom publica schemele unor aparate de măsură.

MUȘAT GHIȚĂ — Corabia

Pentru abonamente la revistă adresați-vă la Oficiul P.T.T.R. Am publicat cele solicitate despre magnetofonul „Maiak”.

BAȘ CĂLIN — Brașov

Amănunte despre activitatea de radioamatori puteți obține de la radioclubul județean, unde vă recomandăm să vă adresați.

BARBU ȘTEFAN — București

La magazinul „Dioda” (Bd. 1 Mai nr. 126, București) găsiți selector pentru canalele 20—60.

OPRIȘAN ION — Brașov

Măriți numărul de spire la fiecare

bobină (cîte 3 la fiecare) și acordați amplificatorul care este cuplat chiar lîngă televizor.

OLTEANU ION — jud. Iași

Propagarea undelor electromagnetice în UIF este mai dificilă la mare distanță față de undele FIF. Dacă nu recepționați nimic (TV-DX), înseamnă că în zona dv. nu se propagă nici un program TV-DX.

CIUREA ION — Craiova

La casetofonul „Dana” verificați tensiunea de alimentare, care probabil este insuficientă la volum mare.

SUFÎȚCHI CIPRIAN — Tulcea

Redacția noastră nu se ocupă cu defacerea componentelor electronice. Faptul că întîmpinați greutăți în citirea unor scheme denotă că trebuie să studiați mai mult sau să vă înscrieți la un cerc de electronică. Vom publica în continuare montaje cu tuburi electronice.

BANTAȘ TIBERIU — Roman

Comutatorul la care vă referiți nu are înlocuitor.

BURSUMAC FLORIN — jud. Teleorman

Verificați oscilatorul de ștergere și premagnetizare.

FRUNZETI C. — jud. Botoșani

Un specialist trebuie să vă regleze etajul oscilator-cadre. La magneto-

fonul „Maiak” reparați alimentatorul.

ȘTĂNESCU ȘTEFAN — București
Vă recomandăm să construiți după scheme publicate în revista noastră. Nu știm cum funcționează montajul a cărui schemă o trimiteți spre consultare.

ROȘU FELIX — Pitești

Repararea casetofonului „Somwa” se poate face numai de o unitate dotată cu aparate de măsură (plus experiență). La televizor verificați tensiunea de alimentare.

ANDRONIC AUREL — Călărași

Nu posedăm schema solicitată.

KISS I.G. — Dej

Modul cum propuneți schimbarea lui PFL 200 funcție de distanța la emițător este destul de curios; experimentați tuburile respective și comunicați-ne. În rest vom publica.

TONAI TITU — Tg. Jiu

Faceți o verificare a etajului în felul următor: deconectați C 405 de la terminalul 9 și aplicați semnal prin acest condensator direct la grila pentodei. Dacă tot se menține zgomotul, verificați starea condensatoarelor de filtraj; s-ar putea să-și fi pierdut capacitatea. Dacă pentoda funcționează satisfăcător, verificați la triodă pe R 403 (montați 2 MΩ) și R 404 (montați 150 Ω).

MARTIN IULIAN — jud. Teleorman

Transformatorul pentru „Albatros” îl puteți găsi la magazinul Dioda, Bd. 1 Mai 126, București. La receptorul „Cosmos” verificați etajul final.

MORARU DANIEL — Huși

Amplificatoare de antenă am pu-

blicat, iar antenele cele mai eficiente pentru recepția TV sînt cele de tip Yagi.

ONICA DORU — jud. Olt; PANȚU-ROIU DINU — jud. Dimbovița; COMIȘEL C. — Piatra Neamț; COȘMAN IULIAN — Botoșani; DORNEA N. — Craiova

Construcția, deținerea sau utilizarea instalațiilor de emisie (fie chiar și micro Tx) sînt permise numai în baza unor autorizații eliberate de M.T.Tc. După ce veți obține această autorizație (în funcție de datele tehnice aprobate) puteți aborda acest gen de construcții.

OBRETA IOAN — Uricani

Radioamatorismul nu este un sport care prevede și TVDx. Nu deținem valorile frecvențelor de emisie ale stațiilor TV la care vă referiți.

RUSU P. — jud. Dimbovița

Receptorul „Neptun” a fost publicat; vedeți colecția „Tehniun”.

LUPU C. — jud. Iași

Verificați etajul final cadre.

ROȘU CRISTINEL — Craiova

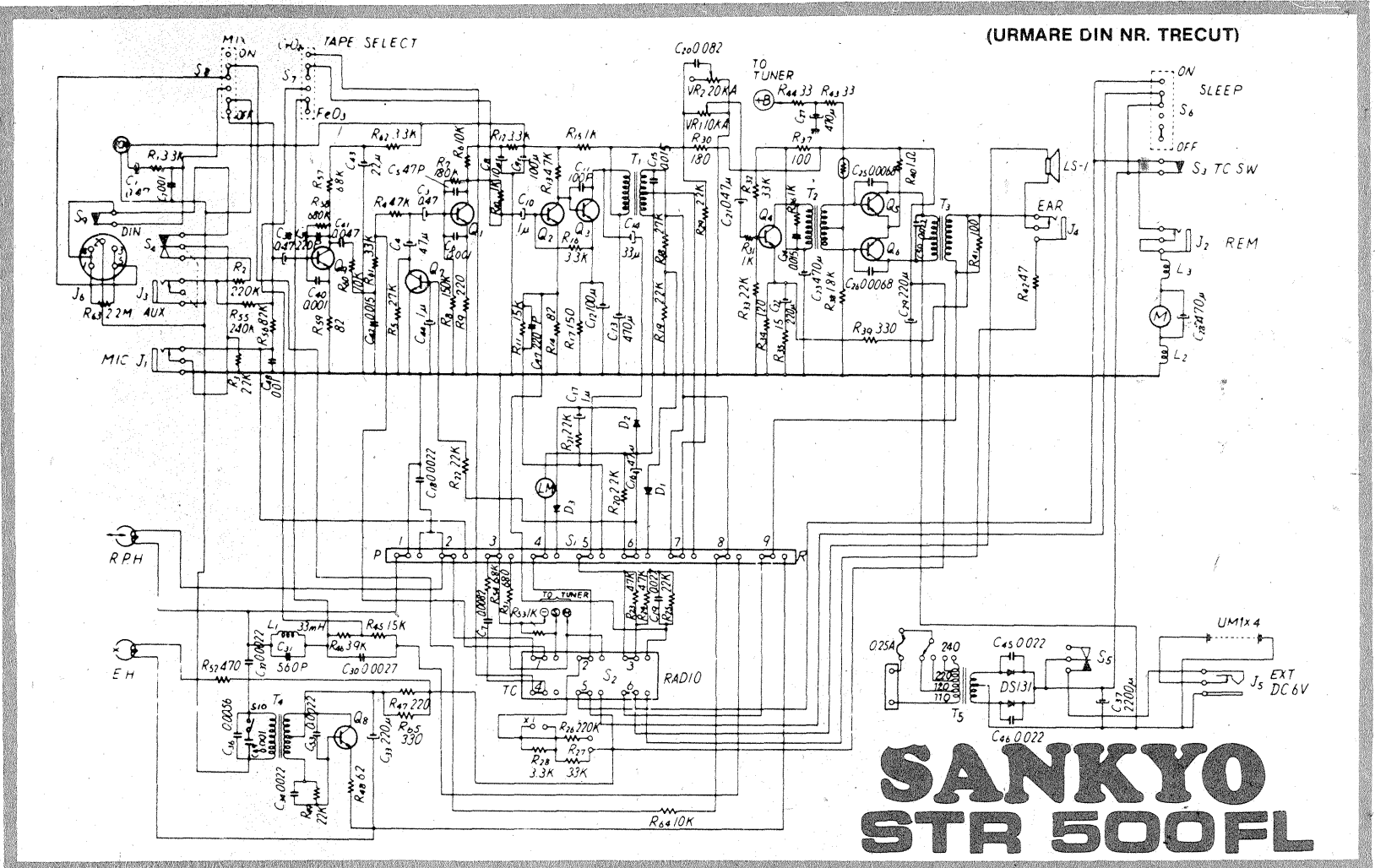
Tuburile electronice PFL 200 și PY 88 nu au înlocuitoare directe.

VOINEA NICOLAE — jud. Vilcea

Construiți montaje mai simple și după ce urmați un curs de radioamatori puteți aborda și construcția radioemițătoarelor.

I. M.

(URMARE DIN NR. TRECUT)



Redactor-șef: ing. IOAN ALBESCU
Redactor-șef adj.: prof. GHEORGHE BADEA
Secretar responsabil de redacție: ing. ILIE MIHĂESCU
Redactor responsabil de număr: fiz. ALEXANDRU MĂRCULESCU
Prezentarea artistică-grafică: ADRIAN MATEESCU

Administrația
Editura Știința

INDEX 44212

CITITORII DIN STRĂINĂTATE SE POT ABONA PRIN „ROMPRESFILATELIA” — SECTORUL EXPORT-IMPORT PRESĂ, P.O. BOX 12—201, TELEX 10376, PRSFIR BUCUREȘTI, CALEA GRIVIȚEI NR. 64—66.

Tiparul executat la
Combinatul Poligrafic - Casa Științei